

Nanostructured materials for Solid Oxide Fuel Cells (SOFC)



Adriana Serquis
aserquis@cab.cnea.gov.ar



Departamento Caracterización de Materiales
Centro Atómico Bariloche - ARGENTINA
INN-CONICET-CNEA



Instituto Balseiro
UNCuyo

cuenta con...

- Profesores
- Estudiantes
- Laboratorios

Centro Atómico Bariloche
CONICET - CNEA

aportan...

- Investigadores
Apoyo técnico
- Actividades en
investigación
- Laboratorios



Departamento Caracterización de Materiales

A. Serquis
L. Mogni
M. Arce
L. Baque
H. Triani
A. Soldati *
C. Chanquía
C. González Oliver
A. Montenegro
M. Esquivel
F. Napolitano
J. Basbús
M. Esquivel
A. Caneiro*



Becarios:

J. Ascolani
Y. Mansilla
M. Melone
M. Santaya
H. Saraceni
S. Obregón
A. Fernandez Zuvich *
P. Dager *

Técnicos

W. Fürst
M. Corte
P. Troyon
J. Perez
D. Salas

*Ex-integrantes

Colaboraciones del grupo

- *D. Lamas, UNSan Martin, Argentina*
- *Susana Larrondo, CITEDEF, Buenos Aires, Argentina.*
- *Martín E. Saleta, Instituto de Física “Gleb Wataghin”, Campinas, Brasil (ahora en CAB)*
- *G. Leyva, CAC-CNEA, Argentina*
- *J. Yoon, R. Araujo and H. Wang, Texas A & M University EEUU*
- *Santiago Figueroa (XAFS2), Cristiane Rodella (XPD), LNLS – Campinas, Brasil*
- *Scott Barnett , Northwestern University, USA*
- *José Antonio Alonso , Instituto de Ciencia de Materiales de Madrid, CSIC, Spain*
- *L. Suescum, Universidad de la República, Uruguay*
- *Elisabeth Djurado, Samuel Georges, Laboratoire d'Electrochimie et de Physico-chimie des Matériaux et des Interfaces, LEPMI, France*
- *Aldo Craievich, USP, Brazil*
- *Anja Schreiber, Richard Wirth, Helmholtz-Zentrum Potsdam, Chemie Physik der Geomat., Germany*
- *L. Civale, B. Majorov, M. Jaime, Y. Zhu, J. Yates Coulter, F. Mueller, D. Peterson Superconductivity Technology Center (STC), Los Alamos, EEUU*
- *G. Cuello, ILL Grenoble Francia*
- *Jochen Geck (IFW-Dresden), A. Schreiber y R. Wirth (GFZ, Postdam) Alemania*



Líneas de trabajo

Actuales:

- Celdas SOC (SOEC-SOFC)
- Óxidos nanoestructurados para electrodos de celdas de combustible
- Películas de óxidos de zirconia sobre zircalloy (para aplicaciones nucleares)
- Desarrollo de cables superconductores basados en MgB_2
- Membranas de intercambio y purificación de gases (conductores iónicos y protónicos)

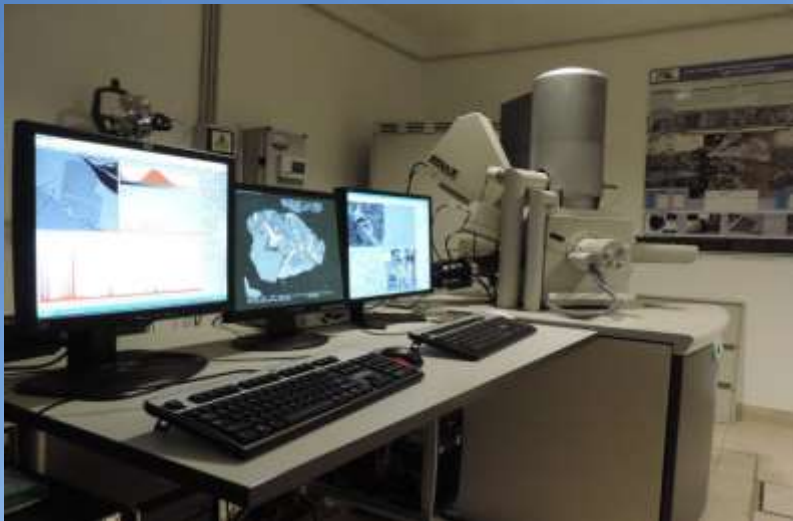
Colaboraciones con CAC, CAE y con el exterior (Brasil, Colombia, Mexico, Alemania, Francia)

Futuras:

- Estudio de textura por EBSD (Ej: aleaciones de zirconio, cables superconductores)
- Estudio de nanoestructuras por SAXS
- Técnicas asociadas con TOF-SIMS (PME 2015)



Servicios actuales



- SEM-FEG FEI Nova Nano
Sem 230
- Inspect S50

NUEVO



- Diffractómetro de Rayos X
Panalytical Empyrean
- Diffractómetro Philips 1700



Outline

Introduction

- Fuel cells and materials
- Crystalline structures and defects in solids
- Materials in SOC: solid oxides ionic or mixed conductors.
- Requirements and strategies

Characterization techniques:

- Electrochemical characterization: EIS
- Microstructural characterization: microscopy and FIB
- Thermogravimetry and pO₂ control (defect models)
- Structural and electronic characterization (XRD, XANES, EXAFS, etc)

Synthesis Methods of nanostructured powders:

- Cathode LSCF
- Electrolyte
- Anode: cermet CGO/NiO

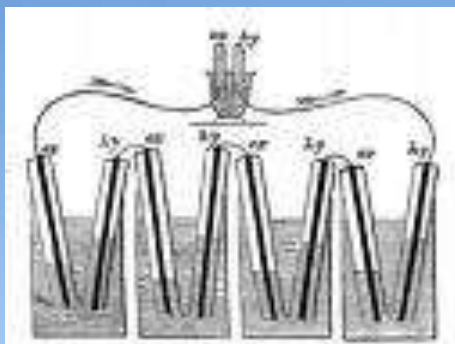
Summary

INTRODUCCIÓN Celdas o pilas de combustible

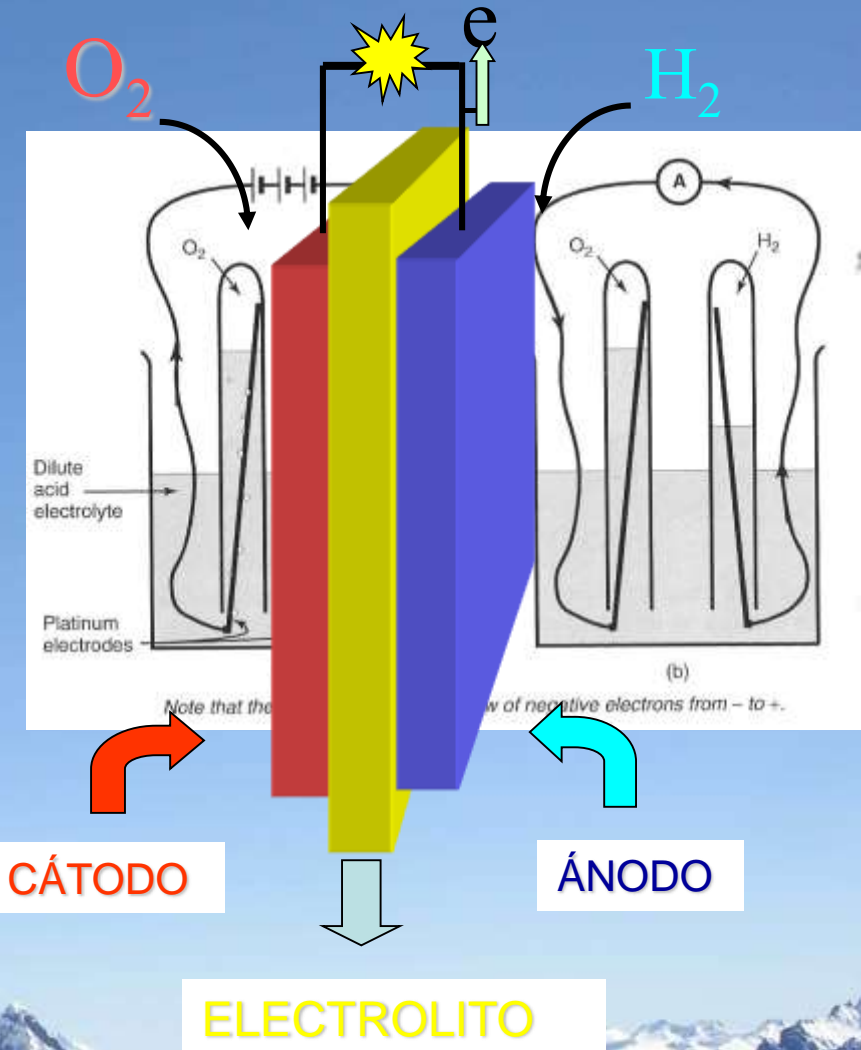
Principio de funcionamiento



Cristian Schönbein, Suiza
Philos. Mag. 86, Dec. (1838).



William R. Grove,
Philos Mag 86,
127 (1839).



INTRODUCCIÓN

Tipos de celdas de combustible

Tipos de celda

Alcalina (AFC)
Alkaline Fuel Cell

Ácido polimérico (PEFC)

Polymer Electrolyte Fuel Cell
PEM (Proton Exchange Membrane)

Metanol Directo (DMFC)*

Ácido fosfórico (PAFC)

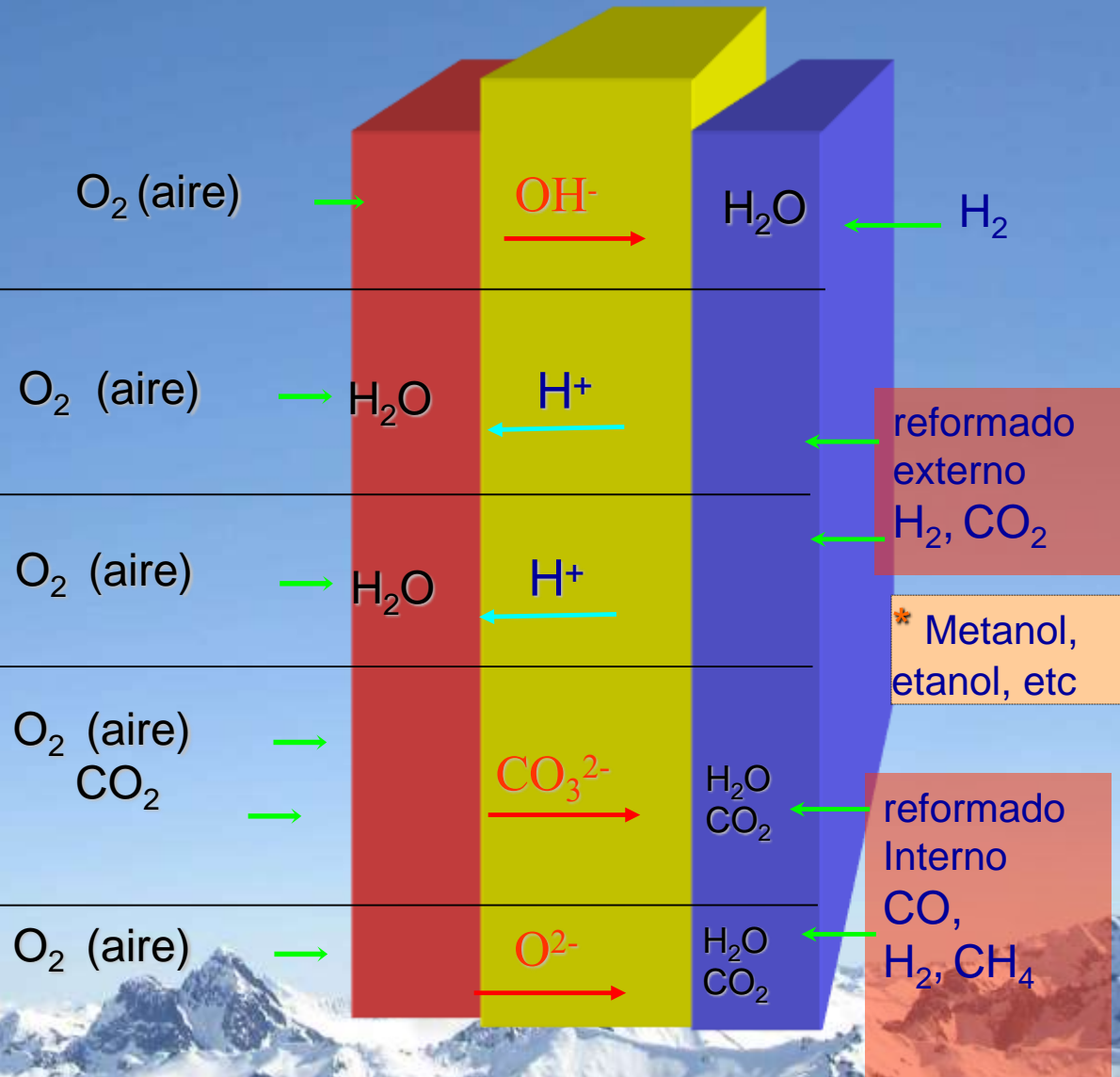
Phosphoric Acid Fuel Cell

Carbonato fundido (MCFC)

Molten Carbonate Fuel Cell

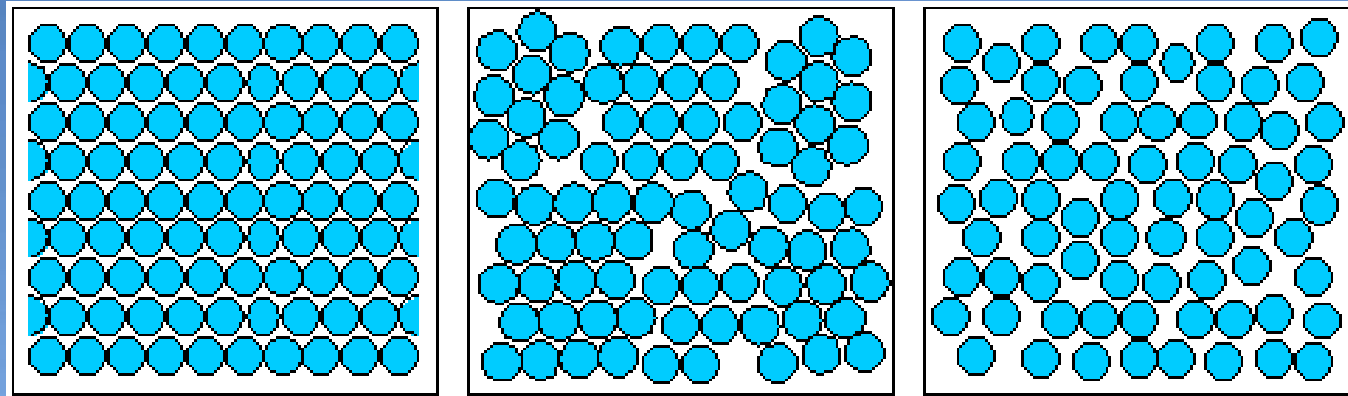
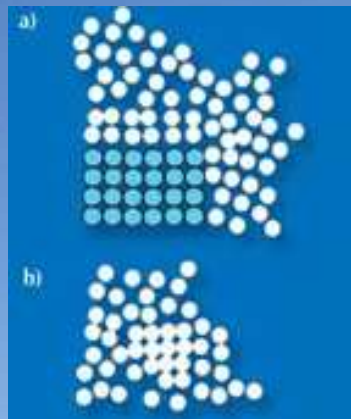
Óxido sólido (SOFC)

Solid Oxide Fuel Cell

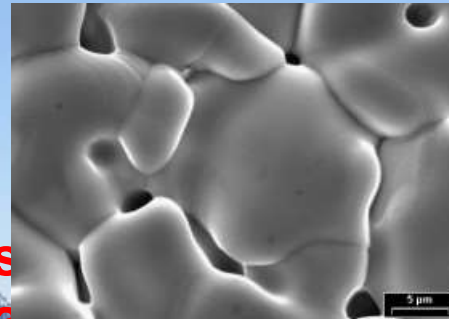


Al enfriarse un líquido o un gas algunos materiales solidifican ...

<http://www.doitpoms.ac.uk/tplib/atomic-scale-structure/intro.php>

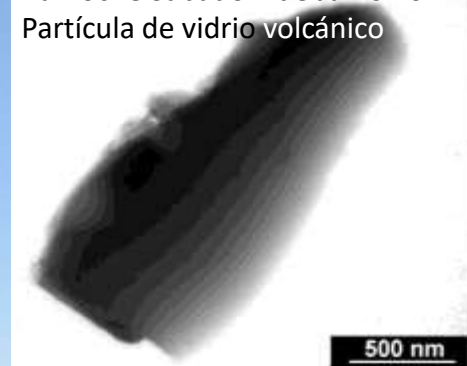


... otros forman
policristales



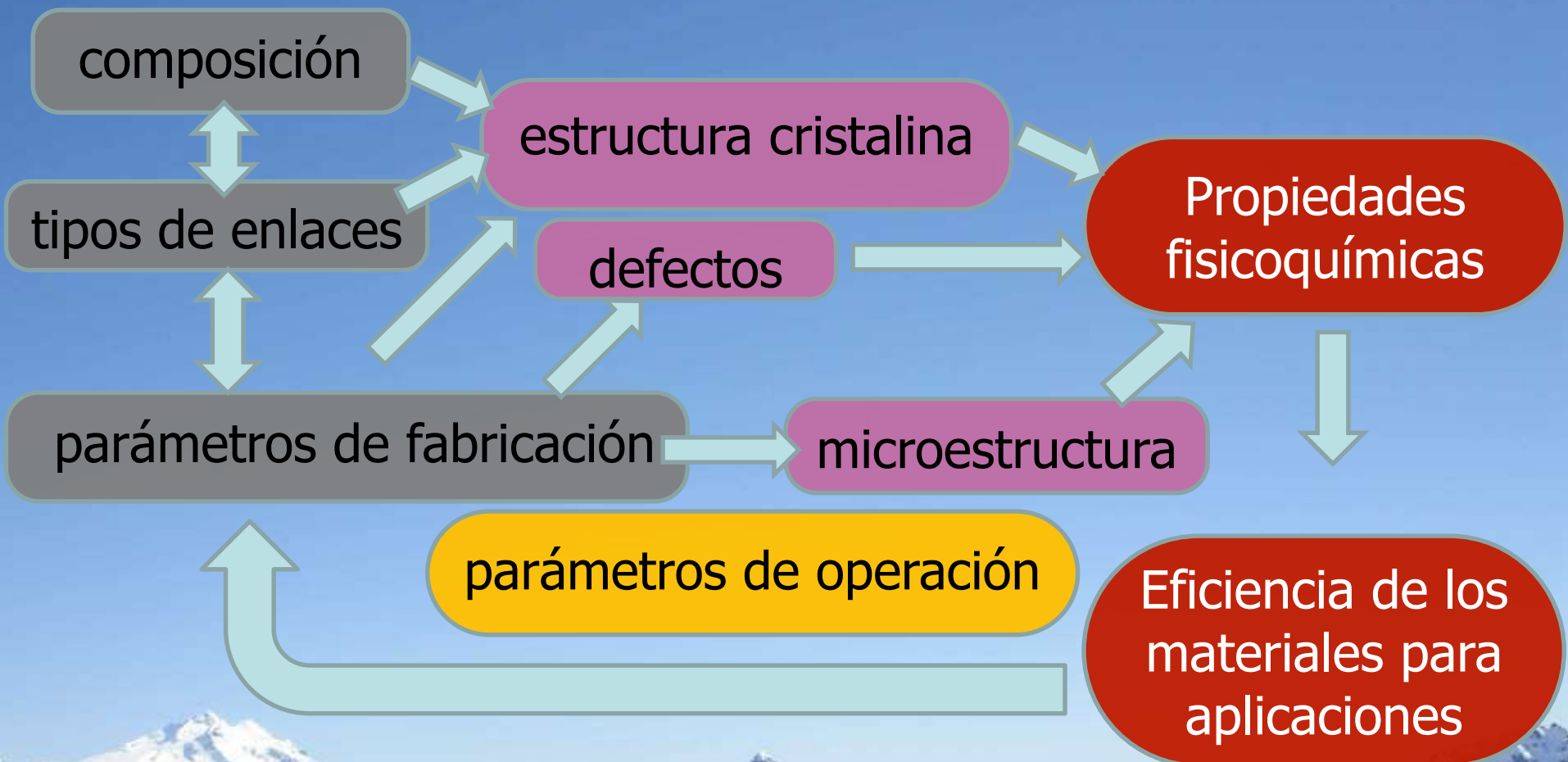
... como monocristales
(todos ordenados en la
misma dirección)

Bariloche Sábado 4 de Junio 2011
Partícula de vidrio volcánico



... y otros como
amorfos o VIDRIOS

Ciencia de materiales



Ciencia de materiales y técnicas de caracterización

Óxidos

- perovskitas
- fluoritas
- Ruddlesden -Popper

Caracterización cristalográfica

Microscopía electrónica(SEM, TEM)
Difracción de Rayos-X y Neutrones
Métodos de radiación sincrotrón
(XANES, EXAFS, etc)

Propiedades electroquímicas

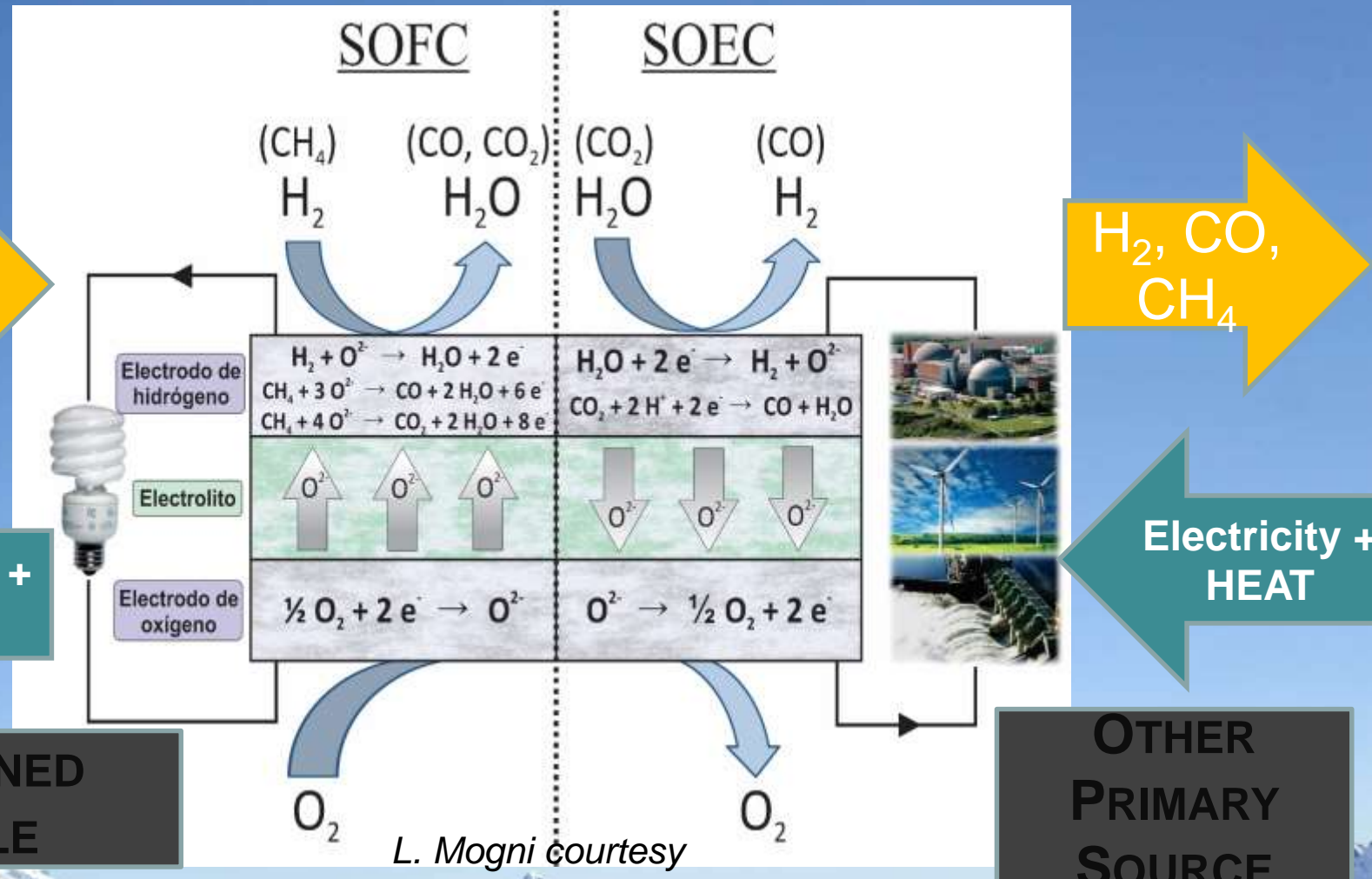
técnicas
in-situ/in-operando

SOC: celdas
de óxido
sólido

Reversible solid oxide cells (Fuel or Electrolyzer)

Fuel Cell Mode

Electrolyzer Mode



Development, synthesis and characterization of oxides

- Several synthesis route to tailor morphology
- Resolution of the high temperature phase diagram through the determination of the oxygen chemical potential
- High temperature defect structure through thermogravimetric and electrochemical measurements

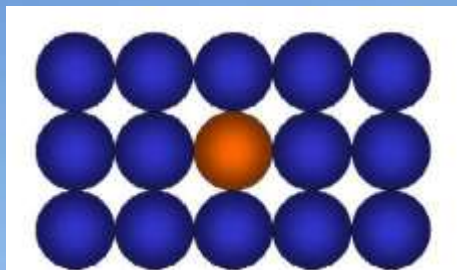
Tipos de defectos

- **0-D** Defectos puntuales o cero-dimensionales tienen el volumen de dimensiones atómicas.
 - Defectos en las posiciones atómicas: sustituciones, sitios vacantes, átomos extra.
 - Defectos electrónicos: fonones, polarones, centro de color, etc.
- **1-D** Defectos Lineales (ej. dislocaciones)
- **2-D** Defectos superficiales-borde entre dos regions ordenadas del cristal (ej. Bordes de grano, interfases, superficies)
- **3-D** Defectos en volúmen-inhomogeneidades en la forma o estructura del sólido (ej.: precipitados, poros, fisuras, inclusiones)

Defectos puntuales (0-D)

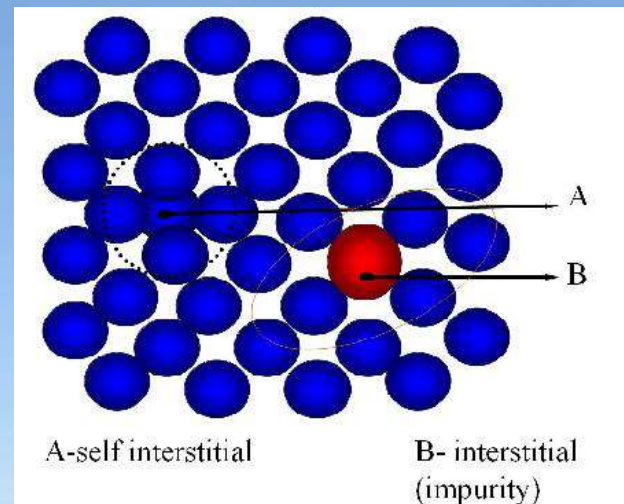
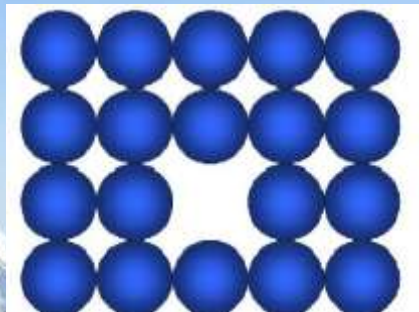
- a) Substitución de átomos, (impurezas usualmente más grande)
- b) Intersticiales, ocupan sitios de red (impurezas usualmente más chicas)
- c) Vacancias (átomos faltantes)

Substitución



Interstitial

Vacancia



Defectos en equilibrio

$$\Delta G = \Delta G_o + n \Delta g - T \Delta S \quad (1)$$

ΔS es proporcional al número de configuraciones W ,

$$\Delta S = k \ln W = k \ln [N!/(N-n)!n!] \quad (2)$$

donde k es la constante de Boltzman.

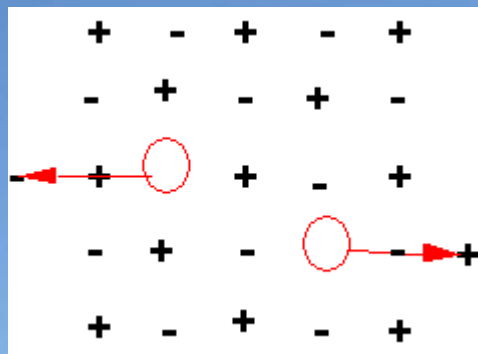
La concentración de defectos diluidos ($n \ll N$), minimizando ΔG

$$c = \exp(-\Delta g / kT) \quad (3)$$

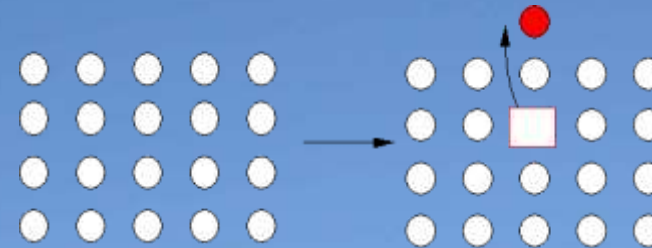
Physical Ceramics, Principles for Ceramic Science and Engineering. Y. M. Chiang, D. Birnie III, and W. D. Kingery

Defectos en sólidos iónicos

- Tienen en cuenta la neutralidad de cargas



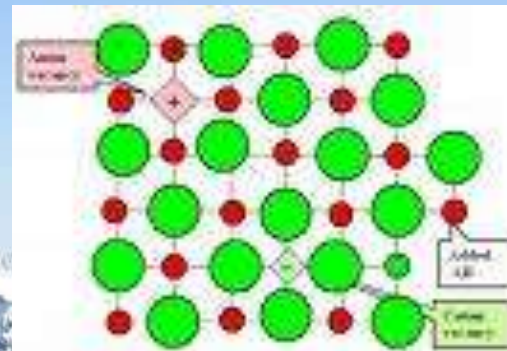
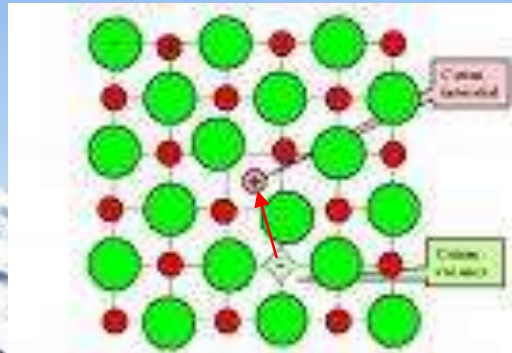
Defectos Frenkel



Vacancia o Schottky

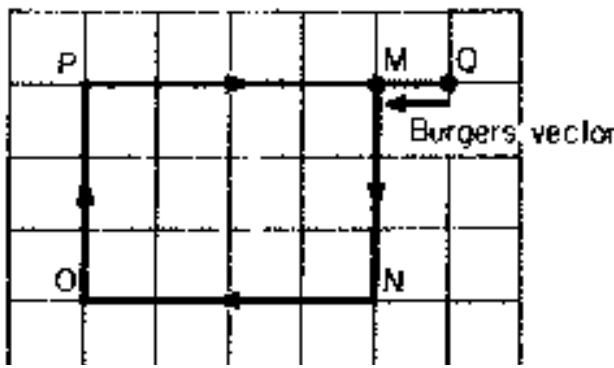
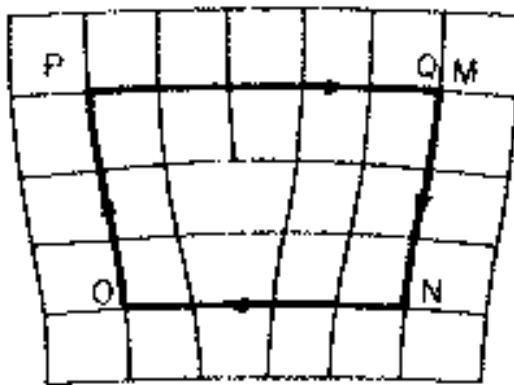
Iones positivos y negativos se mueven a la superficie dejando un par de vacancias

Defectos Schottky



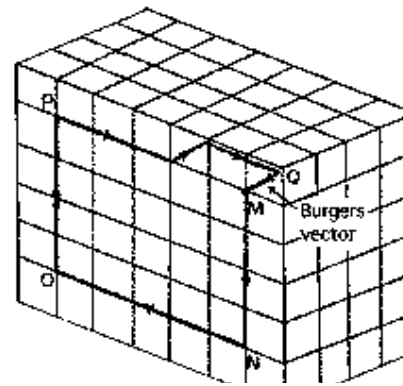
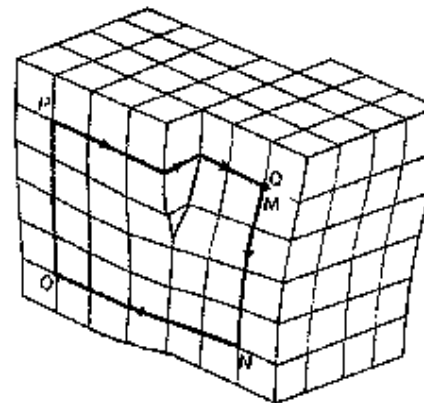
1-D Defectos lineales: dislocaciones

Las dislocaciones fueron originalmente pensadas para explicar la discrepancia entre los valores teóricos determinados para el modulo de deformación y los valores determinados experimentalmente, mucho antes que pudieran ser directamente observadas. Se caracterizan por su vector de Burger (diferencia en el circuito imperfecto (arriba) y en el cristal perfecto (abajo)).



Borde (Edge)

Vectors describing dislocation line and Burger's vector are
Perpendicular



Hélice (Screw)

Parallel

2-D Defectos bidimensionales

- a) Superficie libre de un cristal (sólido/vapor)
- b) Bordes de grano (sólido/sólido: interfaces α/α)
 - Separan dos regiones del cristal con diferente orientación en el espacio pero con la misma composición y estructura
- c) Interfaces de Interfases (sólido/sólido: interfaces α/β)
 - Separan dos regiones del cristal con diferente estructura y/o composición

Cálculo de la energía libre de una superficie γ

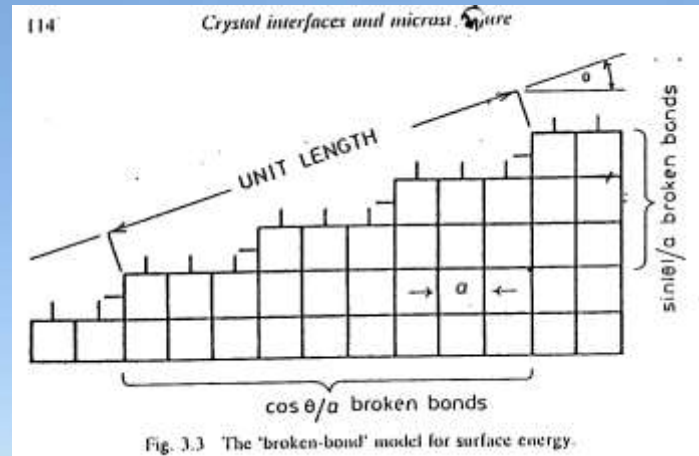
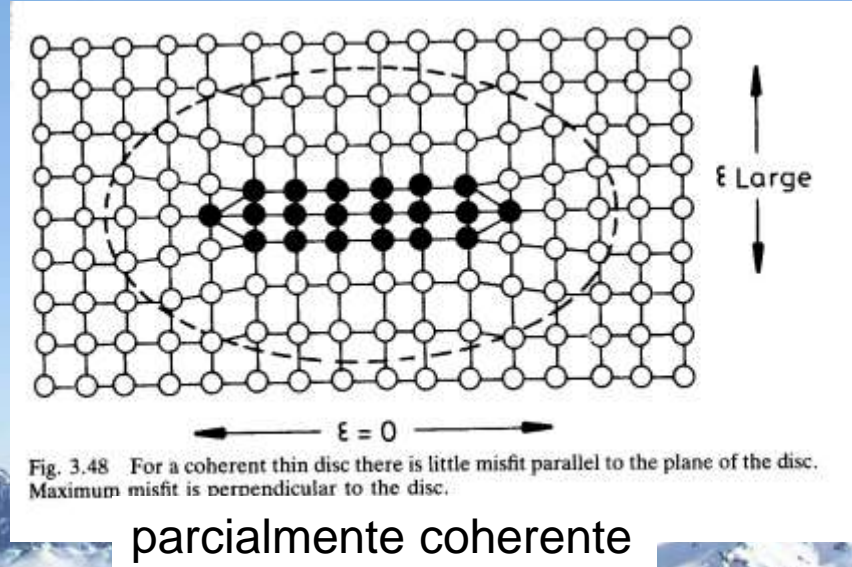
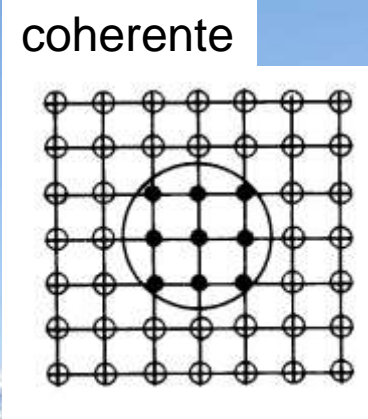


Fig. 3.3 The 'broken-bond' model for surface energy.

3-D Defectos tridimensionales o de volumen

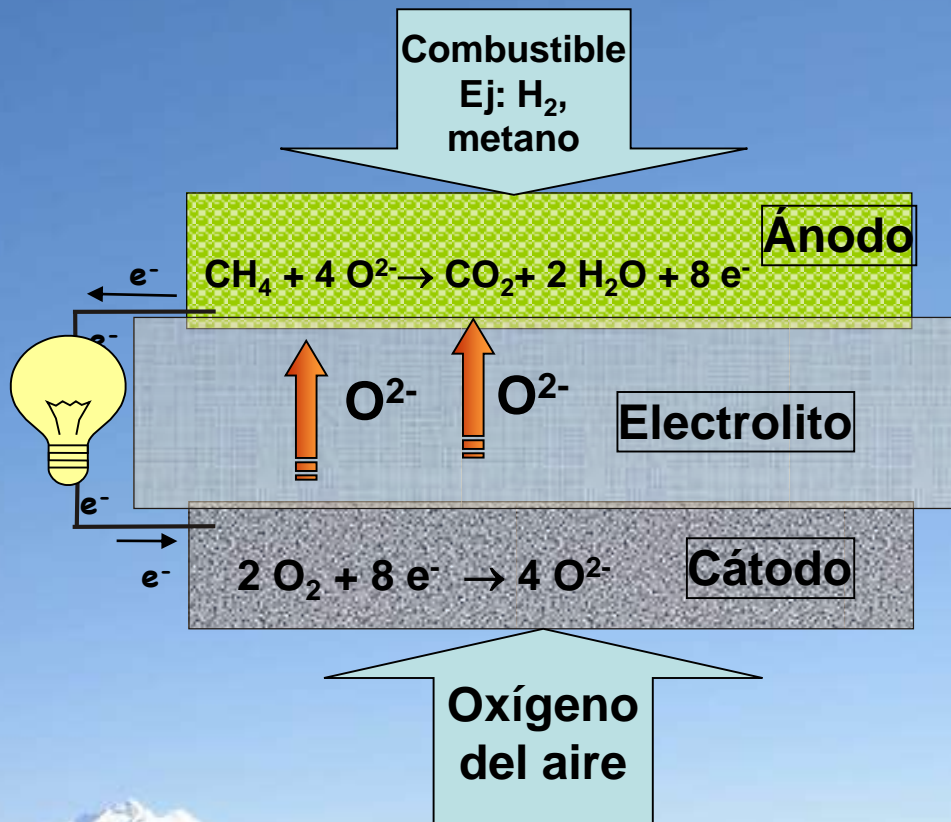
- Inclusiones o precipitados
- Porosidad (gas atrapado)
- Grietas

Ejemplos de precipitados β en una matriz α



Introducción: SOFC

Principio de funcionamiento de una celda de combustible de óxido sólido
(Solid Oxide Fuel Cell - SOFC)



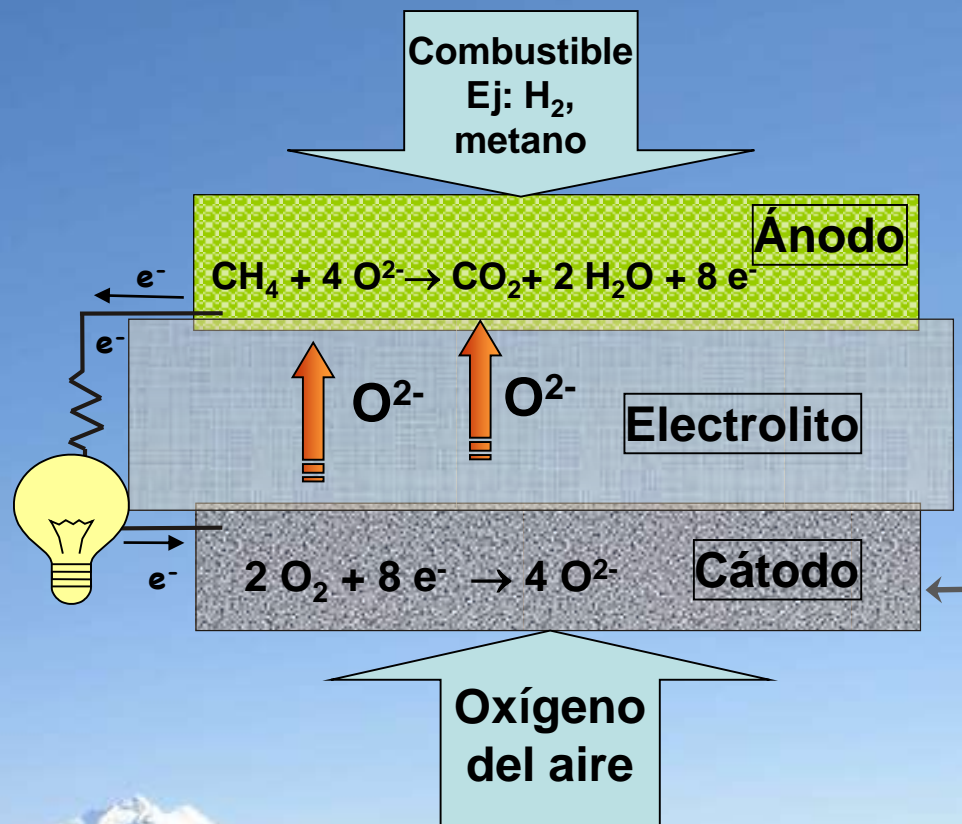
SOFC convencionales:
(700 – 1000 °C)

- Ánodo: Ni-YSZ
- Electrolito: YSZ
- Cátodo: LSM

Larminie, J. y Dicks, A.,
“Fuel cell systems explained”, John Wiley & Sons, 2a ed. (2003).

Introducción: SOFC

Principio de funcionamiento de una celda de combustible de óxido sólido
(Solid Oxide Fuel Cell - SOFC)

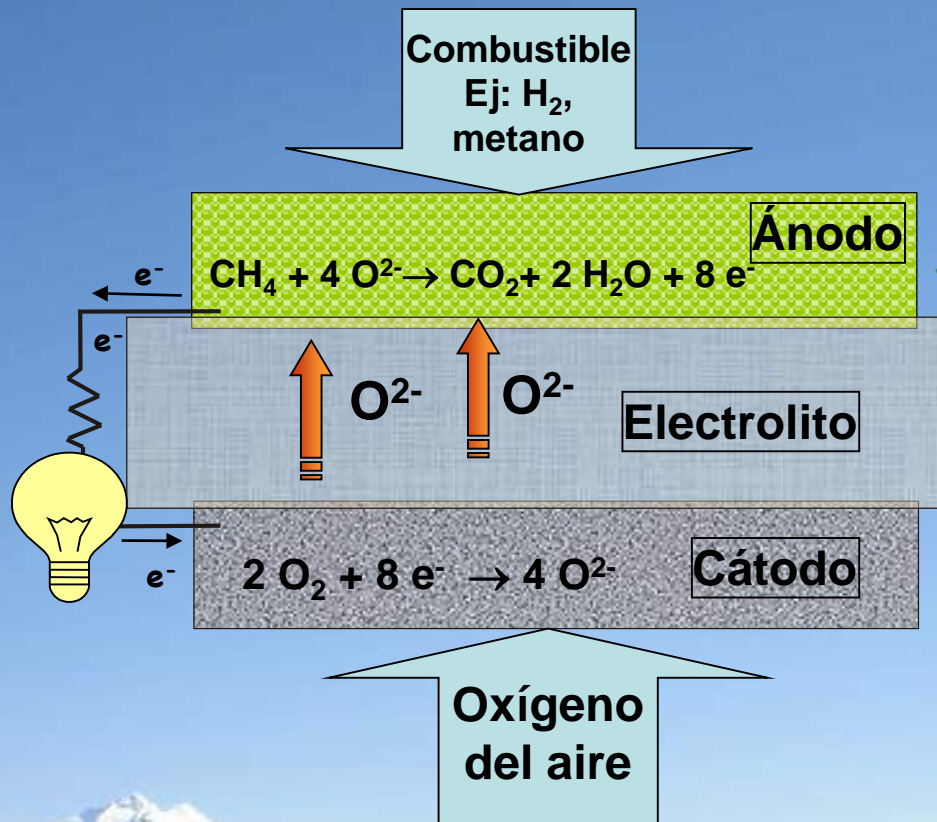


Cátodo:

- Estructura Porosa
- Reacción Catódica (ORR)
- Compatibilidad estructural con el electrolito
- Conductor eléctrico o mixto (MIEC)
- Ej: LSM o LSCF

Introducción: SOFC

Principio de funcionamiento de una celda de combustible de óxido sólido
(Solid Oxide Fuel Cell - SOFC)

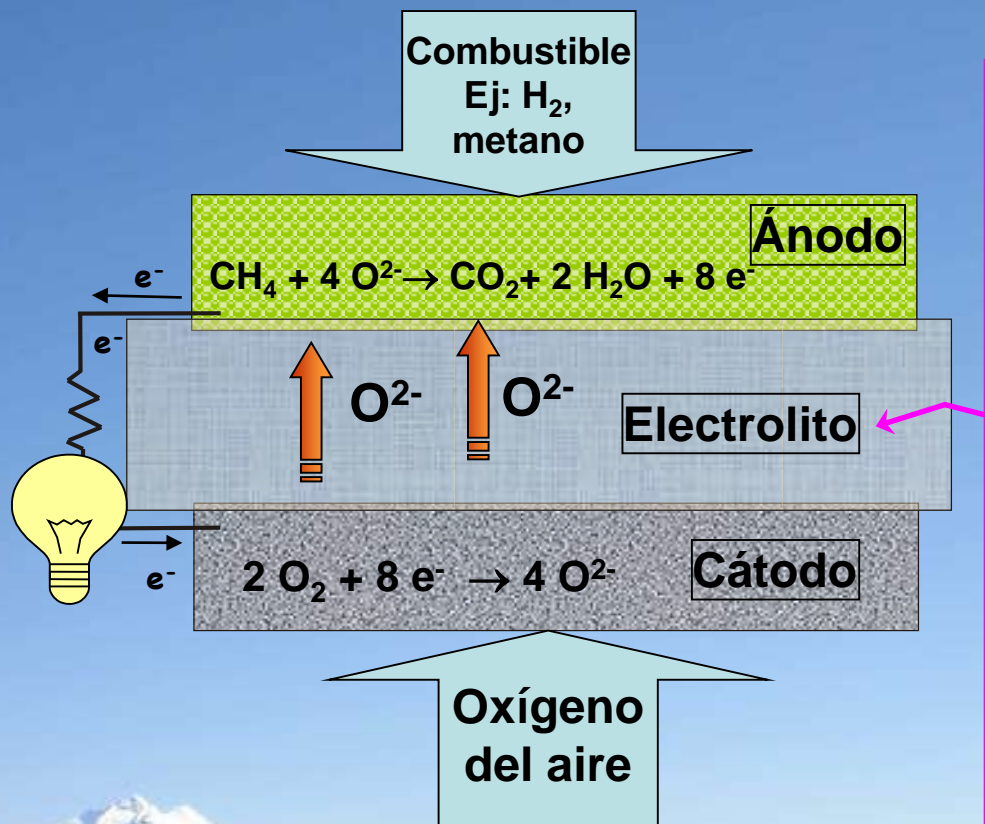


Ánodo:

- Estructura Porosa
- Reacción Anódica
- Compatibilidad estructural con el electrolito
- Conductor eléctrico
- Cermet de Ni soportado en YZO o CGO

Introducción: SOFC

Principio de funcionamiento de una celda de combustible de óxido sólido
(Solid Oxide Fuel Cell - SOFC)



Electrolito:

- Conductor Iónico
 $\text{SOFC} \rightarrow \text{O}^{2-} \rightarrow \text{T}_{\text{op}} \approx 600-1000 \text{ }^{\circ}\text{C}$
- Conductividad Electrónica ≈ 0
- Denso
- Estabilidad Química y estructural en atmósfera reductora y oxidante.
- Ej. $(\text{Y}, \text{Zr})\text{O}_{2-x}$ (YZO), $(\text{Ce}, \text{Gd})\text{O}_{2-x}$ (CGO)

EFICIENCIA TERMODINÁMICA



Reacción básica:
 $H_2 + \frac{1}{2} O_2 \rightarrow H_2O$

Producto H ₂ O	Temp (°C)	Δg_f (kJ mol ⁻¹)
Líquido	25	-237.2
Líquido	80	-228.2
Gas	80	-226.1
Gas	200	-220.4
Gas	400	-210.3
Gas	800	-188.6

Energía Libre de Gibbs:

$$\Delta G_f = \Delta G_f (\text{productos}) - \Delta G_f (\text{reactivos})$$

Energía por unidad de mol:

$$\Delta g_f = \Delta g_f (H_2O) - \Delta g_f (H_2) - \frac{1}{2} \Delta g_f (O_2)$$

Esta energía depende de temperatura y del estado final del agua:

$$\Delta g_f(200 \text{ °C}) = -220 \text{ kJ mol}^{-1}$$

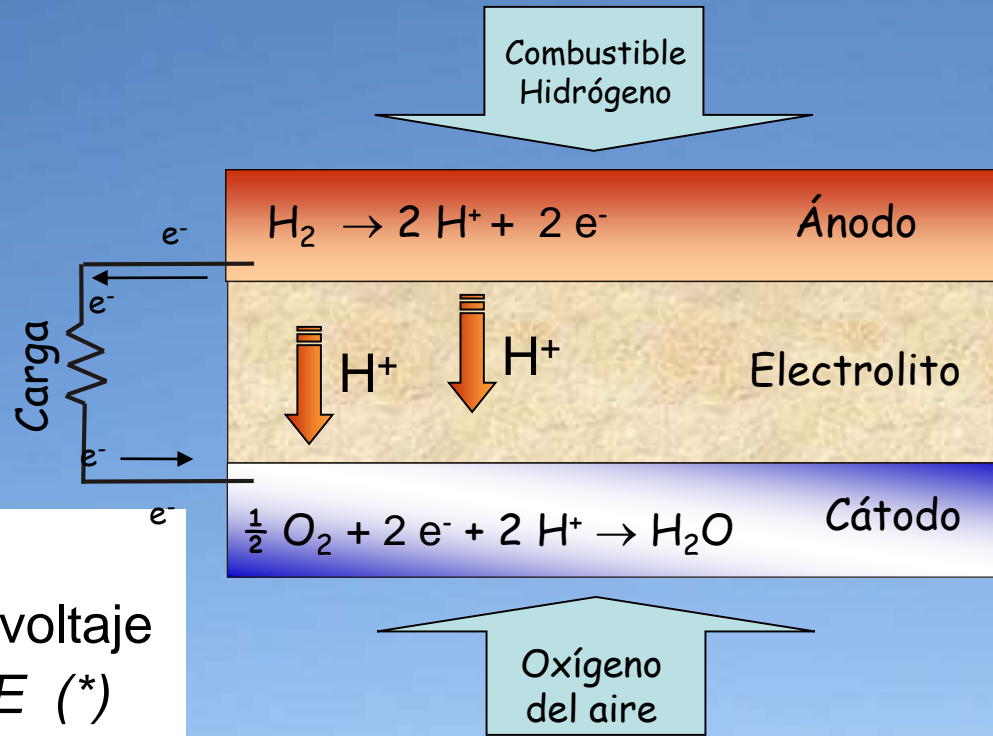
Voltaje a circuito abierto

Reacciones en una
PEM

Reacción básica:
 $H_2 + \frac{1}{2} O_2 \rightarrow H_2O$

Por cada mol de H_2 :

Energía eléctrica = carga x voltaje
 $-2Ne \times E = -2F \times E$ (*)



$$\Delta g_f = -2F \times E \quad E = -\Delta g_f / 2F$$

e: carga de un electrón

N: número de Avogadro

F: constante de Faraday

E: voltaje a circuito abierto (EMF)

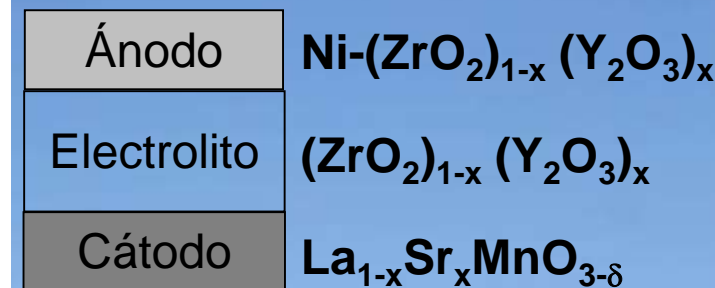
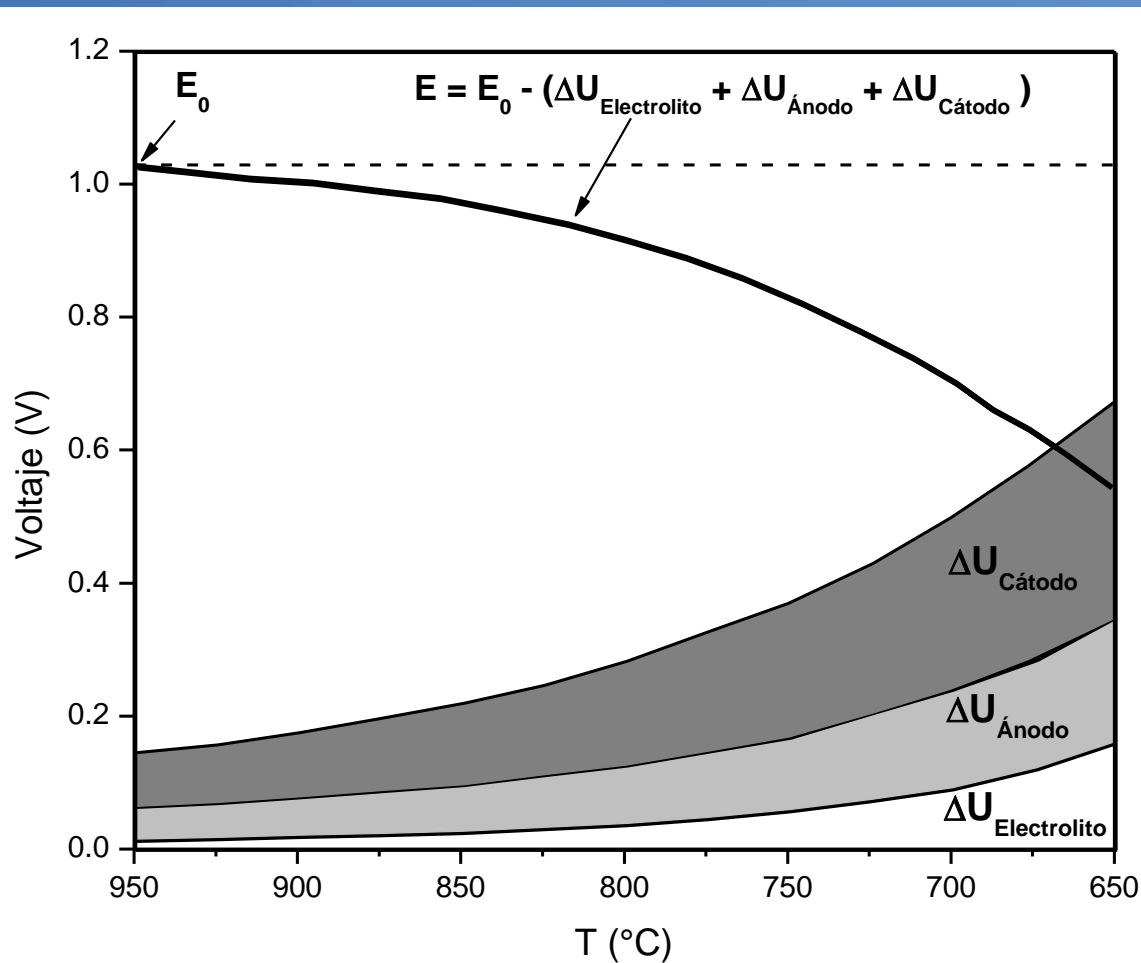
(*) Unidades: J (Joule) = C (coulomb) x V (volt)

Ejemplo operando a 200°C

$$E = -\frac{220 \text{ kJ}}{2 \times 96.485 \text{ C}} = 1.14 \text{ V}$$

Introducción: SOFC a IT-SOFC

Voltaje de salida y sobrepotenciales de una SOFC convencional



$$I = 100 \text{ mA/cm}^2$$

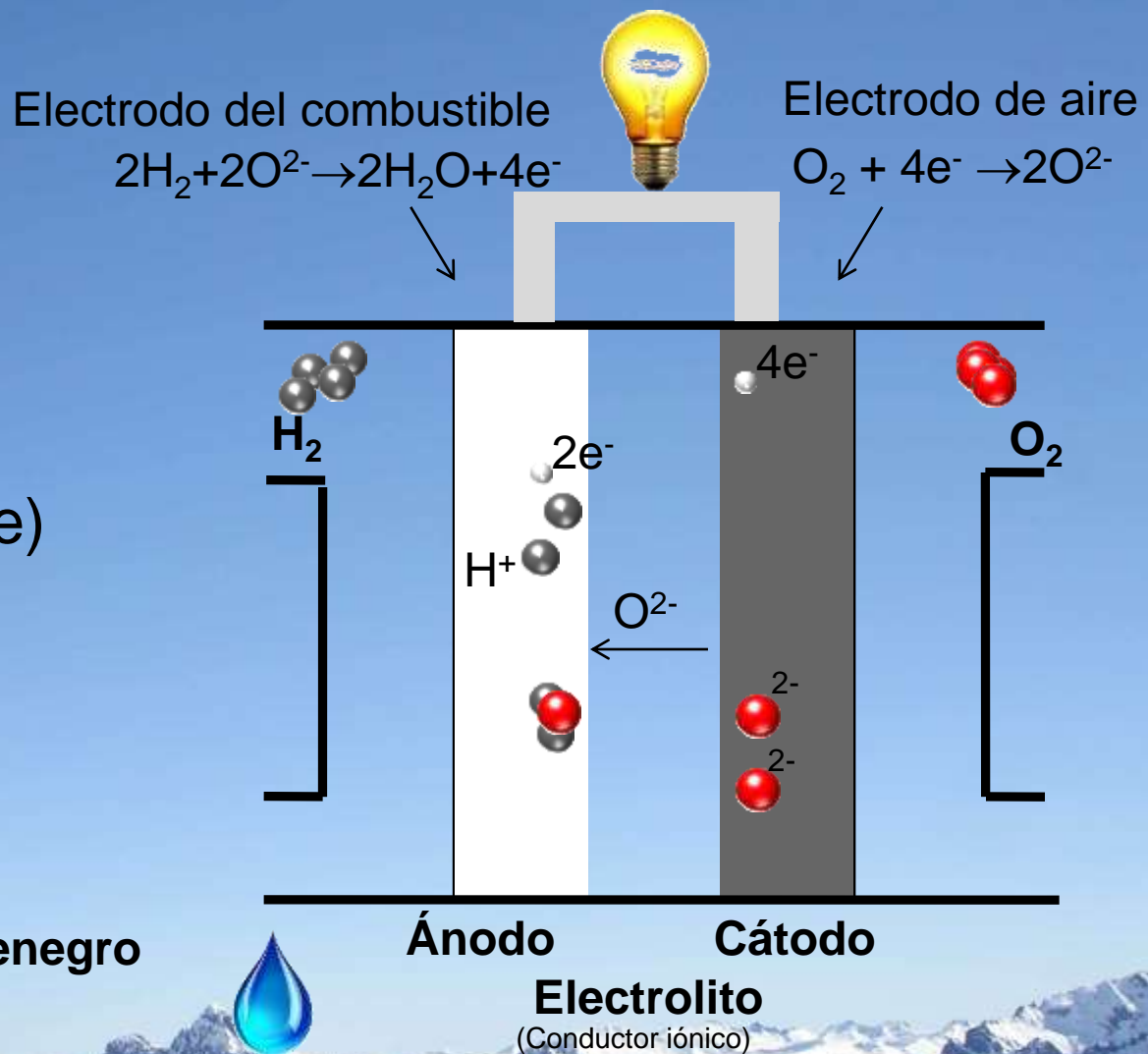
Ivers-Tiffée et al, JECS 21 (2001) 1805

A bajas temperaturas
 $\Delta U_{\text{cátodo}}$ limita el
rendimiento de la celda

Cómo funciona una SOFC



$$\Delta H_r = \Delta G + T\Delta S$$
$$\Delta G = -W_{elec} \text{ (reversible)}$$



Tesis doctoral Alejandra Montenegro

SOLID OXIDE FUEL CELL

ELECTRICIDAD
+
CALOR

SOFC

Gas Natural

CH_4

$\text{H}_2 + \text{CO}$

O_2



4e^-

Reformador



$\text{H}_2\text{O} + \text{CO}_2$



Ánodo Cátodo

Electrolito
(Conductor iónico)

Membrane Electrode Assembly (MEA)



SOLID OXIDE FUEL CELL SOFC

- **Símil batería pero sin tiempos muertos de recarga.**

Alto rendimiento energético

Calor de calidad como subproducto aprovechable

- **Completamente sólida**

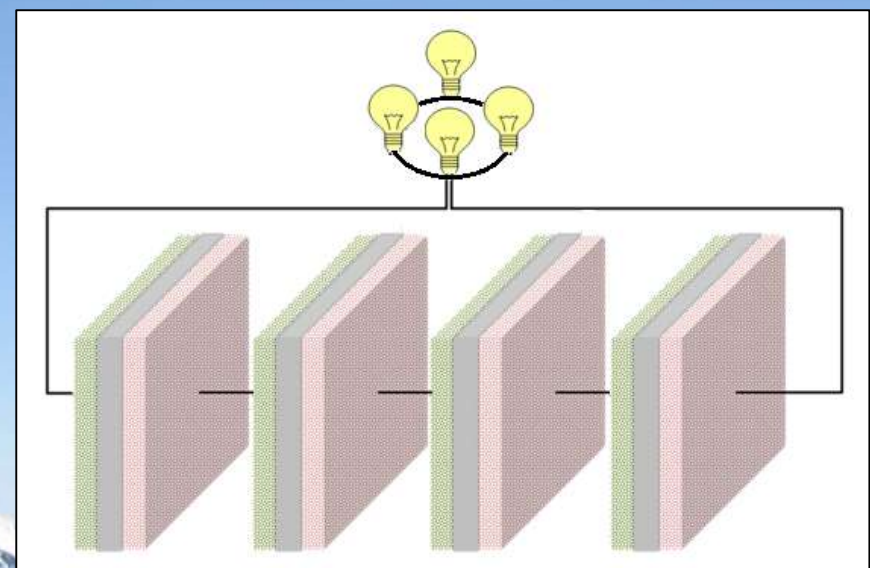
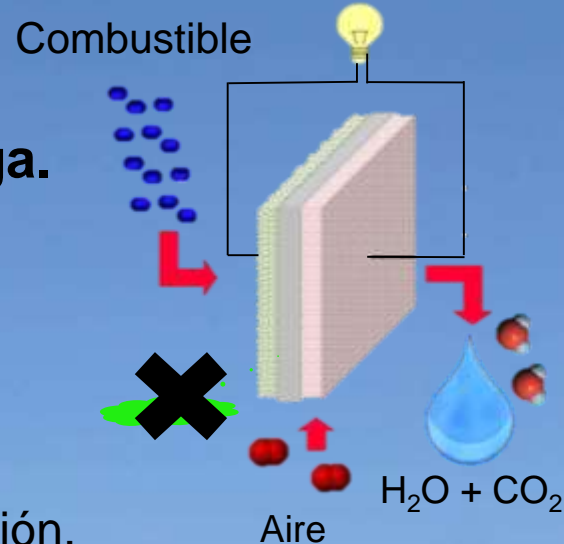
Materiales cerámicos que no presentan problemas de corrosión.

- **Tecnología Modular**

Fácilmente escalable para otras aplicaciones

- **Flexible**

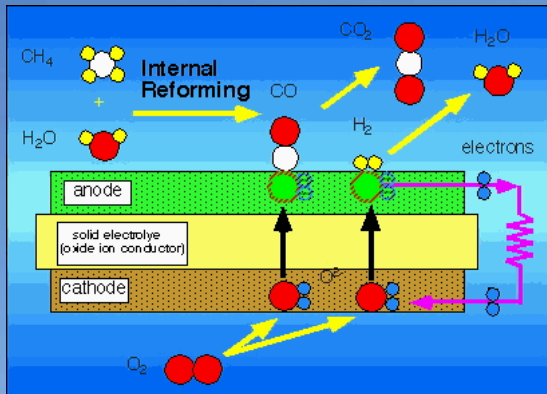
Funciona con diferentes combustibles
(GNC, Biocombustibles, etc)



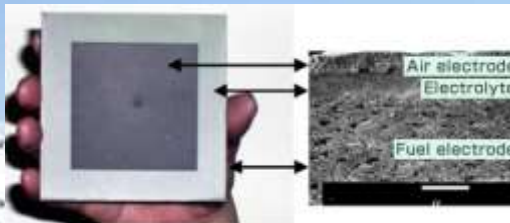
Celdas SOFC comerciales

Tokyo Gas (Japón)

Technología planar



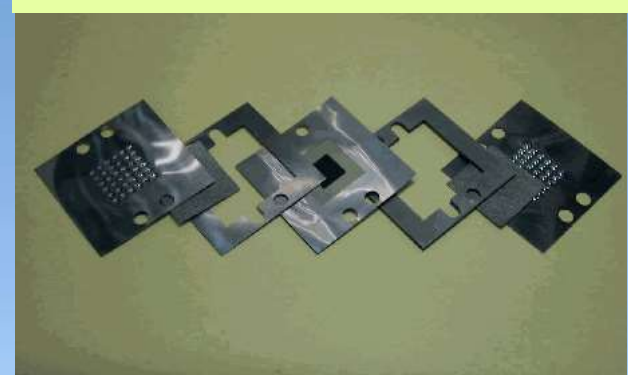
Electrolito: 200 μm
Ánodo y cátodo sostenidos



Fotografía del módulo



Technología nueva: 750 °C



Características :
48 celdas, 1.7 kW
1 W/cm²
2000 h sin deterioro
52% eficiencia

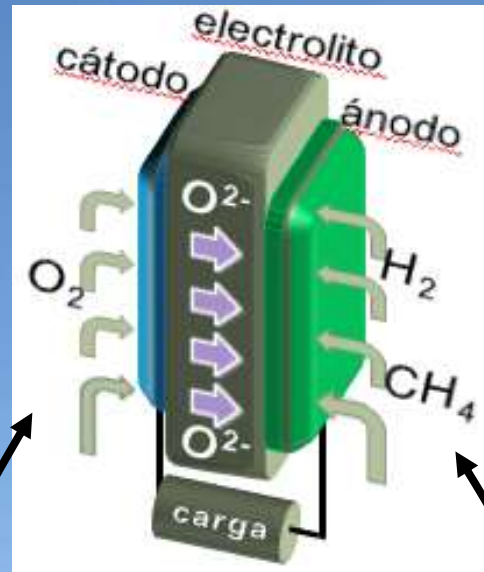
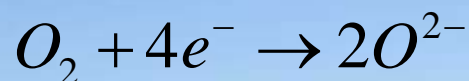
Electrolito: 30 μm
sostenido en el ánodo (serigrafía)
Material de interconexión: Acero
0.65 W/cm²

SOFC electrodes

Cathode

- O₂ Reduction Reaction Catalyst
- Good electronic conductor
- Good ionic conductor

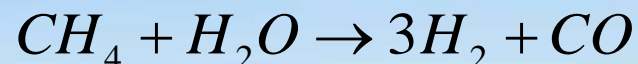
MIEC



Anode

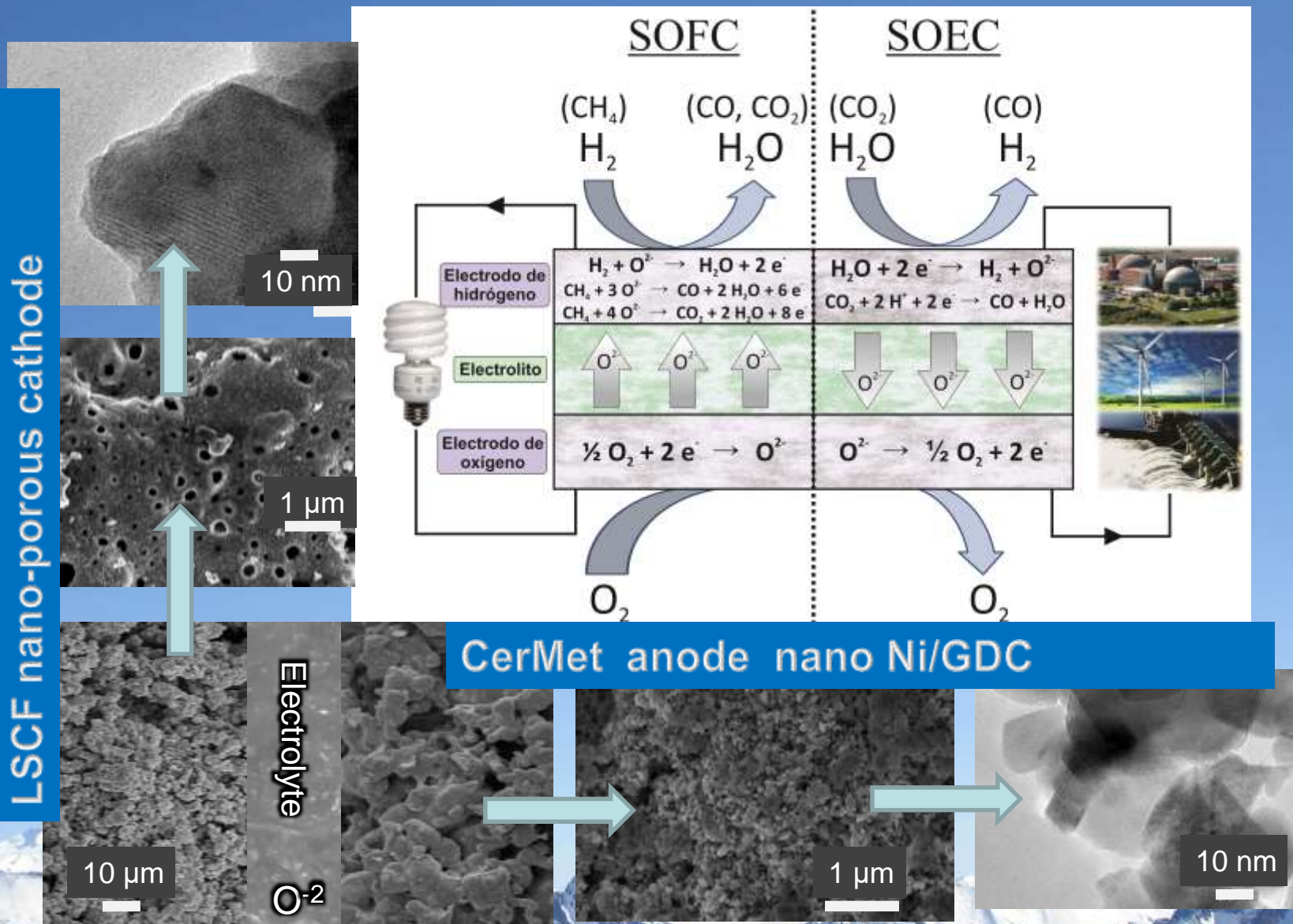
- Fuel oxidation reaction Catalyst
- Good electronic conductor
- Good ionic conductor

CERMET



Nanomaterials for IT-SOFC

Electrochemistry Comm. 10 (2008) 1905
ECS Trans. 25 (2009) 2473



SOC materials

➤ Market requirements :

- Lower Cost
- Reliability
- Durability

➤ Material requirements :

- Better efficiencies
- Structural stability
- Chemical and mechanical compatibility

Operation at high temperature is
a critical issue

❖ Strategies:

- ❖ Search for new compositions
- ❖ Improve morphology
- ❖ Improve interfaces

- ❖ IT-SOFC
- ❖ Nanomaterials?

Goal: To understand the correlation between structural and physicochemical properties

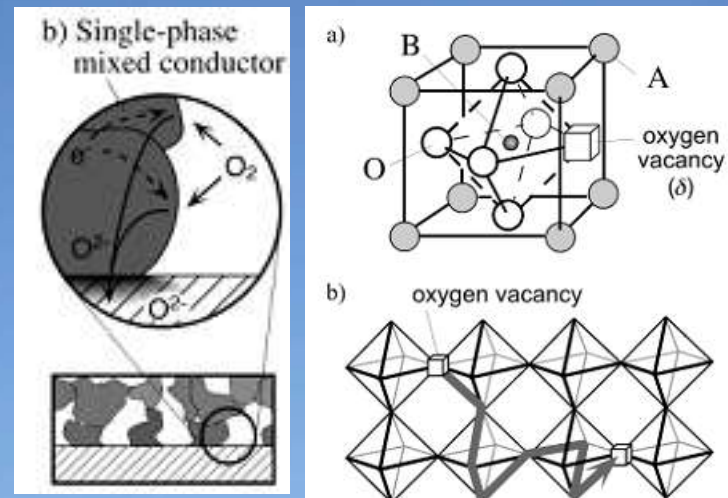
1-Cátodo (electrodo aire)

Conductor electrónico



S. Adler,
Chem.Rev.
104(2004)

Conductor mixto (**MIEC**)



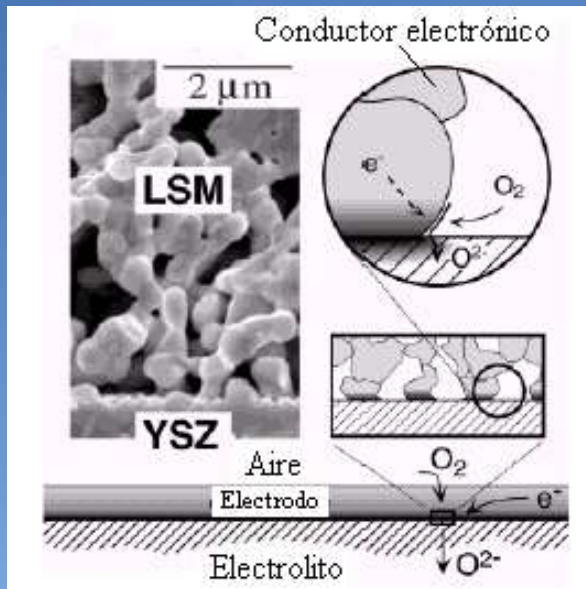
Triple Phase Boundary: la reacción sólo ocurre donde hay contacto entre gas, cátodo y electrolito

- La corriente es transportada tanto por iones como por electrones
- La reacción puede ocurrir en toda la interfase cátodo/gas.



Disminución de $\Delta U_{\text{catódico}}$: composición

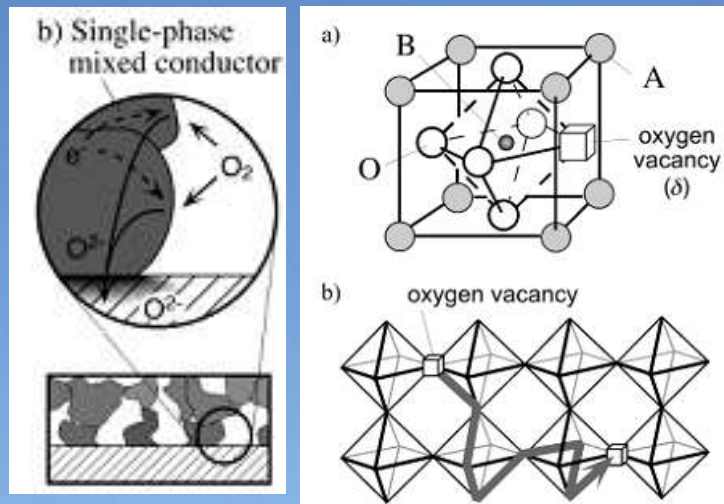
Conductor electrónico



S. Adler,
Chem. Rev.
104(2004)

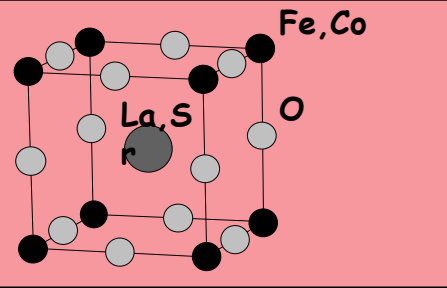
- **CONTACTO TRIPLE:** la reacción **sólo** ocurre en la zona donde están en contacto el gas, el conductor electrónico y el electrolito

Conductor mixto



- La corriente es transportada por iones oxígeno y electrones
- La reacción **también** puede ocurrir en las zonas donde están en contacto el gas y el cátodo.

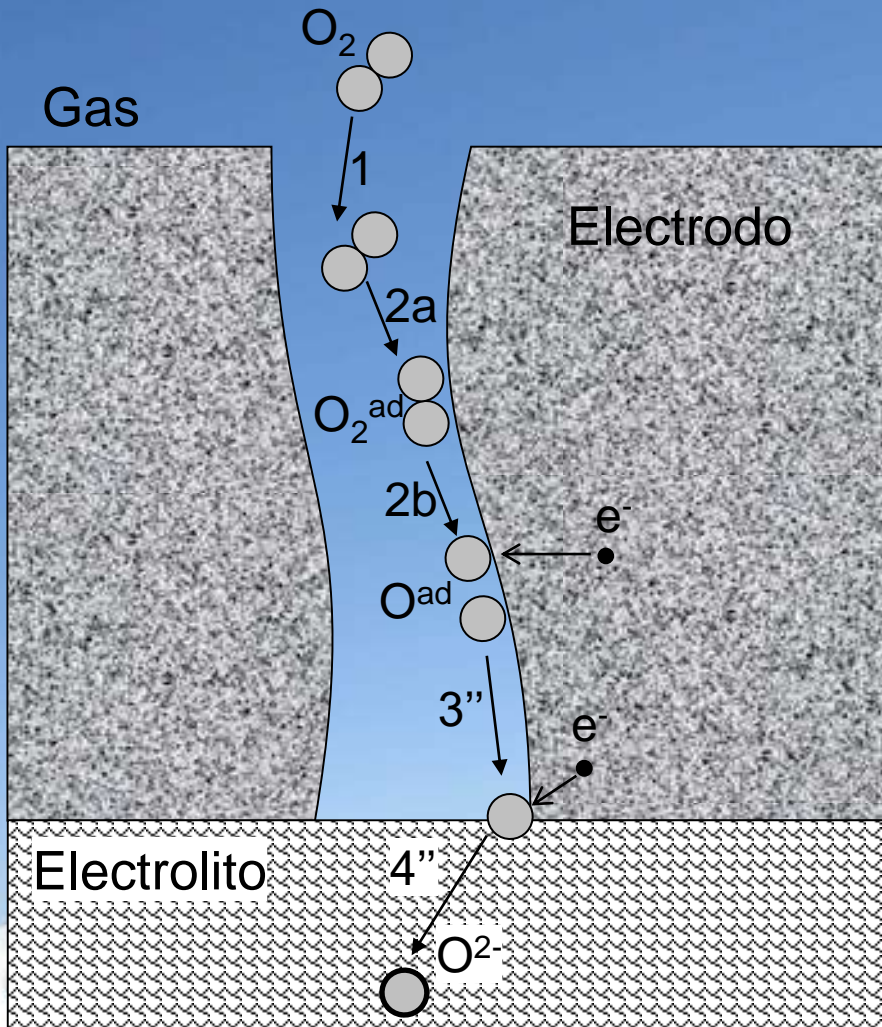
Las fases perovskitas de (La,Sr)(Fe,Co)O₃ son buenas candidatas para ser usadas como material de cátodo con CGO



Cátodos: reacción de electrodo

Reacción de reducción de oxígeno (ORR)

Conductor electrónico puro (ej. $\text{La}_{1-x}\text{Sr}_x\text{MnO}_3$)



1. Difusión en fase gaseosa
- 2a. Adsorción-desorción no disociativa de O_2
- 2b. Disociación
- 2a-b. Adsorción disociativa
- 3''. Difusión superficial de O^{ad}
- 4''. Transferencia iónica en el punto triple

$$\downarrow \Delta U_{\text{Cátodo}} \rightarrow \uparrow \text{Nº puntos triples}$$

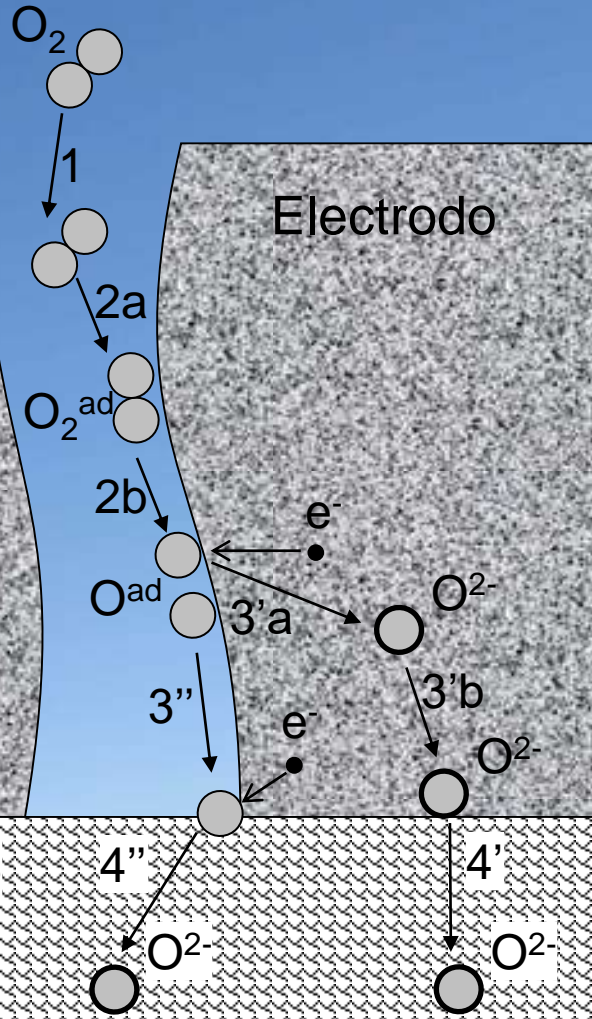
- Composites (ej. $\text{La}_{1-x}\text{Sr}_x\text{MnO}_3/\text{YZS}$)
- Nano/microestructura

Cátodos: reacción de electrodo

Reacción de reducción de oxígeno (ORR)

Conductor mixto (ej. $\text{La}_{1-x}\text{Sr}_x\text{Co}_{1-y}\text{Fe}_y\text{O}_{3-\delta}$)

Gas



1. Difusión en fase gaseosa

2a. Adsorción-desorción no disociativa de O_2

2b. Disociación

2a-b. Adsorción disociativa

3'a. Transferencia de carga e incorporación iónica al electrodo

3'b. Difusión de O^{2-} en el interior del electrodo

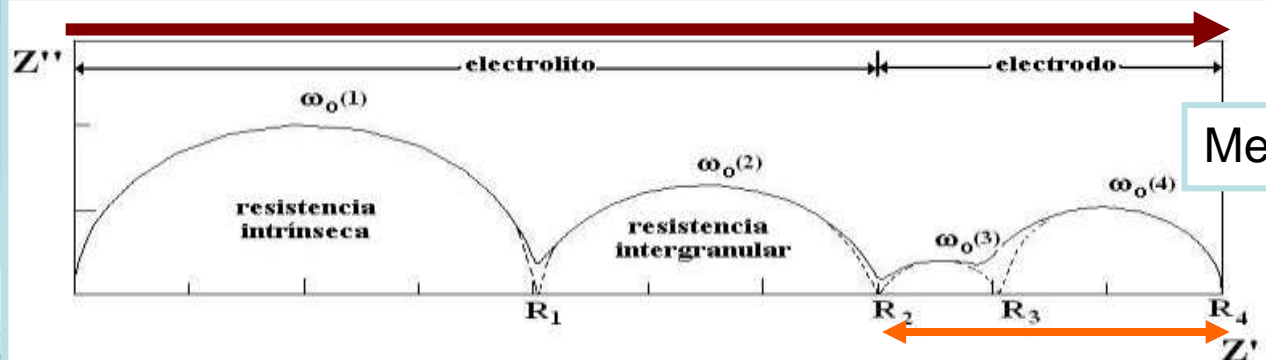
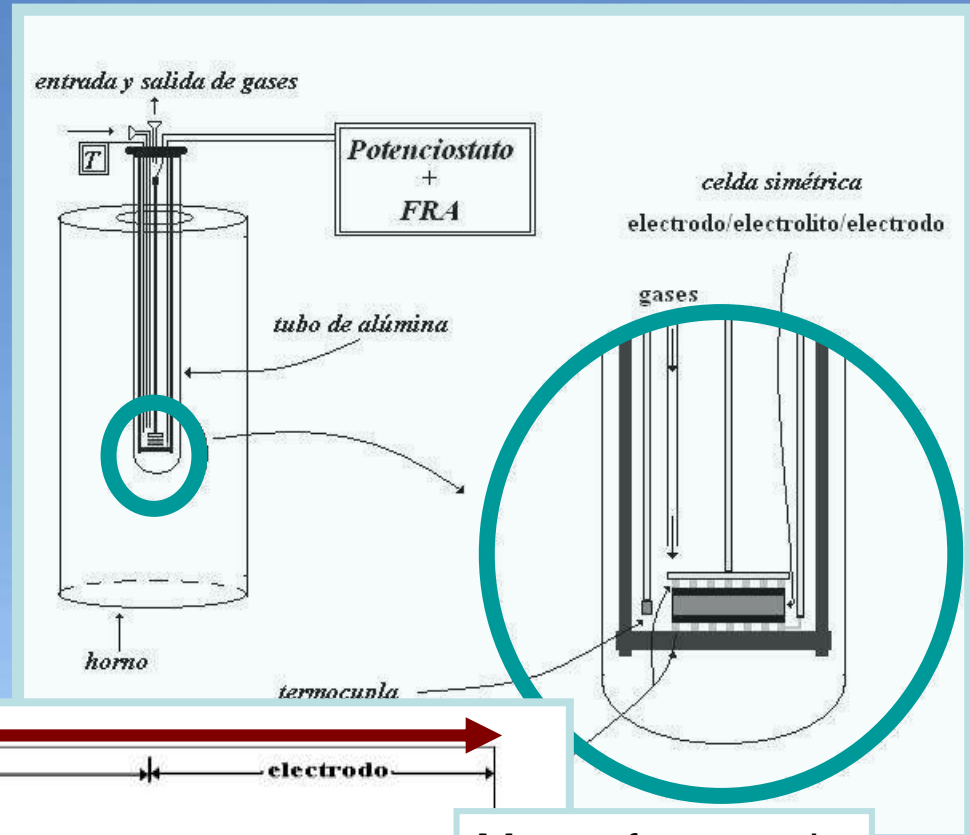
4'. Transferencia iónica en la interfase electrodo/electrolito

$$\downarrow \Delta U_{\text{Cátodo}} \rightarrow$$

- Composición
- Nano/microestructura

Espectroscopia de Impedancia Electroquímica (EIS)

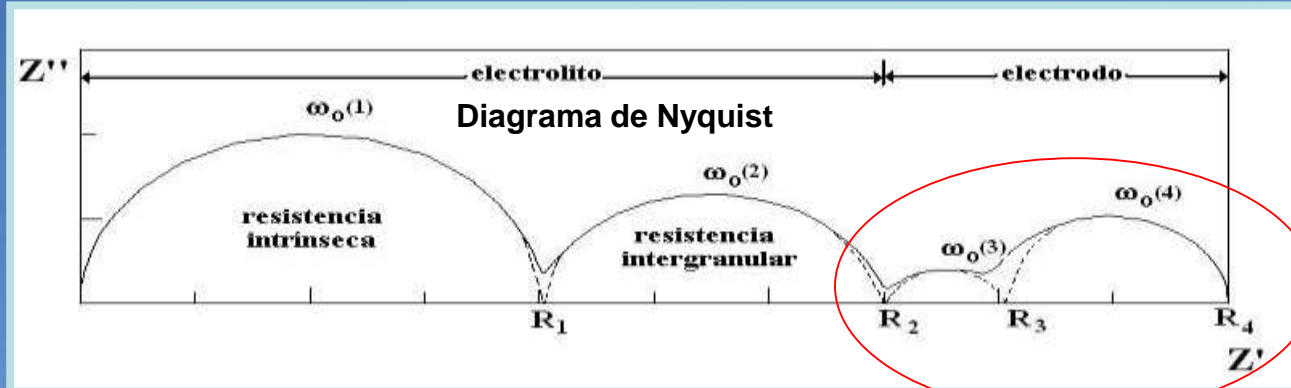
Esquema del equipo de medida



Menor frecuencia

Resistencia de
polarización ASR

Espectroscopía de Impedancia Electroquímica (EIS)



1- Difusión de O_2 en fase gaseosa

$$R_{diff} = 2 \frac{RT}{(4F)^2} \frac{L}{D_{O_2}^{eff}} (pO_2)^{-1}$$

2- Adsorción dissociativa

$$R_{ads} = \frac{RT}{(2F)^2} \frac{1}{k} (pO_2)^{-1/2}$$

3- Incorporación del O ads en el electrodo (transf. carga)

$$R_{gas} \propto i_0^{-1} \propto p_{O_2}^{-1/4}$$

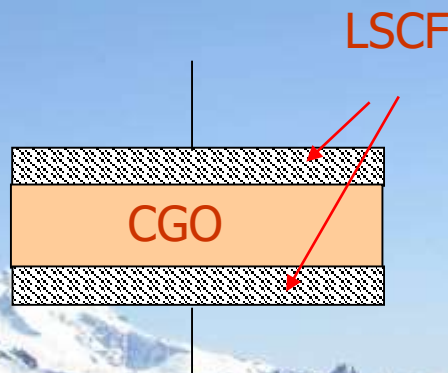
4- Difusión en el conductor mixto

$$R_w = \frac{RT}{4F^2} \frac{1}{S C_V} \frac{l}{D_v}$$

Disminución de $\Delta U_{\text{catódico}}$: microestructura

Los materiales nanoestructurados con alta relación área/volumen, aumentarían la extensión de la zona de reacción y disminuirían el sobrepotencial catódico

Mejorar la ASR de los cátodos variando la micro/nanoestructura y entender los mecanismos de reacción electrodos porosos de la misma composición, (LSCFO), preparados por diferentes métodos.



- Spray
 - Pyrolysis
 - Acetatos
 - HMTA
 - PLD
 - Nanotubos
- spray
-dip-coating
-Spin-coating

Tesis doctoral
Laura Baqué

Mediciones electroquímicas EIS (impedancia compleja) en celdas simétricas en función de T y $p(O_2)$ controlada

Cátodos: métodos de síntesis

Método de Acetatos

La_2O_3 (secado a 1100°C); SrCO_3 ; $\text{Co}(\text{CH}_3\text{COO})_2$; $\text{Fe}(\text{CH}_3\text{COO})_2$

Mezcla con ácido acético

$\text{H}_2\text{O} + \text{H}_2\text{O}_2$

Reflujo a 80°C

Formación de solución

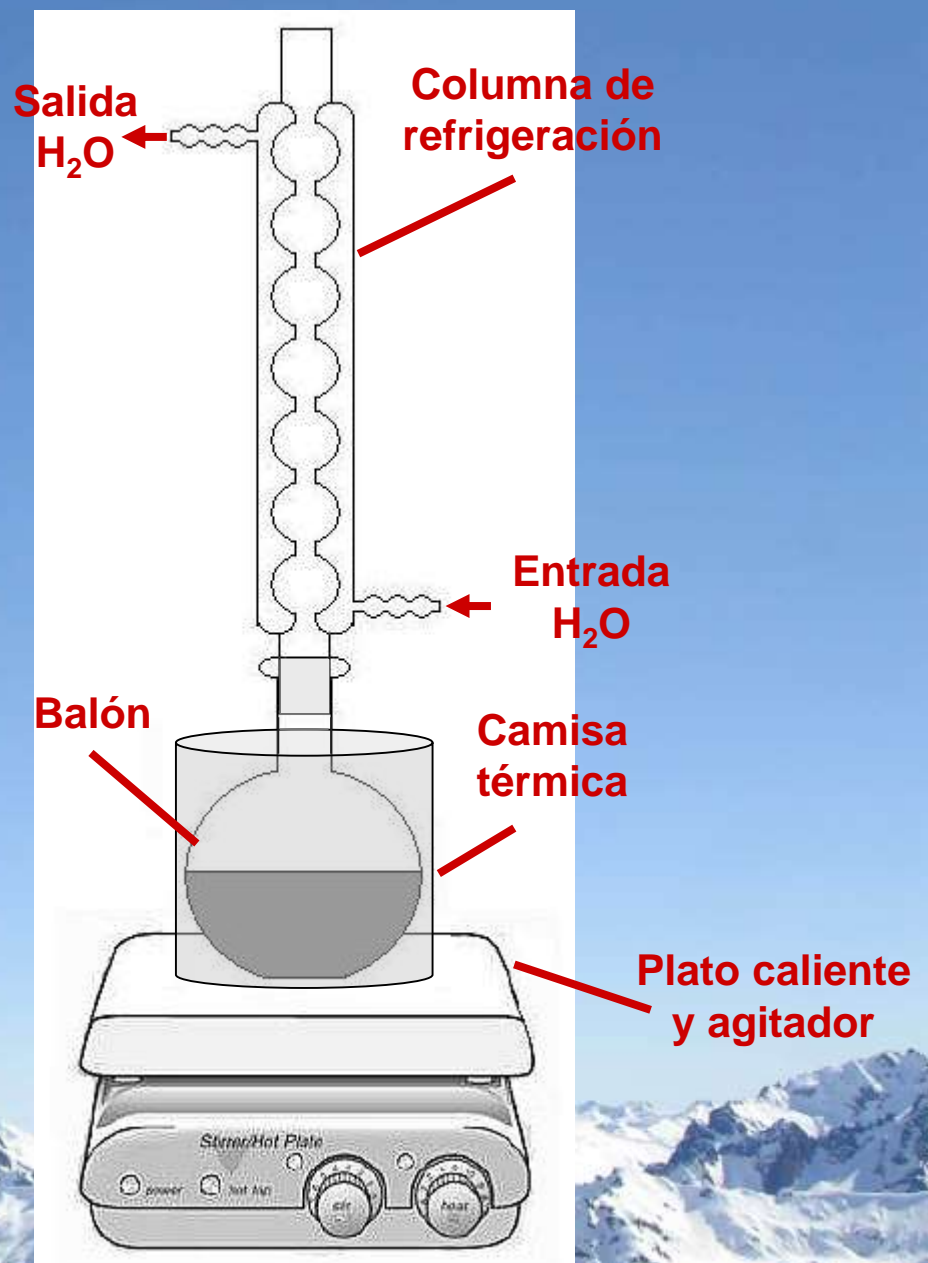
Evaporación y formación del gel

Calcinado del gel (400°C – 2 hs)

Molienda

Tratamiento térmico

Molienda



Cátodos: métodos de síntesis

Método de Acetatos

La_2O_3 (secado a 1100°C); SrCO_3 ; $\text{Co}(\text{CH}_3\text{COO})_2$; $\text{Fe}(\text{CH}_3\text{COO})_2$

Mezcla con ácido acético

$\text{H}_2\text{O} + \text{H}_2\text{O}_2$ Reflujo a 80°C

Formación de solución

Evaporación y formación del gel

Calcinado del gel (400°C – 2 hs)

Molienda

Tratamiento térmico

Molienda

Método de HMTA

La_2O_3 (secado a 1100°C); SrCO_3 ; $\text{Co}(\text{CH}_3\text{COO})_2$; $\text{Fe}(\text{CH}_3\text{COO})_2$

Mezcla con ácido acético, acac y HMTA

$\text{H}_2\text{O} + \text{H}_2\text{O}_2$ Reflujo a 80°C

Formación de solución

Evaporación y formación del gel

Calcinado del gel (400°C – 2 hs)

Molienda

Tratamiento térmico

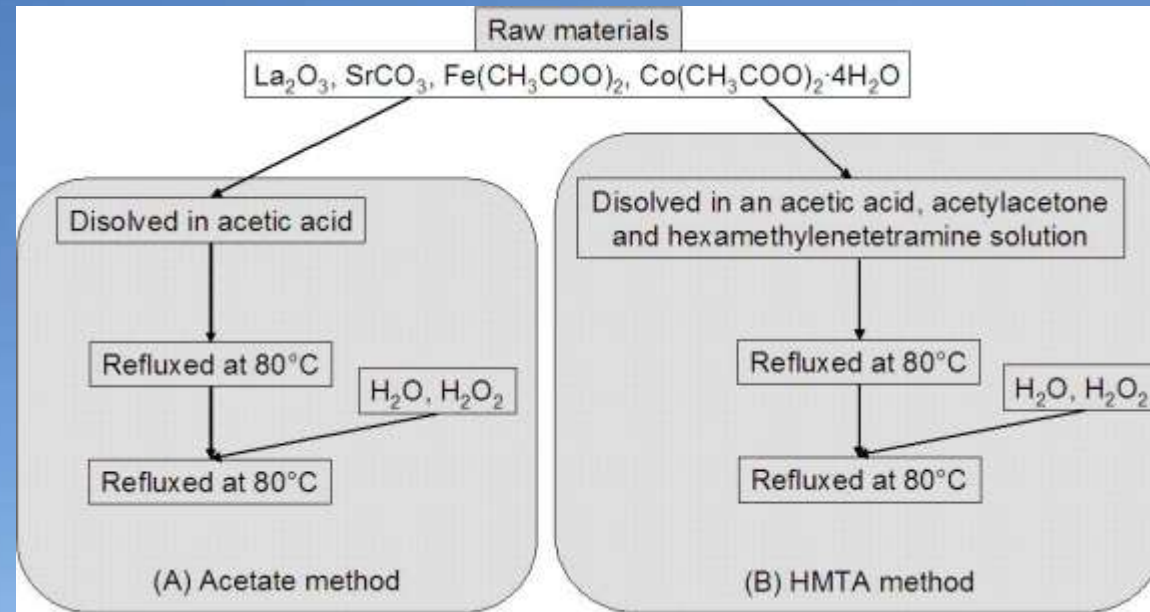
Molienda

Métodos químicos

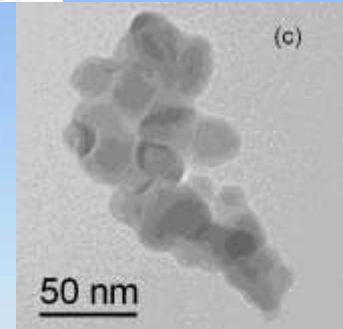
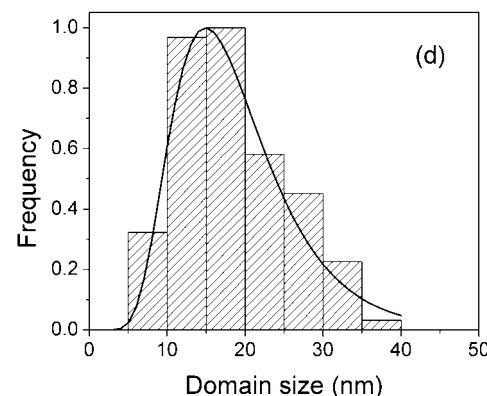
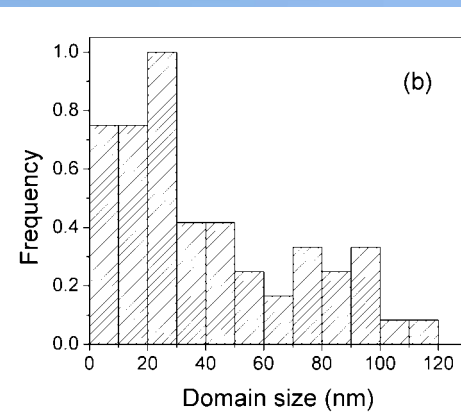
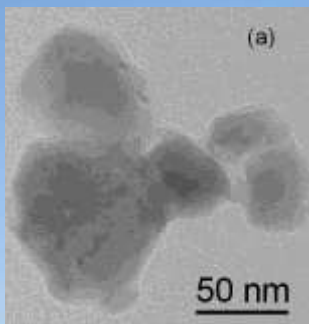
Acetatos

HMTA

T_s = 900 C

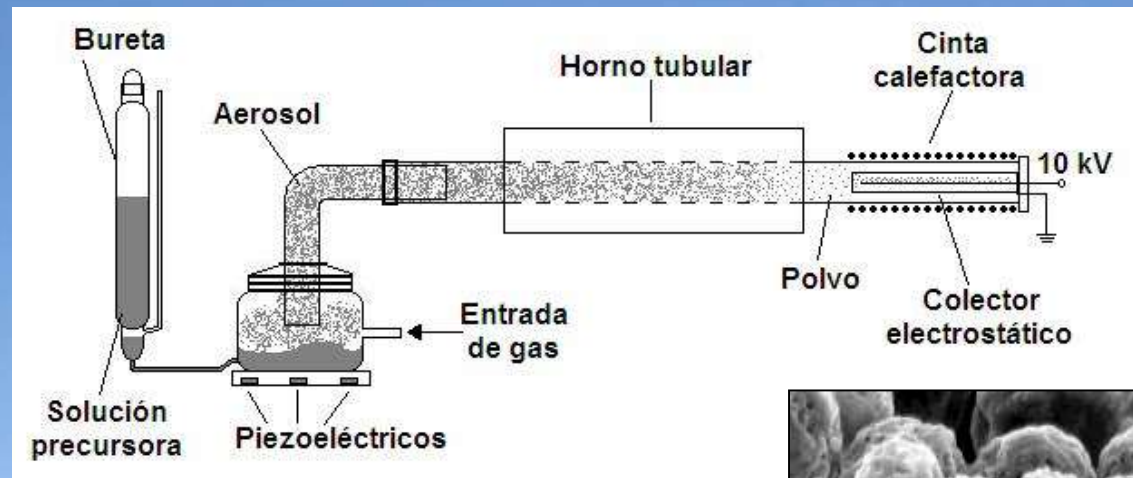
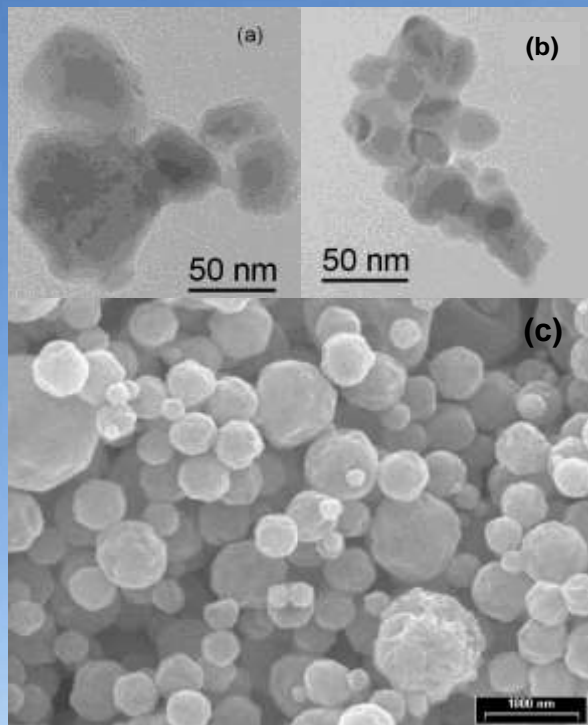


T_s = 800 C



Spray pyrolysis

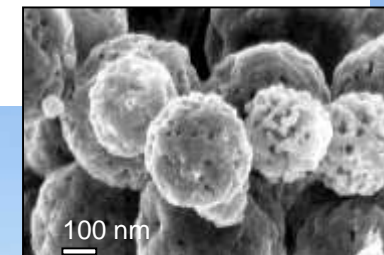
Collaboration ECOS-SUD (Djurado-Caneiro) L. Baque
Laboratoire d'Electrochimie et de Physico-chimie des Matériaux et des Interfaces,
LEPMI



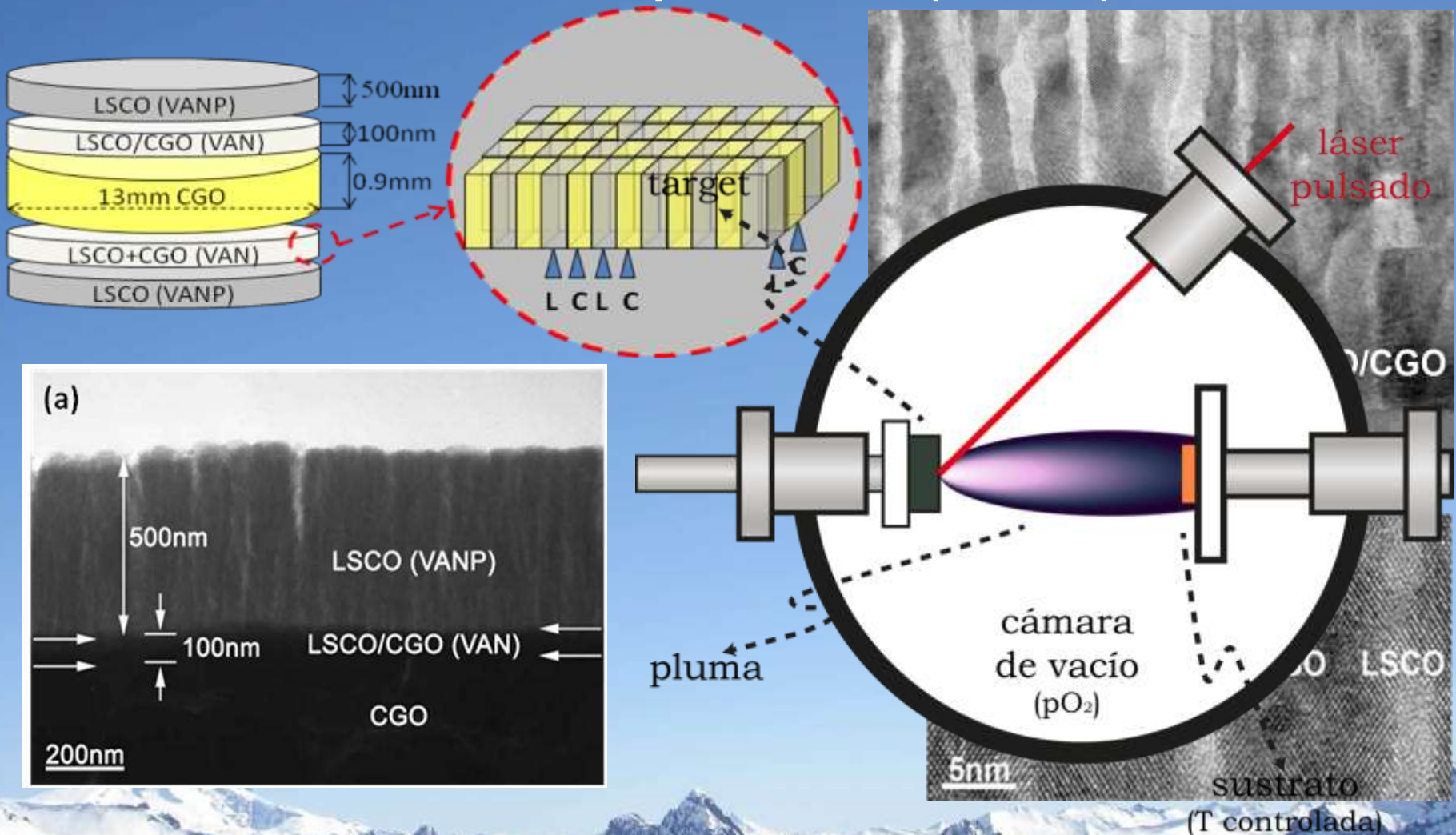
Surface area (BET) from as prepared powders:

- Acetate: $8.3 \pm 0.1 \text{ m}^2/\text{gr}$
- HMTA: $12.35 \pm 0.02 \text{ m}^2/\text{gr}$
- Spray pyrolysis: $11.71 \pm 0.04 \text{ m}^2/\text{gr}$

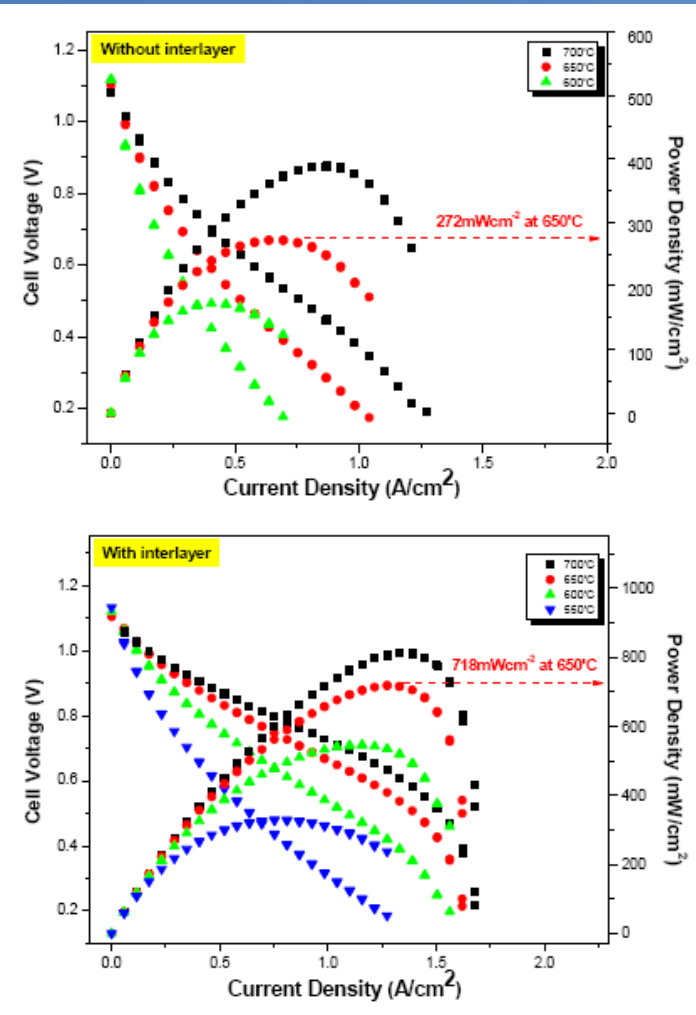
Baque et al, ECS 25 (2009) 2473



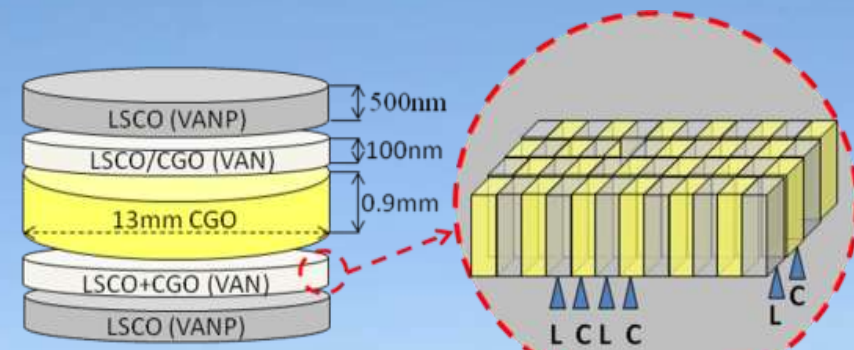
PLD for Vertical aligned nanocomposites (VAN)



Vertically-aligned nanopores (VANP) and nanocomposite (VAN)

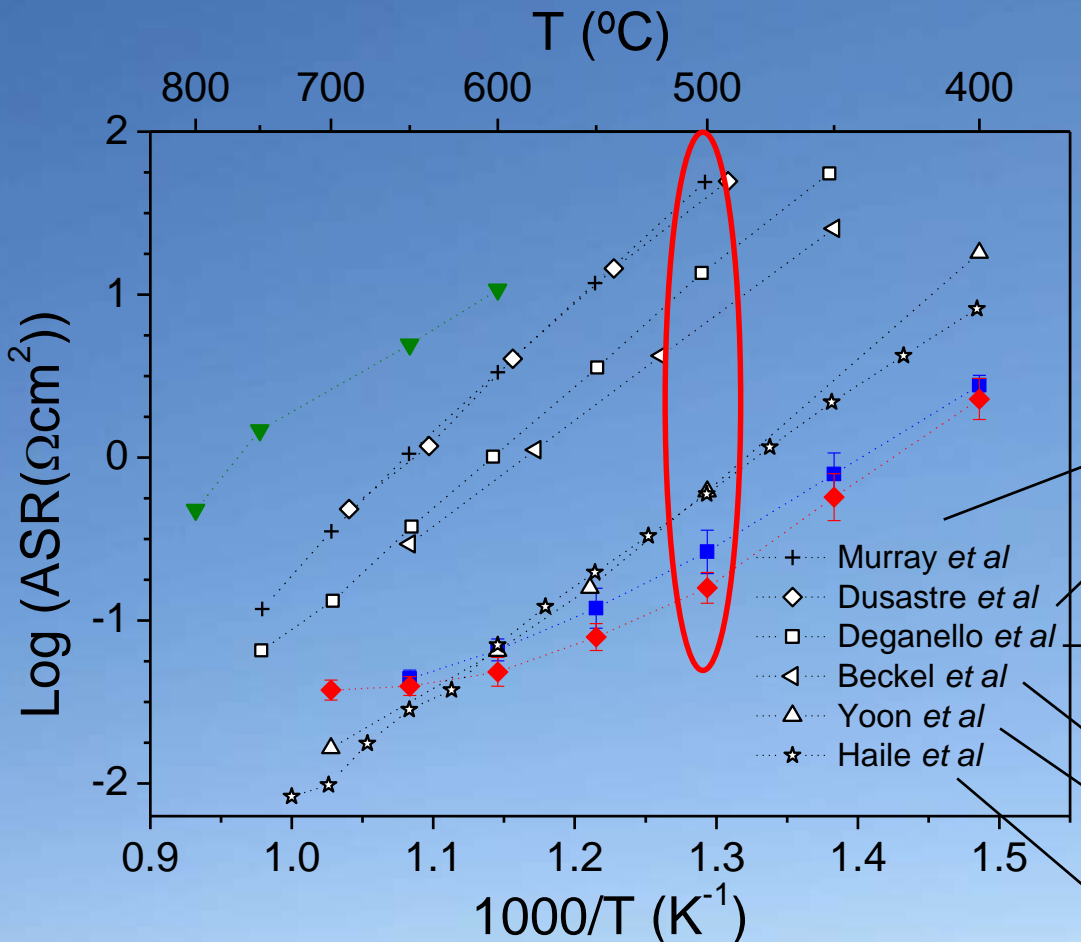


Cell voltages and Power densities of anode-supported single cells increase almost three times with the VAN interlayer



S. M. Cho, J. S. Yoon, J. H. Kim, Z. X. Bi,
A. Serquis, A. Manthiram, H. Y. Wang,
Advanced Functional Materials 19 (2009) 3868

ASR: LSCF cathodes



Microstructure allows
decrease ASR in more than
two order of magnitud!!!

$\text{La}_{0.4}\text{Sr}_{0.6}\text{Co}_{0.8}\text{Fe}_{0.2}\text{O}_{3-\delta}$
Acetate - Spray – Particle size: 600 nm
PhD Thesis – IB - 2006

$\text{La}_{0.4}\text{Sr}_{0.6}\text{Co}_{0.8}\text{Fe}_{0.2}\text{O}_{3-\delta}$ (Acetate)
Spin coating – Particle size: $180 \pm 40 \text{ nm}$

$\text{La}_{0.4}\text{Sr}_{0.6}\text{Co}_{0.8}\text{Fe}_{0.2}\text{O}_{3-\delta}$ (HMTA)
Spin coating – Particle size: $130 \pm 30 \text{ nm}$

Baqu   et al, *Electrochim. Comm.* 10 (2008) 1905

$\text{La}_{0.6}\text{Sr}_{0.4}\text{Co}_{0.2}\text{Fe}_{0.8}\text{O}_{3-\delta}$ / YSZ
Spin coating – Particle size 100-200 nm
SSI 148 (2002) 27

$\text{La}_{0.6}\text{Sr}_{0.4}\text{Co}_{0.2}\text{Fe}_{0.8}\text{O}_{3-\delta}$ / $\text{Ce}_{0.9}\text{Gd}_{0.1}\text{O}_{2-\delta}$
Slurry

SSI 126 (1999) 163
 $\text{La}_{0.6}\text{Sr}_{0.4}\text{Co}_{0.95}\text{Fe}_{0.05}\text{O}_{3-\delta}$ / $\text{Ce}_{0.8}\text{Sm}_{0.2}\text{O}_{2-\delta}$
Screen printing – Particle size 150 nm

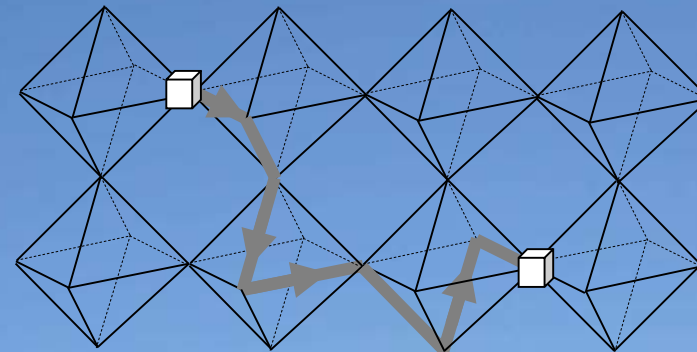
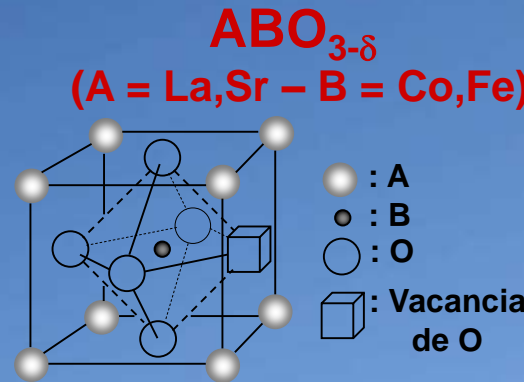
JES 154 (2007) A89
 $\text{Ba}_{0.25}\text{La}_{0.25}\text{Sr}_{0.5}\text{Co}_{0.8}\text{Fe}_{0.2}\text{O}_{3-\delta}$ / $\text{Ce}_{0.8}\text{Gd}_{0.2}\text{O}_{2-\delta}$
Spray pyrolysis - Particula 35 nm

SSI 178 (2007) 407
 $\text{La}_{0.4}\text{Sr}_{0.6}\text{Co}_{0.8}\text{Fe}_{0.2}\text{O}_{3-\delta}$ / $\text{Ce}_{0.9}\text{Gd}_{0.1}\text{O}_{2-\delta}$
PLD

APS 254 (2007)266
 $\text{Ba}_{0.5}\text{Sr}_{0.5}\text{Co}_{0.8}\text{Fe}_{0.2}\text{O}_{3-\delta}$ / $\text{Ce}_{0.85}\text{Sm}_{0.15}\text{O}_{2-\delta}$
Spray

Nature 431 (2004) 170

Ejemplo cátodo: LSCF



Ordenamiento
de vacancias
de oxígeno



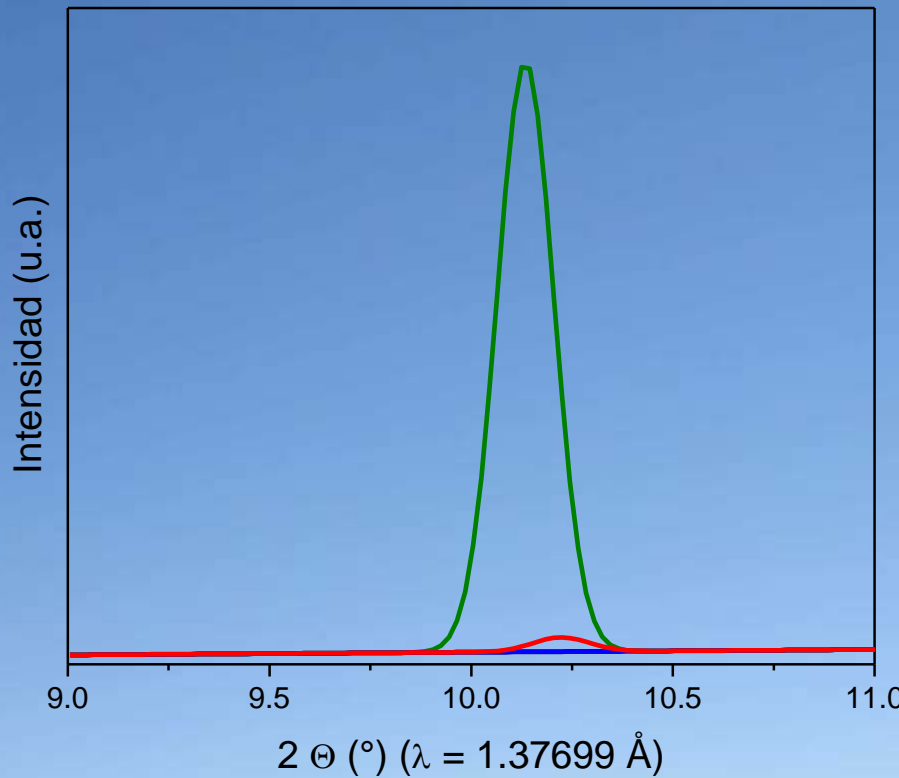
Deterioro de
propiedades de
transporte

Para la composición $\text{La}_{0.4}\text{Sr}_{0.6}\text{Co}_{0.8}\text{Fe}_{0.2}\text{O}_{3-\delta}$ otros autores* no observaron la formación de fases con ordenamiento de vacancias para $20^\circ\text{C} \leq T \leq 900^\circ\text{C}$ y $-5 \leq \text{Log } p\text{O}_2 \leq 0$

* Prado et al SSI 167 (2004) 147

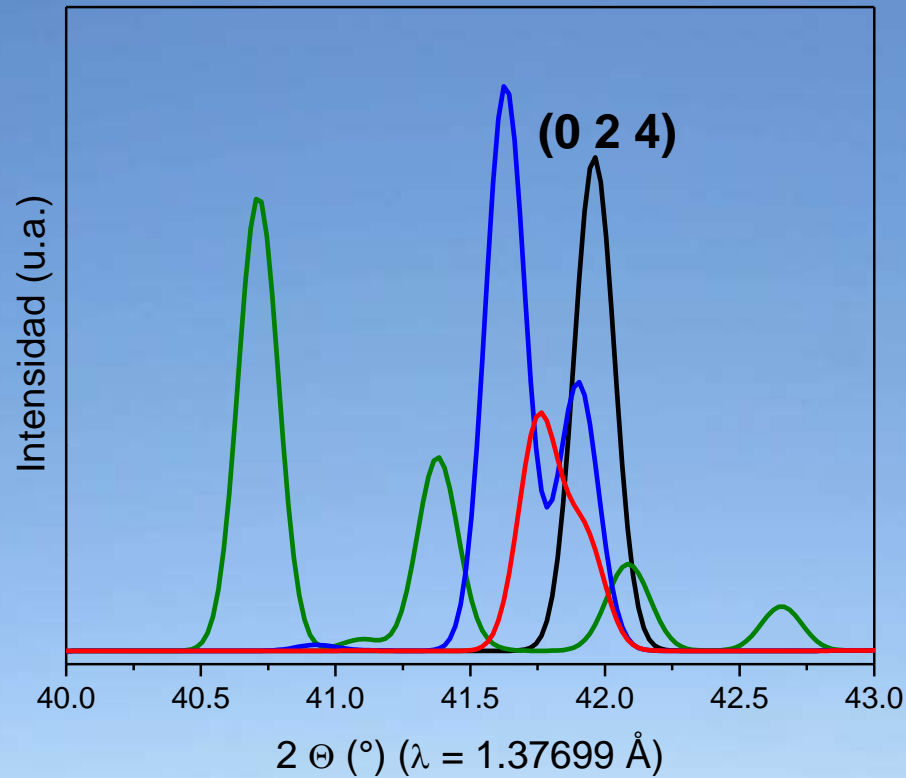
Estabilidad estructural

Posibles fases con ordenamiento de vacancias de oxígeno
(Simulación XRD)



— $\text{La}_{0.4}\text{Sr}_{0.6}\text{Co}_{0.8}\text{Fe}_{0.2}\text{O}_{3-\delta}$ - R-3c

— $\text{La}_{0.4}\text{Sr}_{0.6}\text{Co}_{0.8}\text{Fe}_{0.2}\text{O}_{2.875}$ - I4/mmm
($\text{A}_8\text{B}_8\text{O}_{23}$)

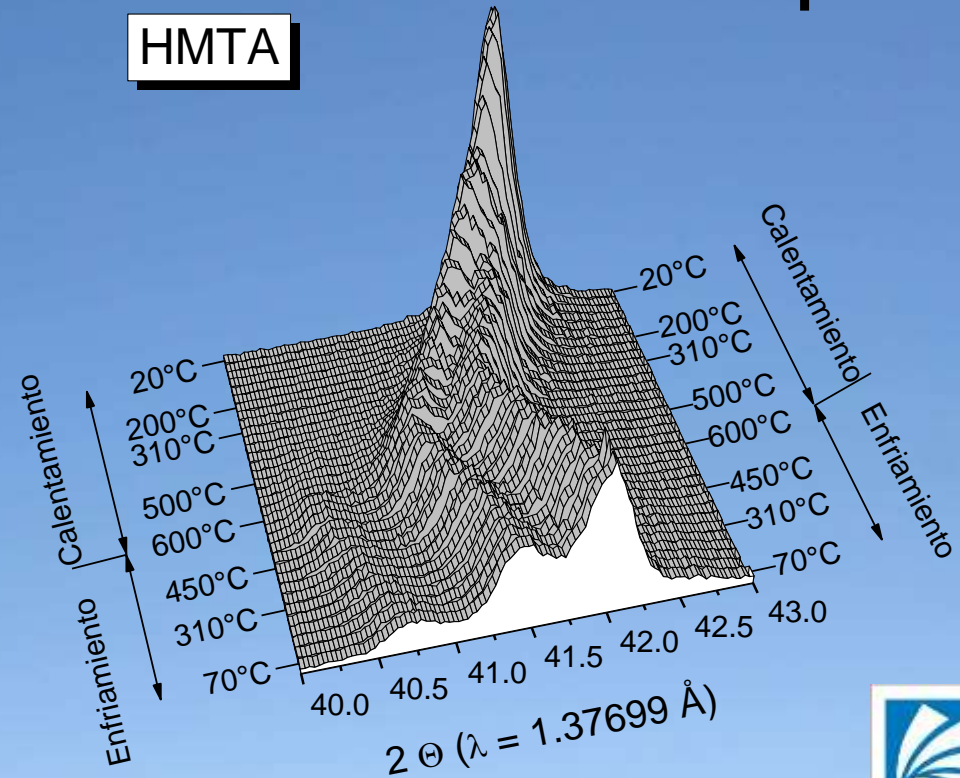
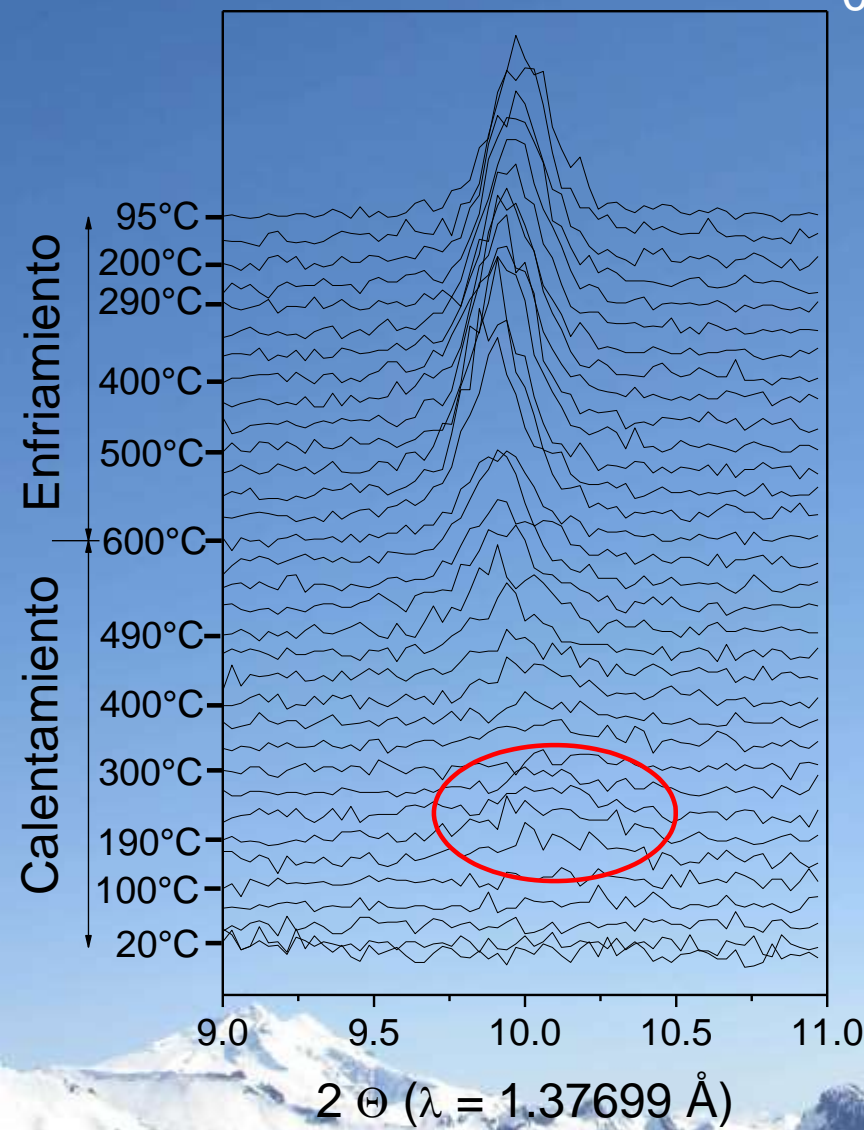


— $\text{La}_{0.4}\text{Sr}_{0.6}\text{Co}_{0.8}\text{Fe}_{0.2}\text{O}_{2.75}$ - Cmmm
($\text{A}_4\text{B}_4\text{O}_{11}$)

— $\text{La}_{0.4}\text{Sr}_{0.6}\text{Co}_{0.8}\text{Fe}_{0.2}\text{O}_{2.5}$ - Icmm
($\text{A}_2\text{B}_2\text{O}_5$)

Estabilidad estructural y electroquímica de los cátodos de $\text{La}_{0.4}\text{Sr}_{0.6}\text{Co}_{0.8}\text{Fe}_{0.2}\text{O}_{3-\delta}$

He puro



Calentamiento:

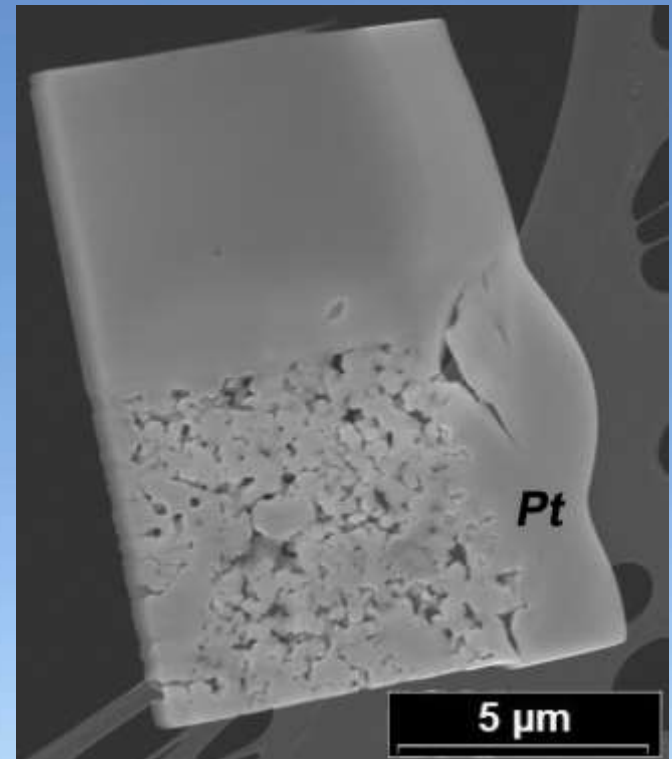
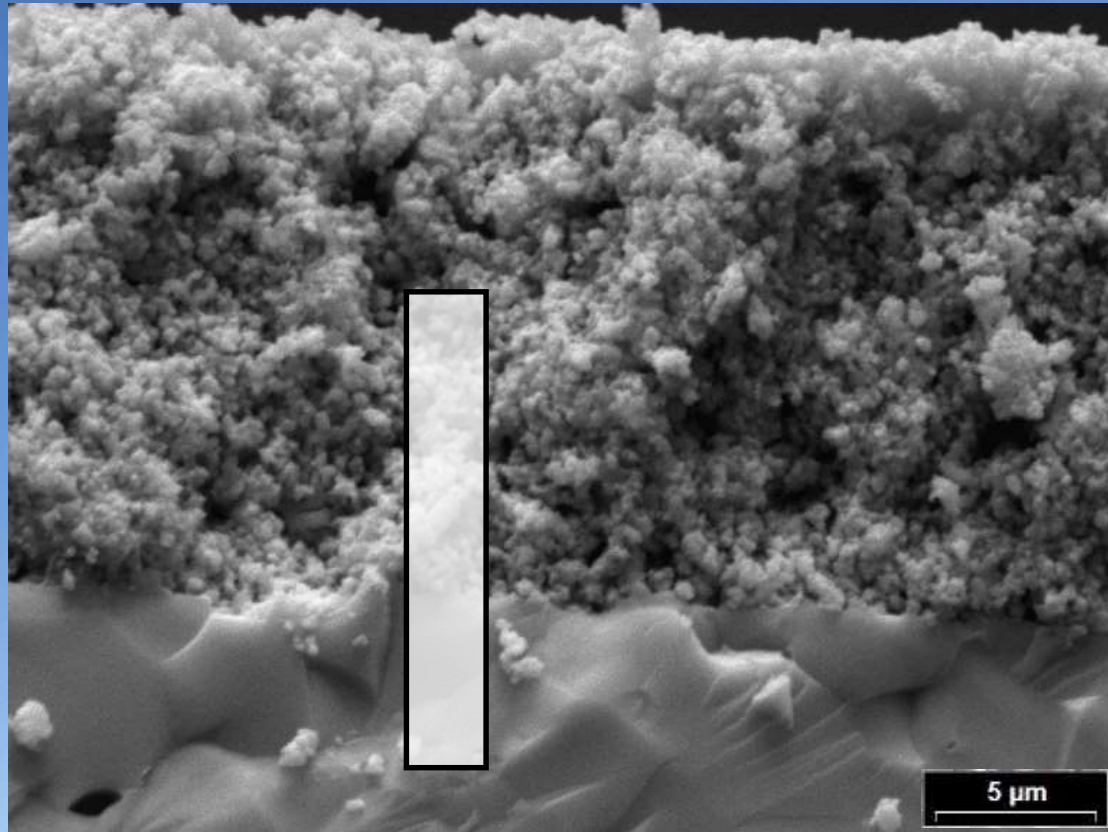
$150^\circ\text{C} \leq T \leq 300^\circ\text{C}$: $\text{ABO}_{3-\delta} + \text{ABO}_{2.875}$

$300^\circ\text{C} \leq T \leq 600^\circ\text{C}$: $\text{ABO}_{3-\delta} + \text{ABO}_{2.75} + \text{ABO}_{2.5}$

Enfriamiento:

$600^\circ\text{C} \leq T \leq 20^\circ\text{C}$: $\text{ABO}_{3-\delta} + \text{ABO}_{2.5}$

Cátodos: $\text{La}_{0.4}\text{Sr}_{0.6}\text{Co}_{0.8}\text{Fe}_{0.2}\text{O}_{3-\delta}$

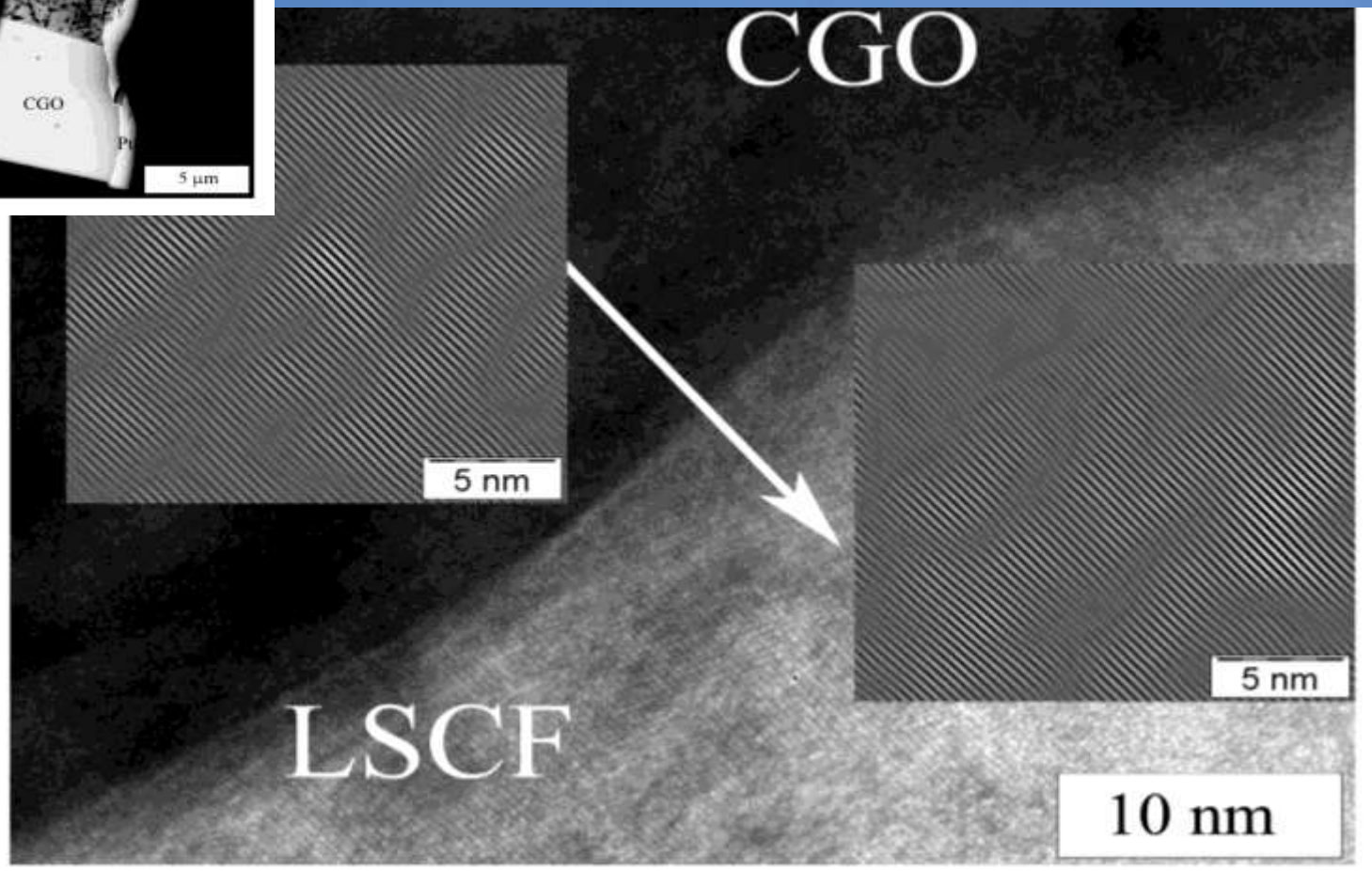
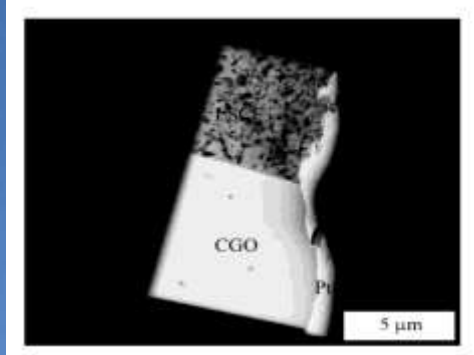


Técnica de FIB/lift-out*

* Muestras cortadas por A. Schreiber y R. Wirth – GFZ, Postdam, Alemania

Cátodos: $\text{La}_{0.4}\text{Sr}_{0.6}\text{Co}_{0.8}\text{Fe}_{0.2}\text{O}_{3-\delta}$

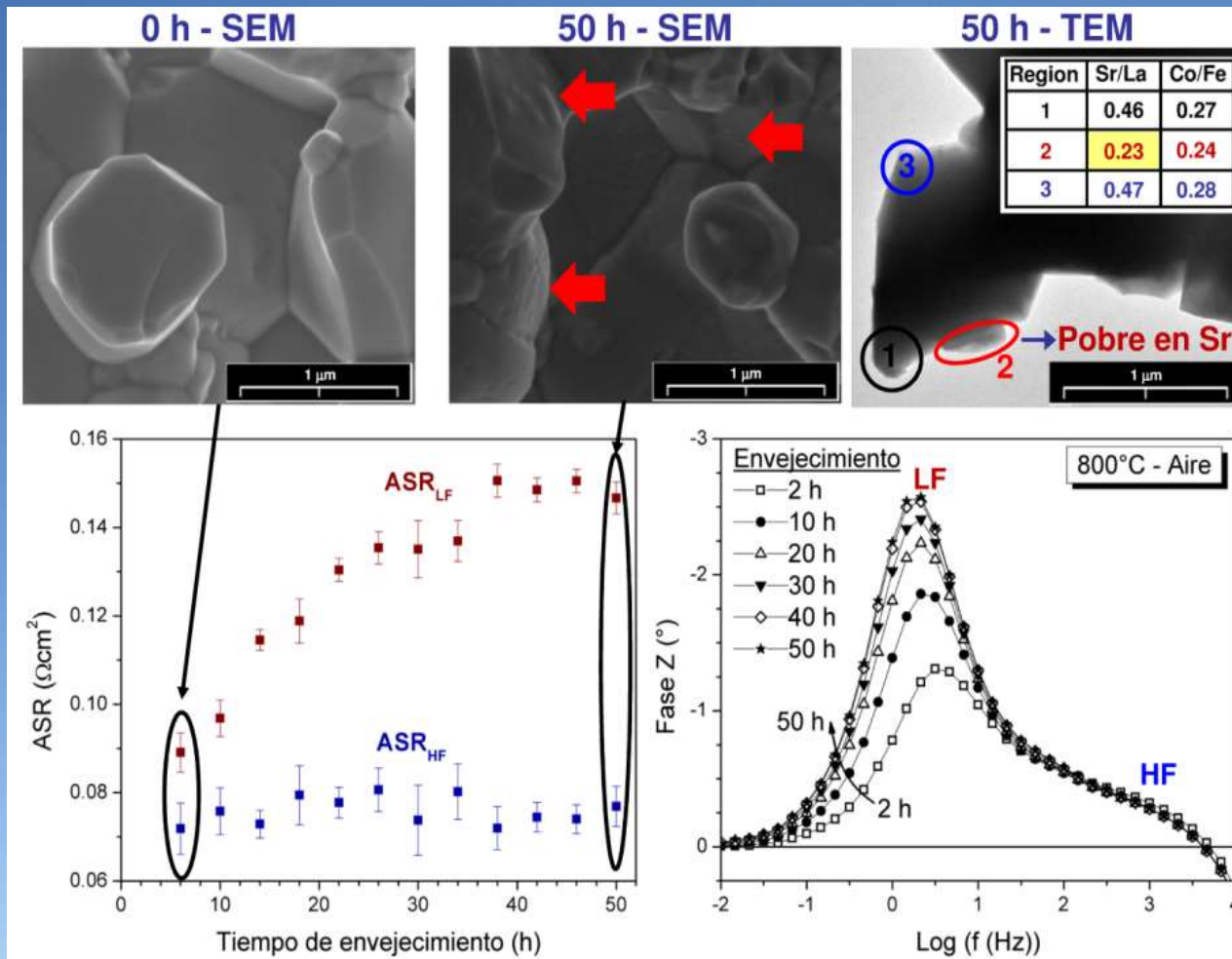
Técnica de FIB/lift-out*



HR-TEM interfase coherente

* Samples prepared by A. Schreiber y R. Wirth – GFZ, Postdam, Germany

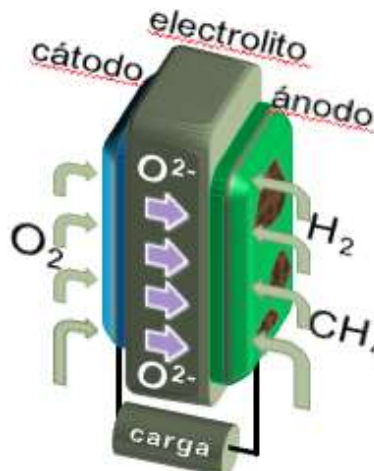
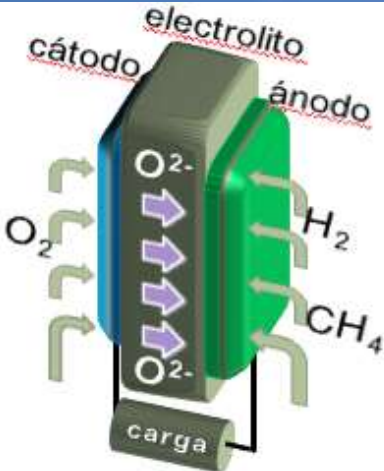
Envejecimiento acelerado



Evolución de las propiedades microestructurales y electroquímicas

2- Ejemplo electrodos: celda simétrica

S
O
F
C



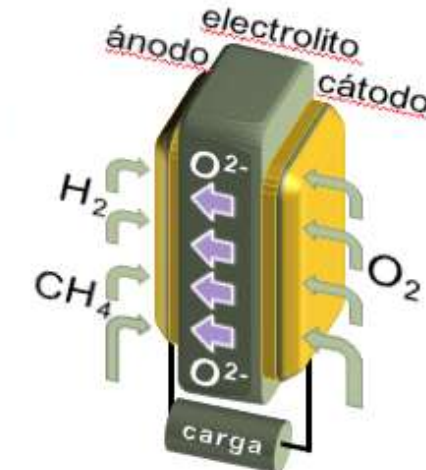
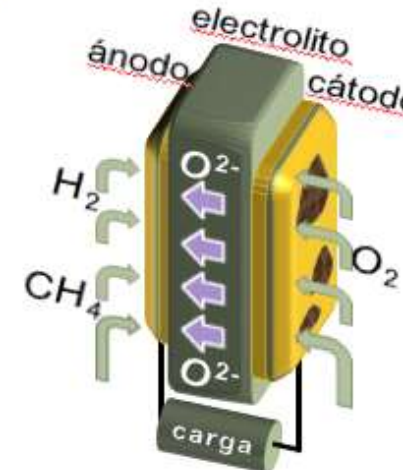
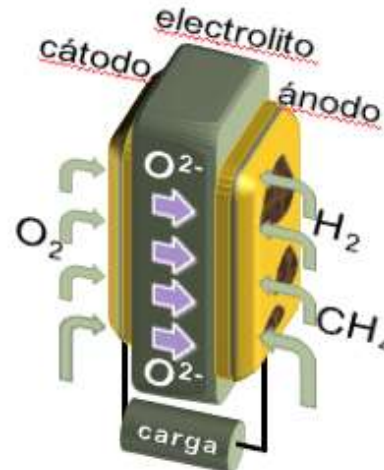
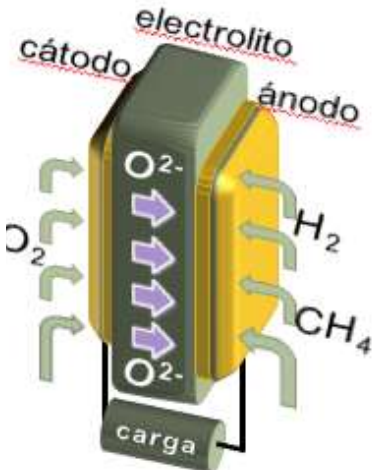
Las SFC tienen la capacidad inherente de invertir la función de los electrodos

árido ↔ cátodo

(La,Sr) TiO_3 - (La,Sr) CoO_3

Tesis doctoral Federico Napolitano

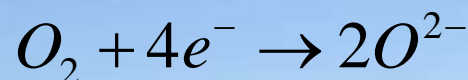
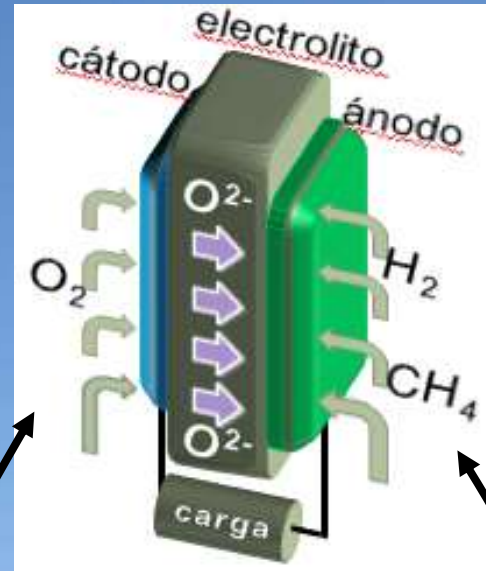
S
S
O
F
C



Electrodos: SOC

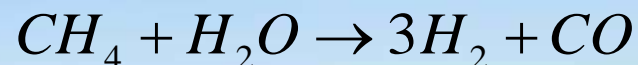
Cátodo

- Catalizador de reacción de reducción de O₂
- Buen conductor electrónico
- Buen conductor iónico



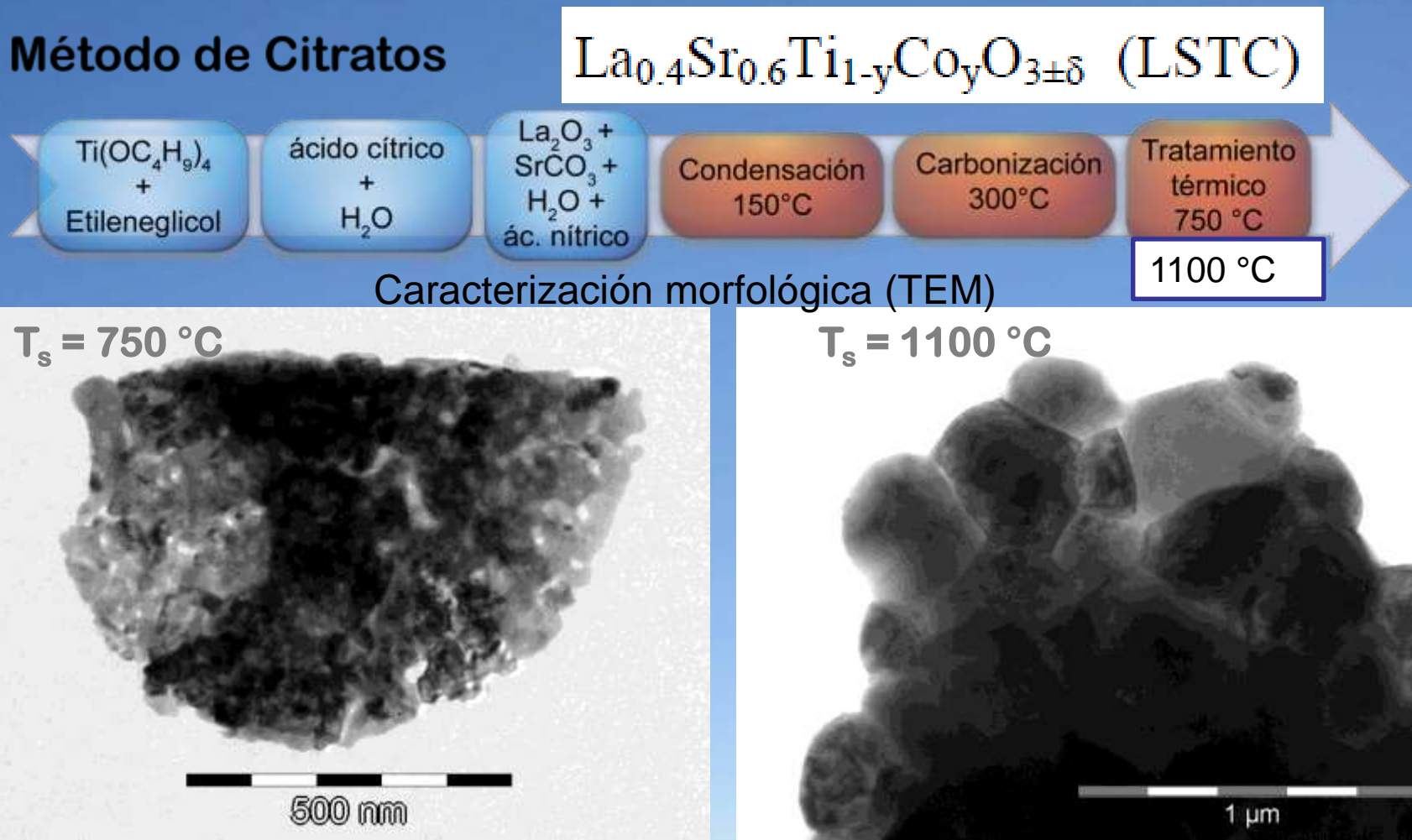
Ánodo

- Catalizador de reacción de oxidación del combustible
- Buen conductor electrónico
- Buen conductor iónico



LSTC: candidato para SFC

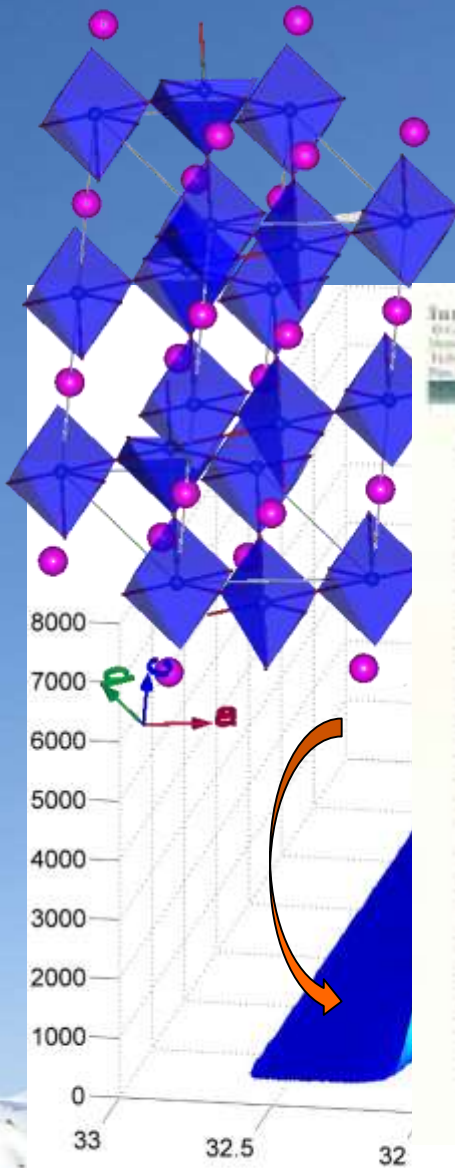
Método de Citratos



[Co]	$T_s = 750\text{ }^\circ\text{C}$ (nm)	$T_s = 1100\text{ }^\circ\text{C}$ (nm)
0.1	27 (18)	152 (204)
0.3	27 (12)	340 (144)
0.5	41 (28)	357 (210)

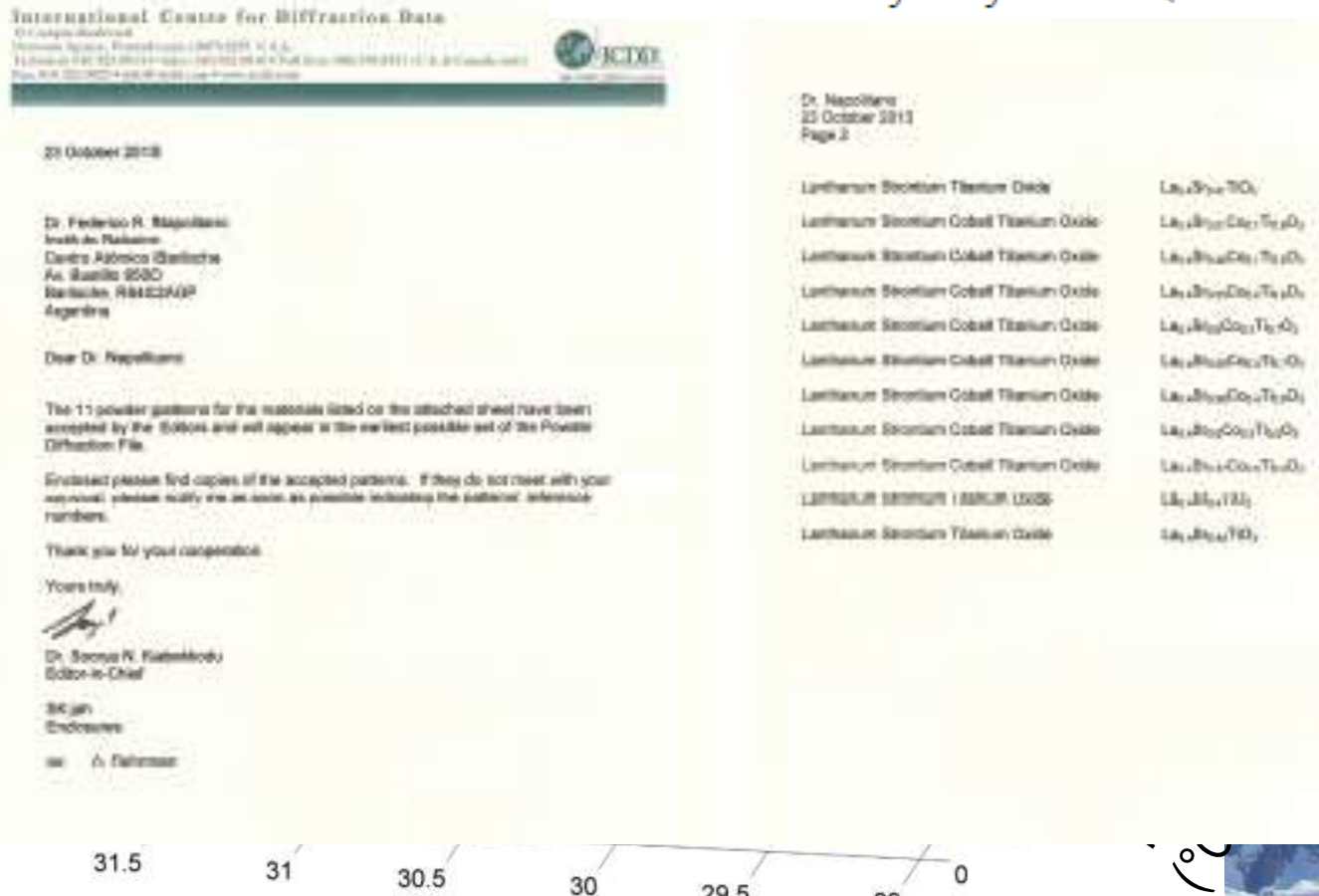
Preparación por método de baja temperatura
F. Napolitano et al, *Int. J. Hyd Energ.* 37 (2012)
18302

Estructura LSTC

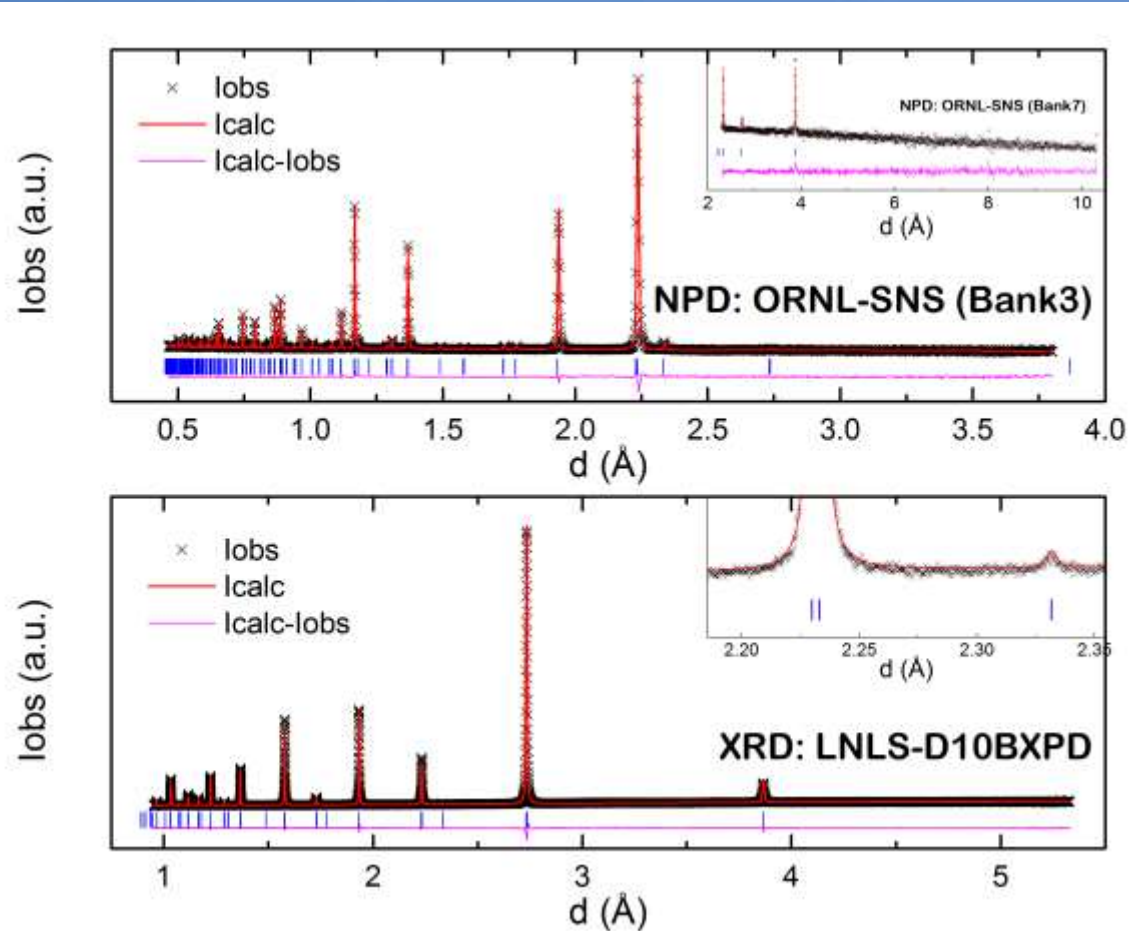


Transición de fase: R-3c \rightarrow Pm-3m a T \sim 350, 600, 300°C para y = 0.1, 0.3 y 0.5, respectivamente.

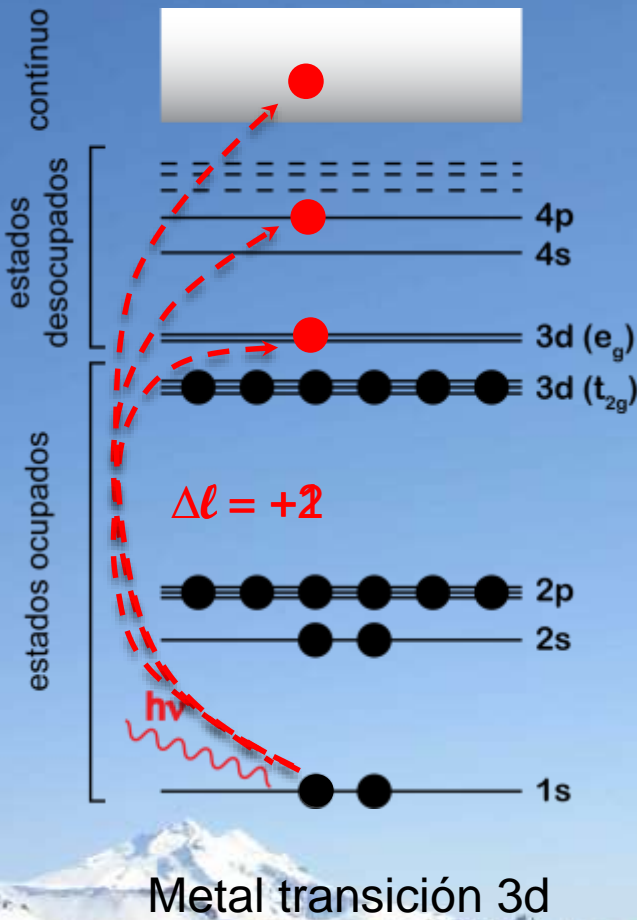
$\text{La}_{0.4}\text{Sr}_{0.6}\text{Ti}_{1-y}\text{Co}_y\text{O}_{3\pm\delta}$ (LSTC)



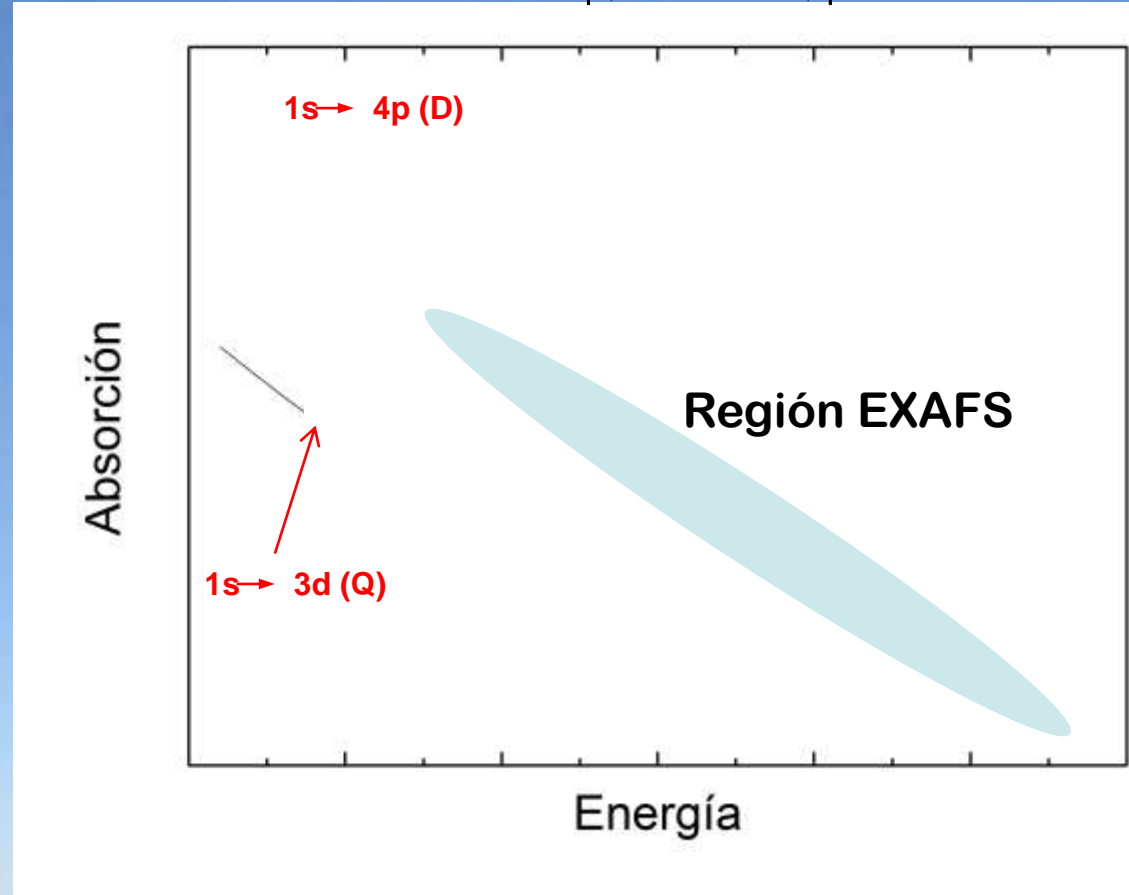
Usando difracción de RX y neutrones



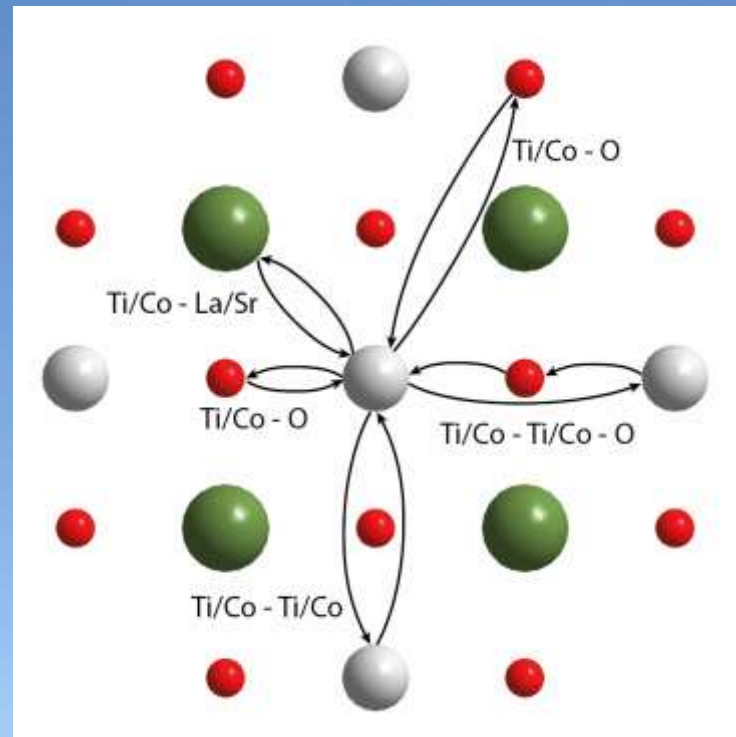
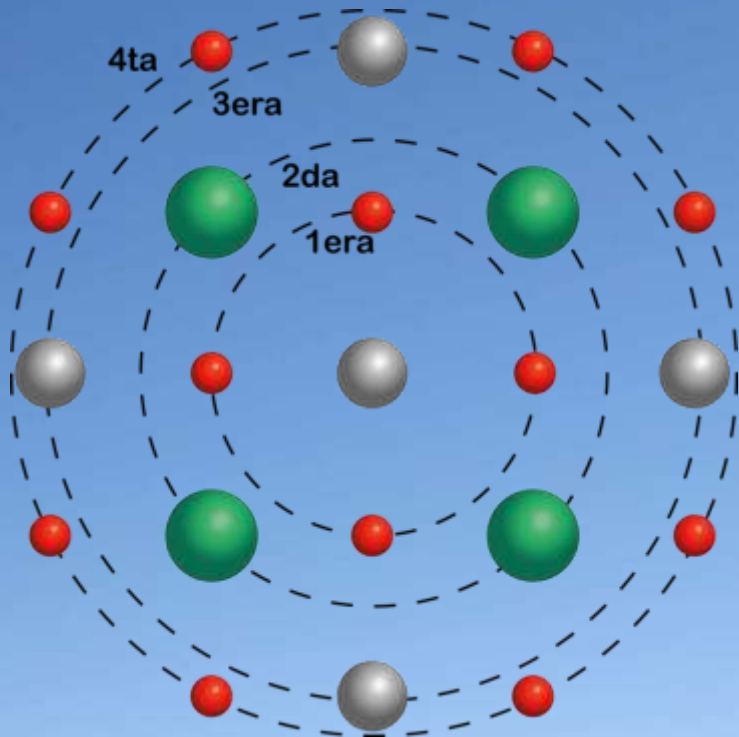
Espectroscopía de absorción



$$\mu(E) \propto |\langle i | H | f \rangle|^2$$

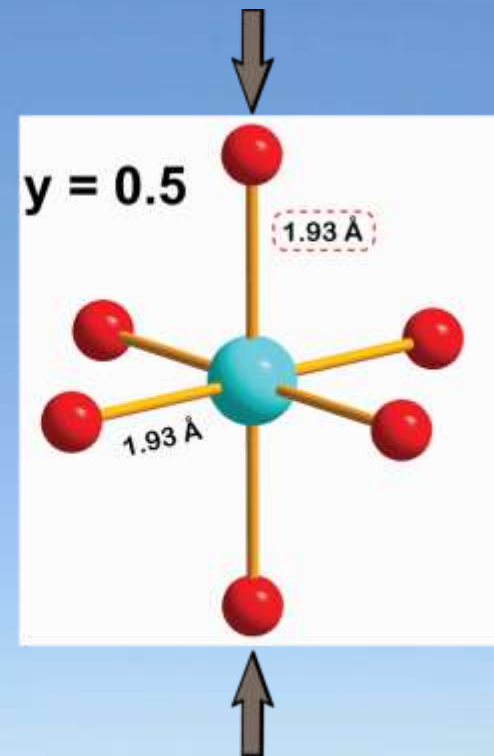
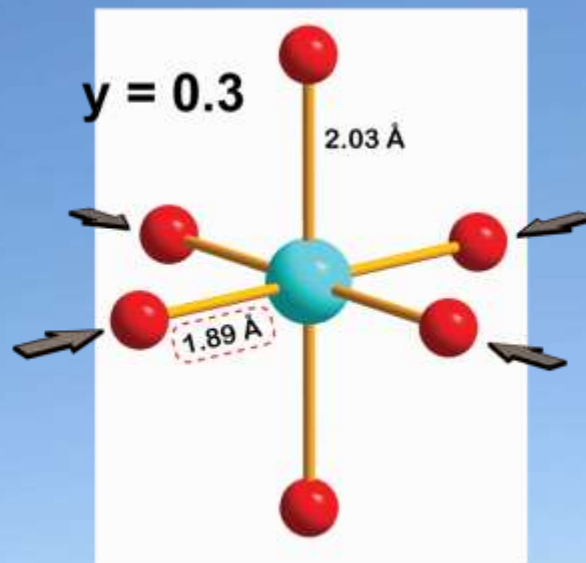
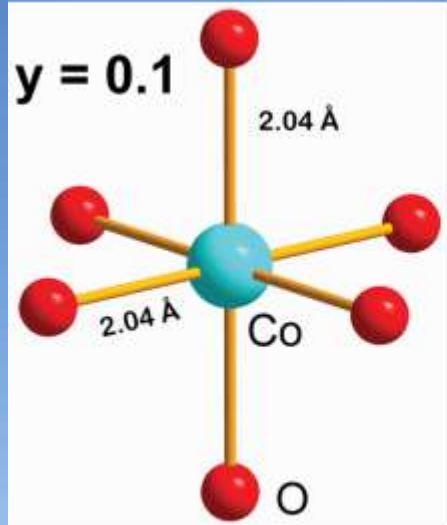


EXAFS



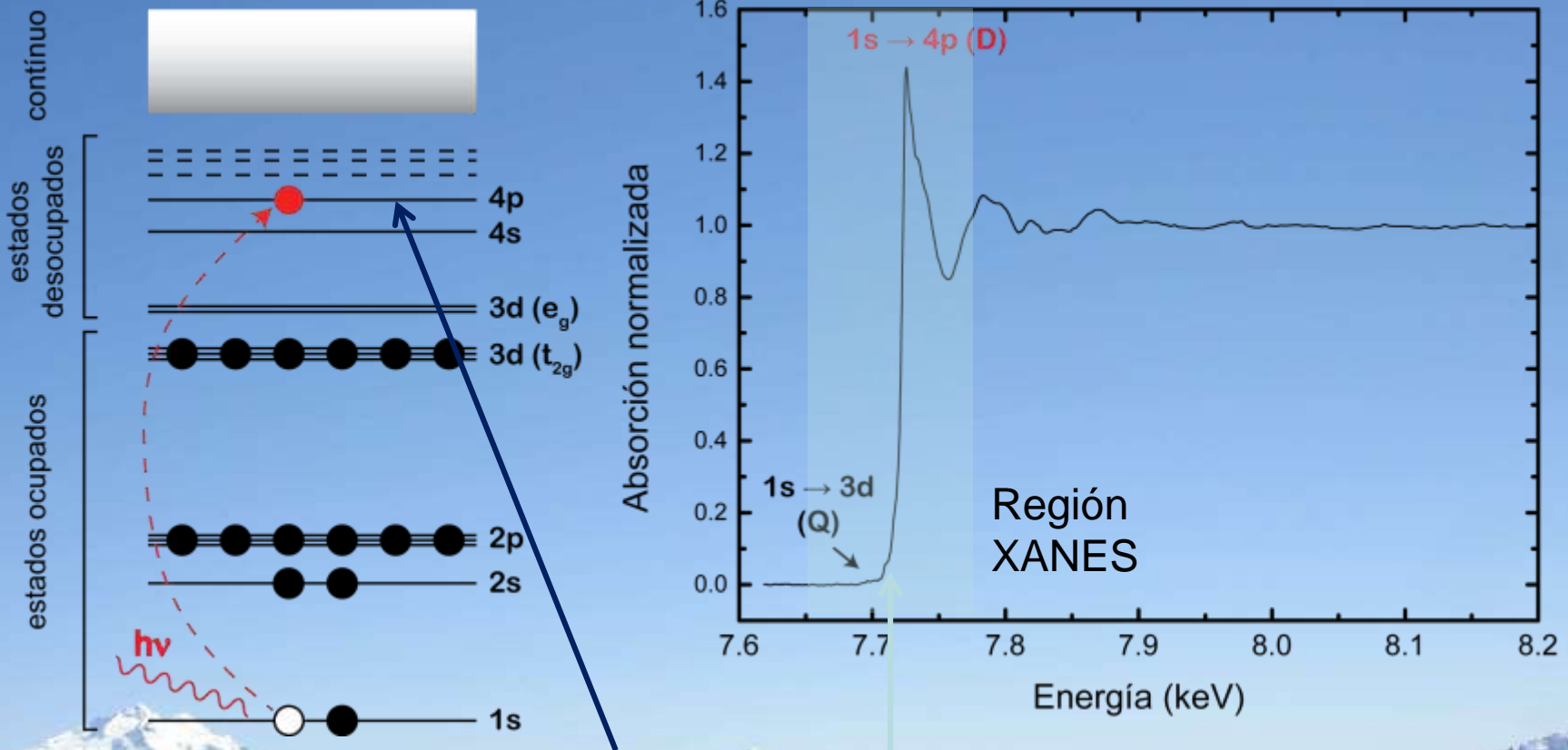
$$\chi(k) = \sum_j \frac{N_j e^{-2k^2\sigma_j^2} e^{-2R_j/\lambda(k)} f_j(k)}{kR_j^2} \sin [2kR_j + \delta_j(k)]$$

Resultados EXAFS



Transición de fase de R-3c a Pm-3m a T ~ 350, 600, 300°C para y = 0.1, 0.3 and 0.5, respectivamente.

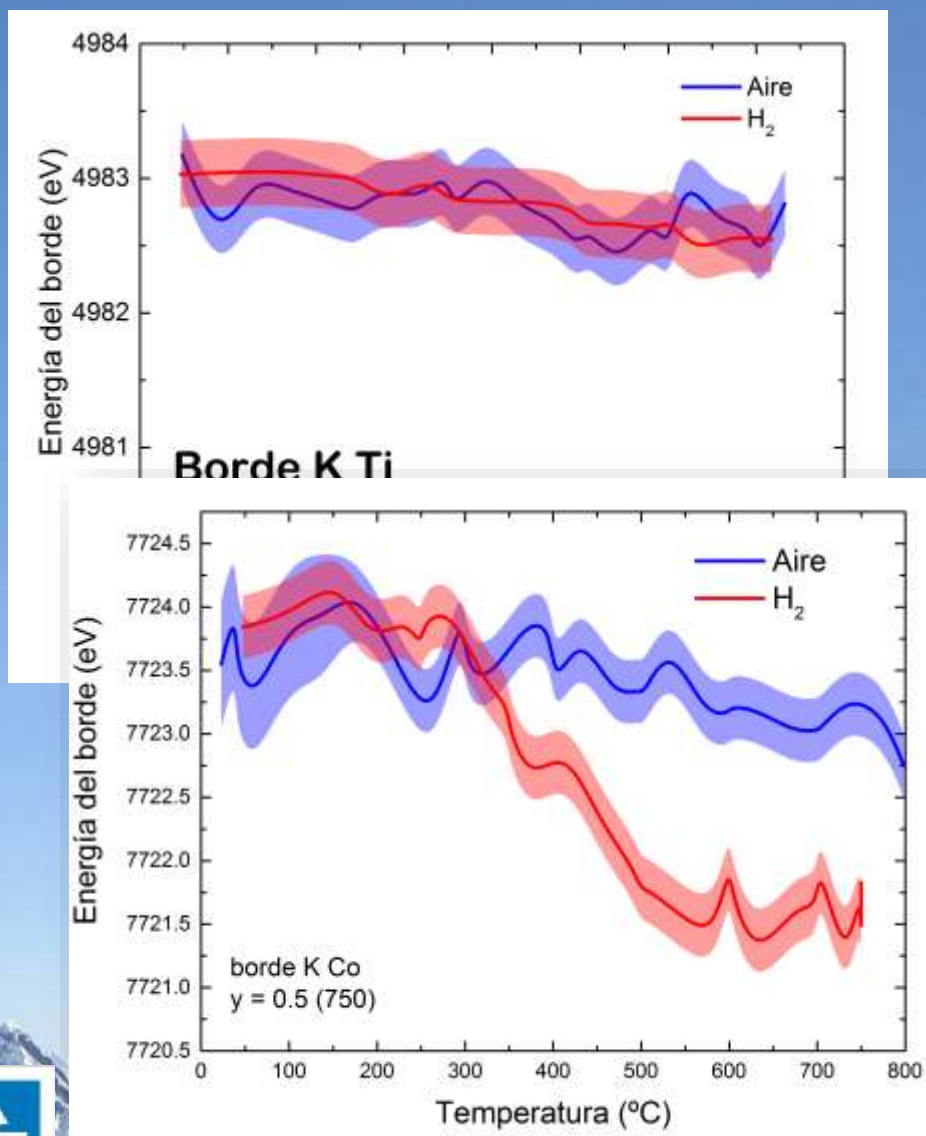
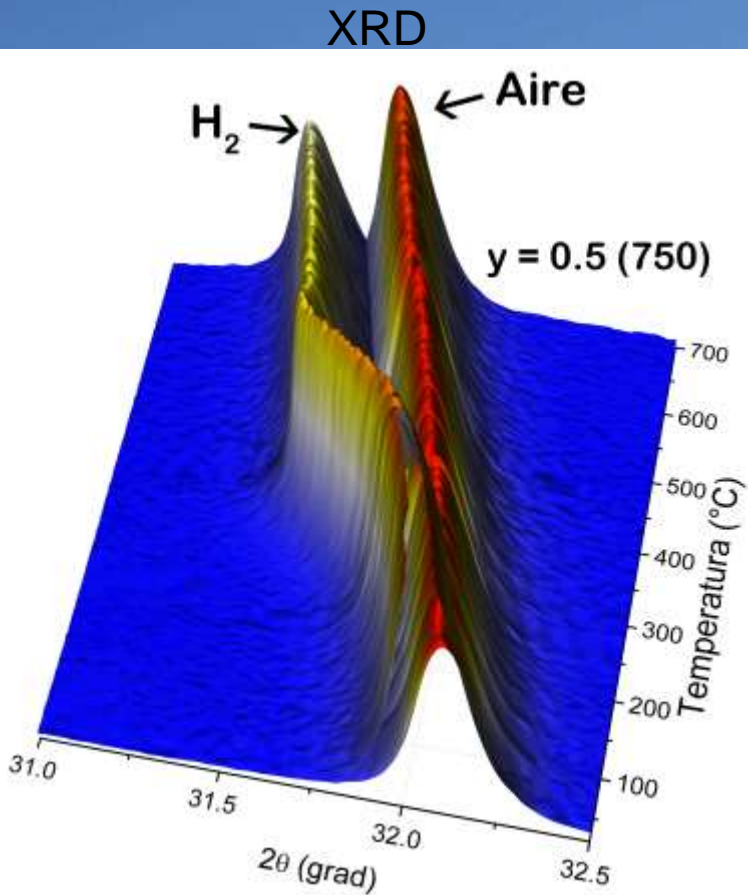
Espectroscopía de Absorción (XANES)



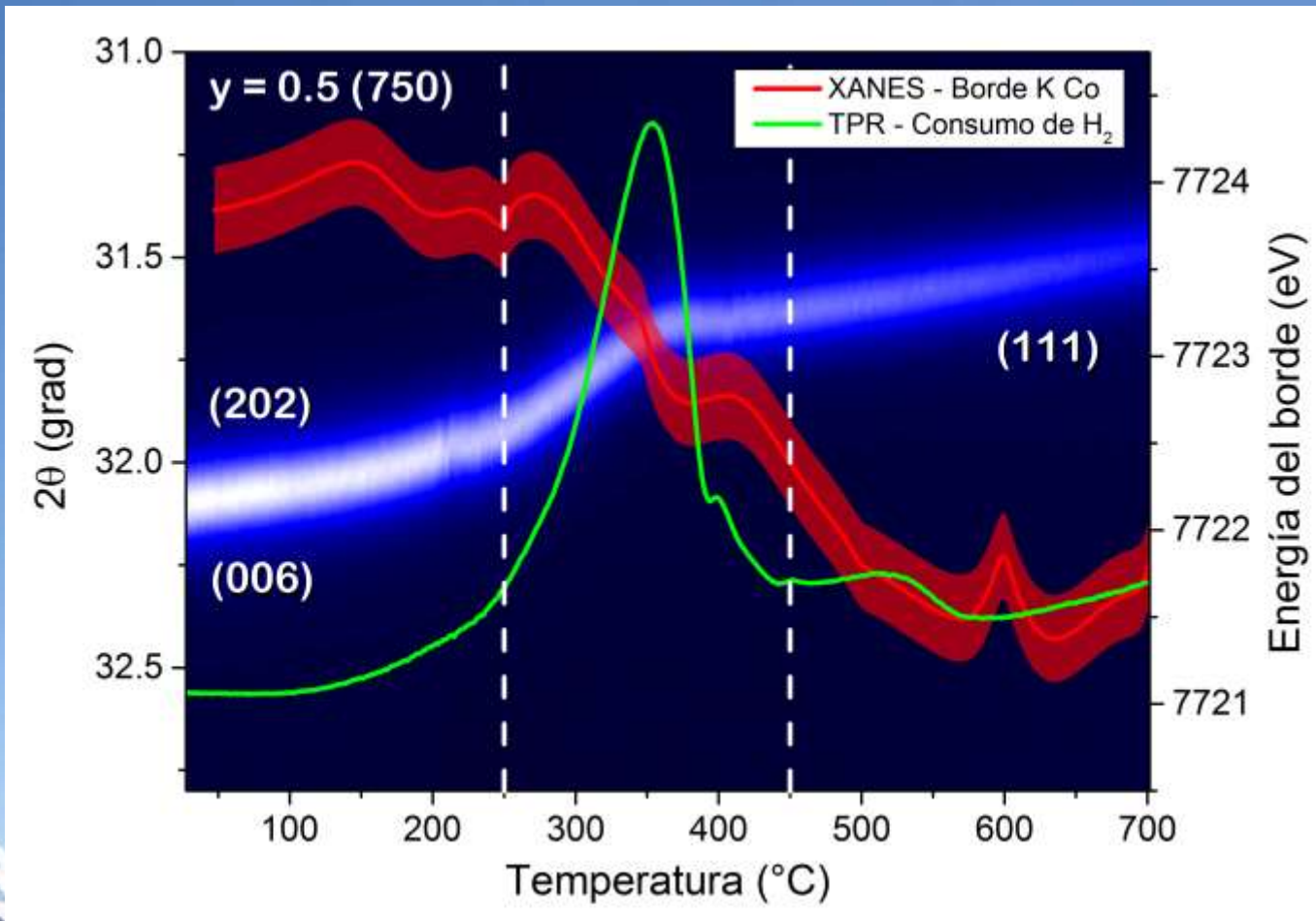
Depende del entorno local del átomo absorbente

XRD y XANES *in-situ*

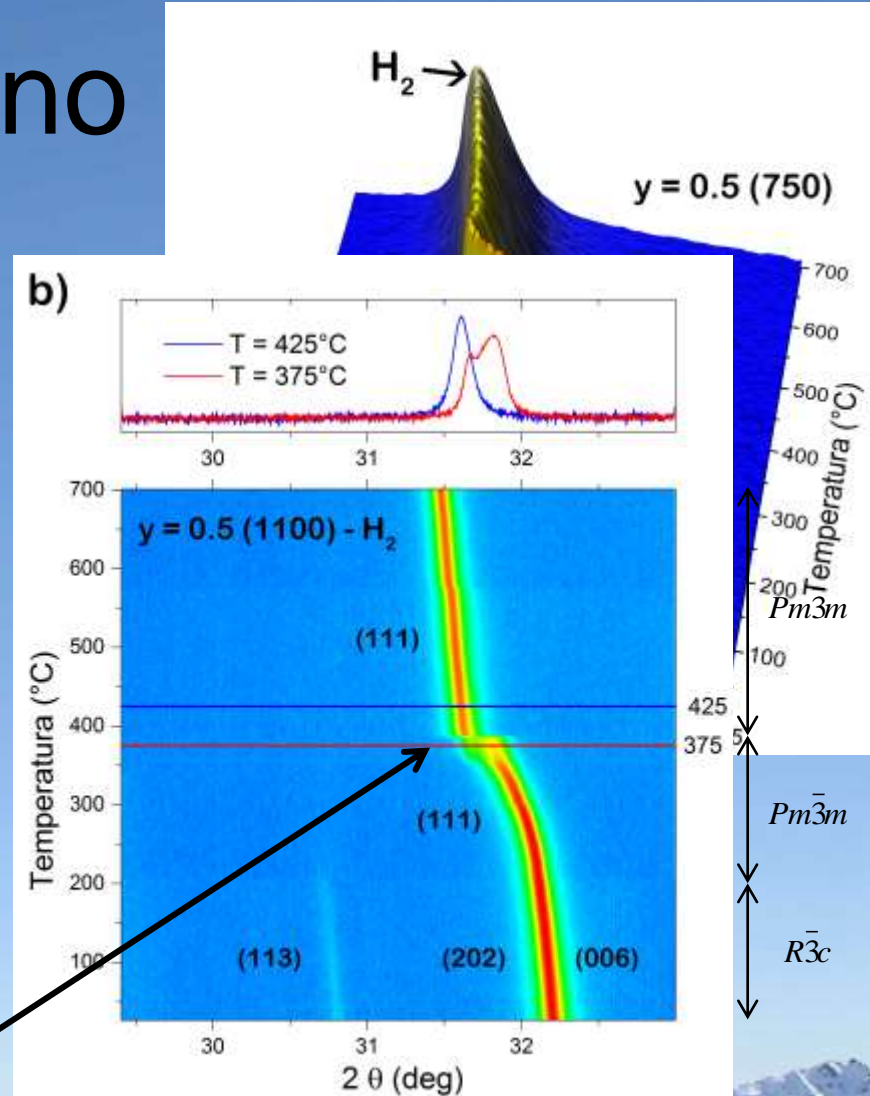
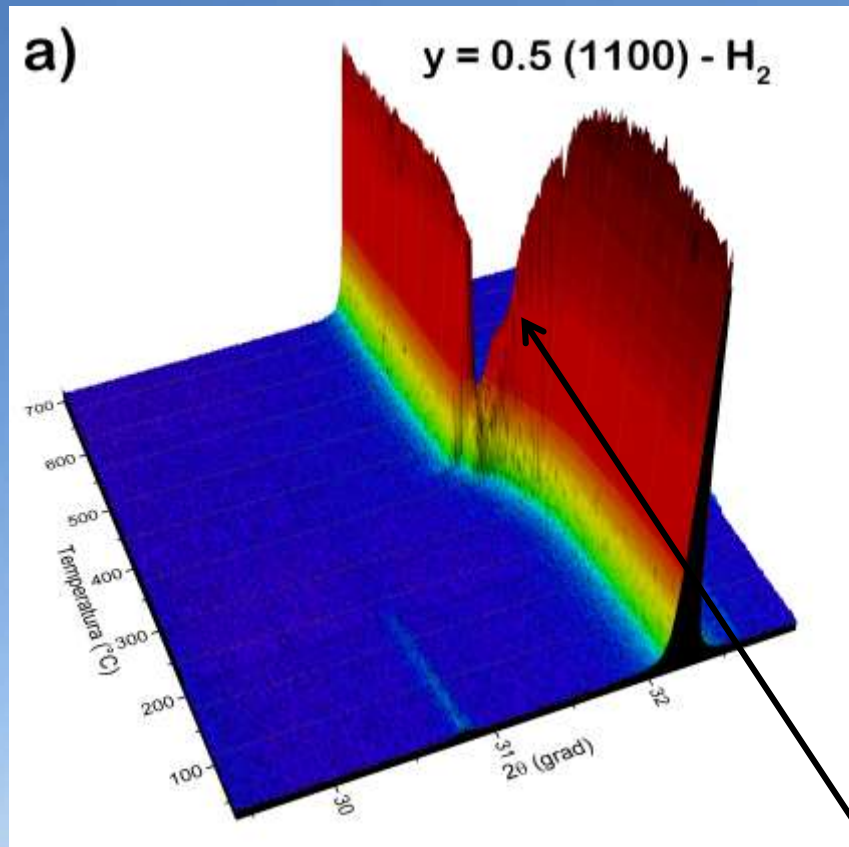
XANES



Correlación resultados XRD – XANES – TPR



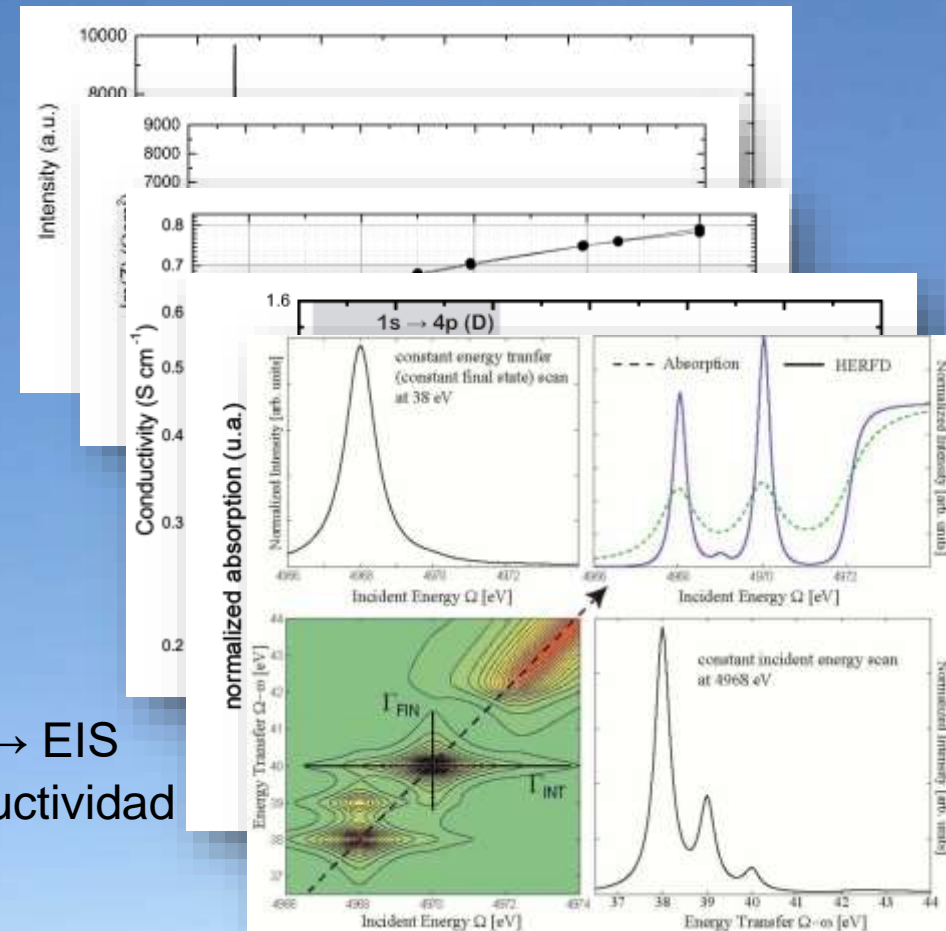
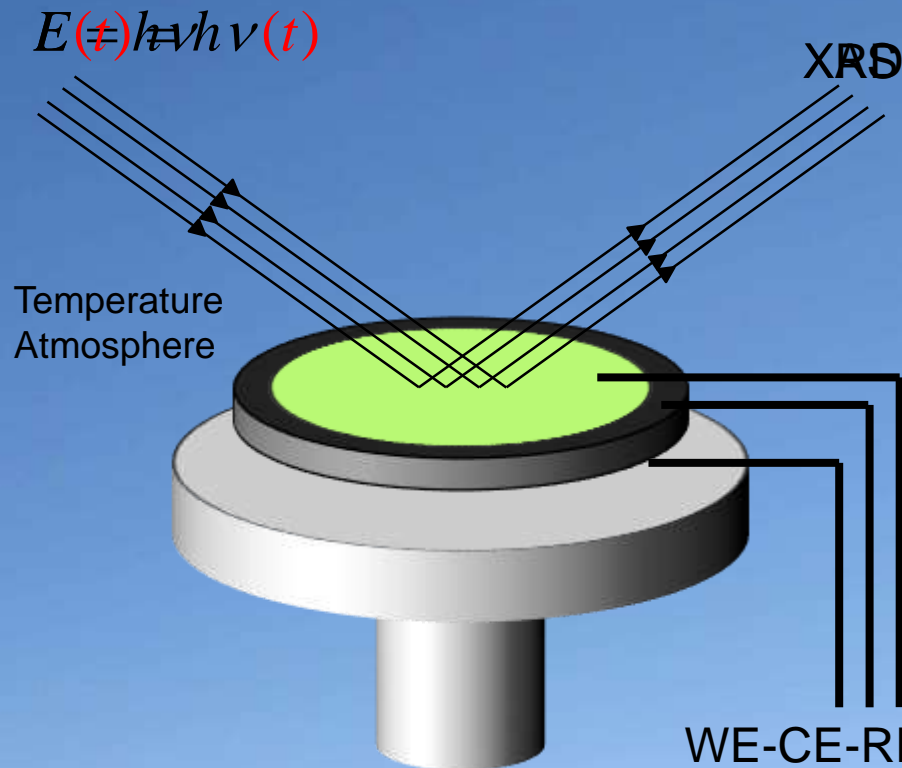
XRD *in-situ* – Efecto de tamaño de grano



Transformación de fase de 1^{er} orden

GOAL

From *in-situ* measurements to
in-operando measurements



- **XRD:** average crystalline structure
- **XAS:** local electronic structure

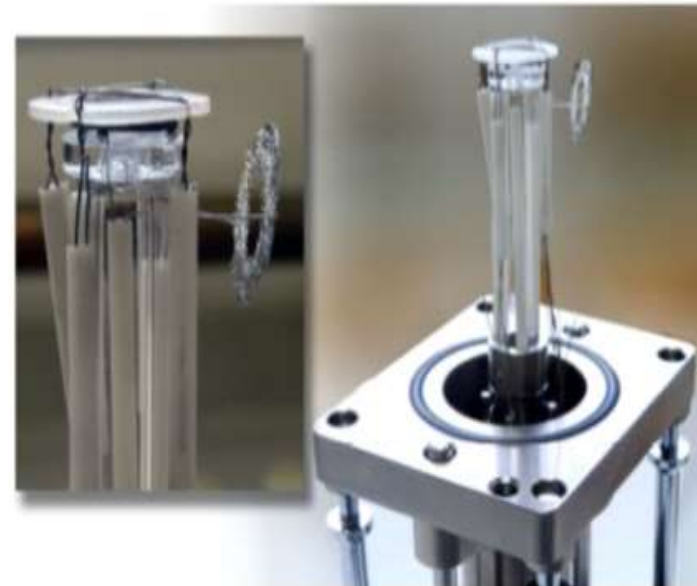
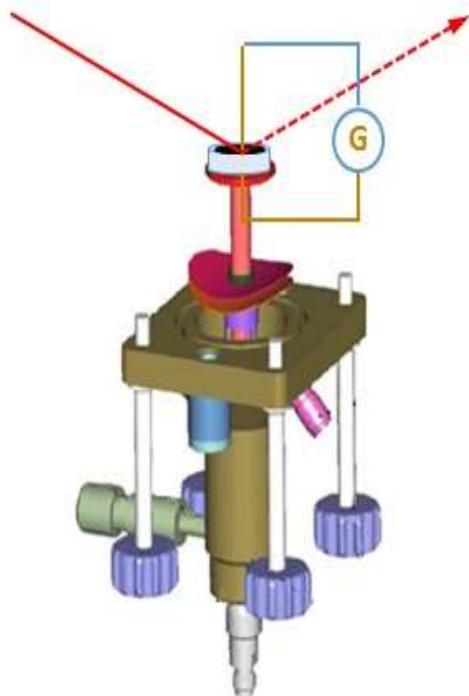
- **EIS:** electrochemical characterization
- **Electrical Conductivity:** transport properties

In-operando cell design

In-operando cell design

X-Ray Source

X-Ray detector



Federico Napolitano



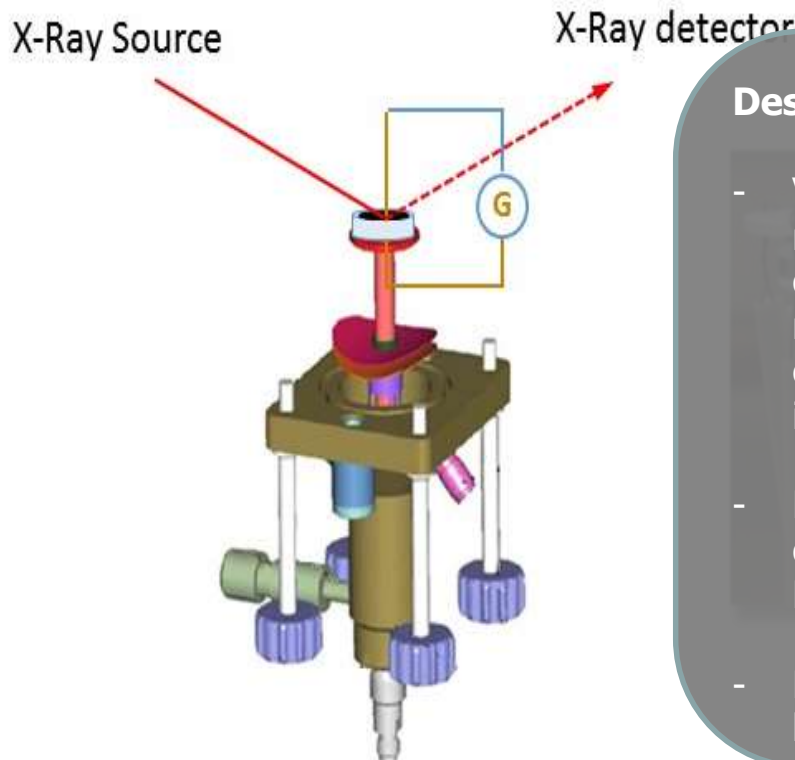
Laboratório Nacional
de Luz Síncrotron
sincrotron

Research proposal for application for beam time at LNLS

This document must consist of a maximum of two A4 pages (including references and figures) with a minimal font size of 10 pt. Proposals which do not respect these rules will be rejected. Delete the gray italic text to fill with the proposal information. Only PDF files format are accepted. It is compulsory to write the proposal in English.

REDOX AND STRUCTURAL PROPERTIES OF NANOSTRUCTURED NI-DOPED $(\text{Ce},\text{Gd})\text{O}_{2-\delta}$ CERMETS IN-
OPERANDO CONDITIONS

In-operando cell design



Design conceived with several constrains:

- **Versatile**, several experimental techniques must be used without changes in the cell configuration: in-house or synchrotron XRD, X-ray absorption spectroscopy (XANES/EXAFS), electrical conductivity, and electrochemical impedance spectroscopy.
- **Easily adapted** to several high temperature chambers existing at LNLS and at CAB (Anton Paar HTK1200 and XRK900, Canario furnace).
- **Portable** in order to be carried to synchrotron beamlines.

Federico Napolitano

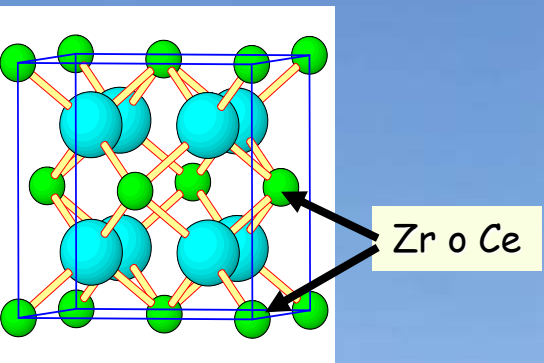
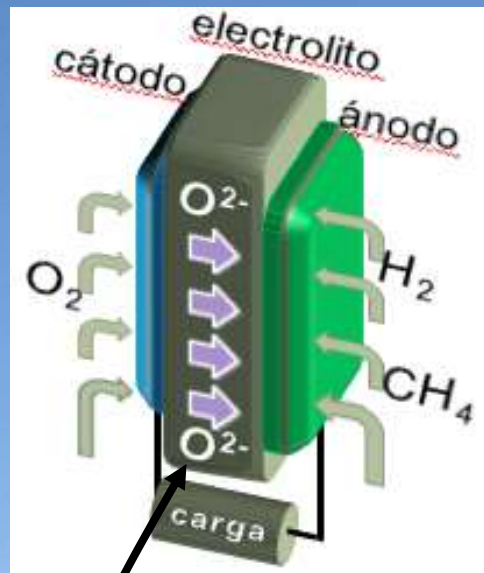
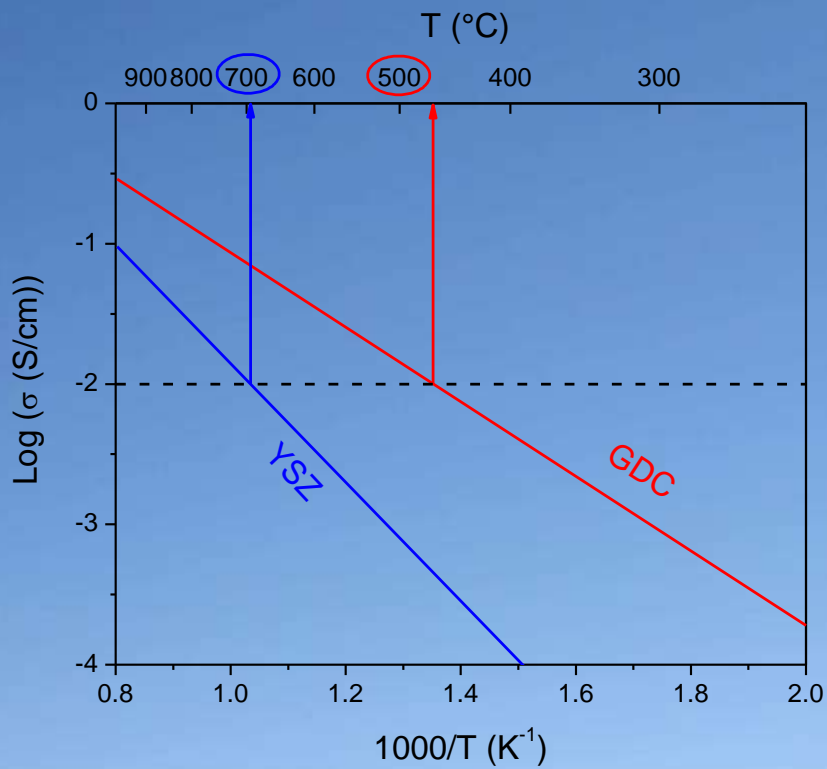


Laboratório Nacional
de Luz Síncrotron
sincrotron

Research proposal for application for beam time at LNLS

This document must consist of a maximum of two A4 pages (including references and figures) with a minimal font size of 10 pt. Proposals which do not respect these rules will be rejected. Delete the gray italic text to fill with the proposal information. Only PDF files format are accepted. It is compulsory to write the proposal in English.

3 - Electrolitos: de SOFC a IT-SOFC

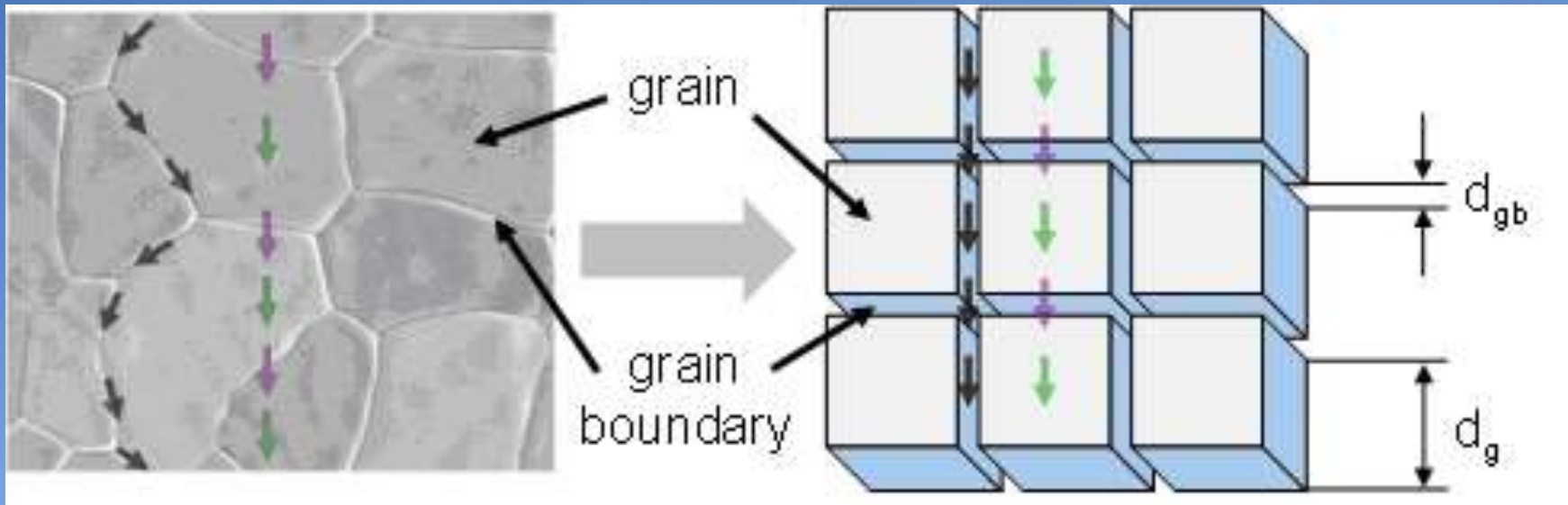


Brandon, N. P. et al
Annu. Rev. Mater. Res.
33 (2003) 183



3-Electrolyte: ionic conductor

Ionic transport mechanisms in solid ceramic electrolytes O²⁻-ion

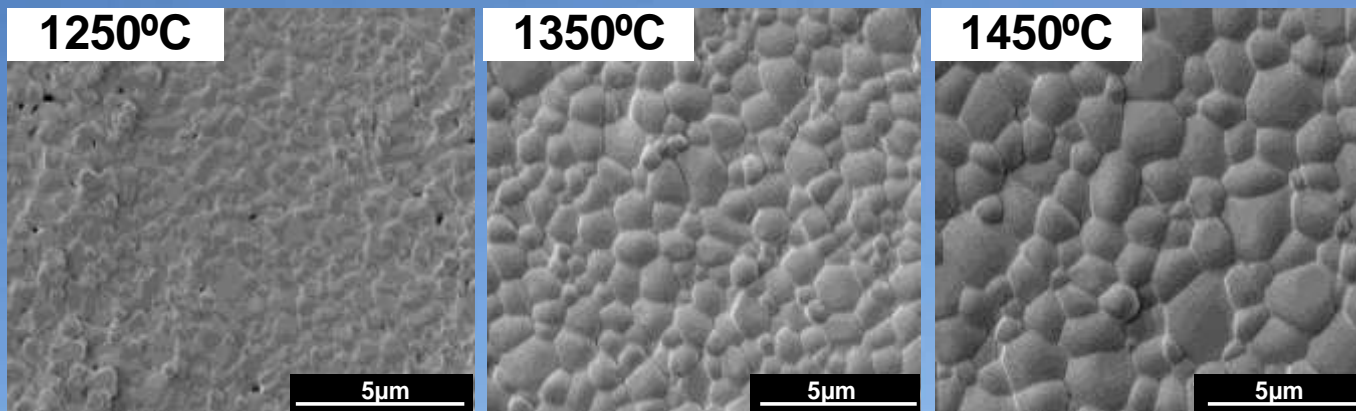


- Model: microcrystalline solid electrolytes: **bulk** ionic transport (characteristic of the material) through grains and **GB** transport, which depends on microstructure.
- Proposed increased conductivity in nanostructured electrolytes.

3-Electrolyte: ionic conductor

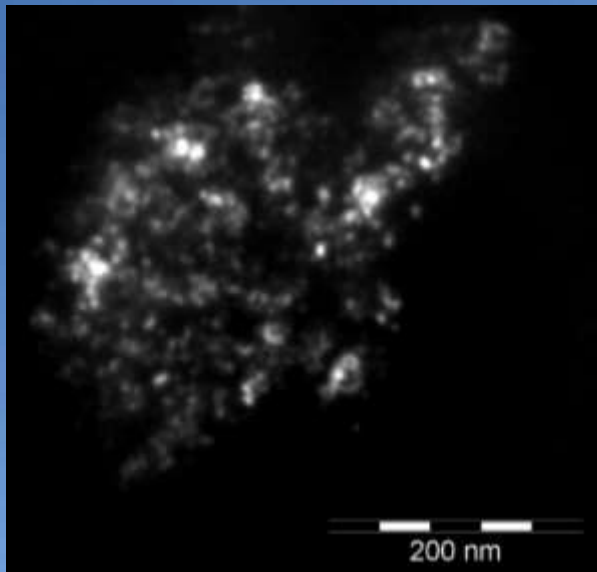
Cerium Gadolinium Oxide (CGO) desirable properties:

- High density

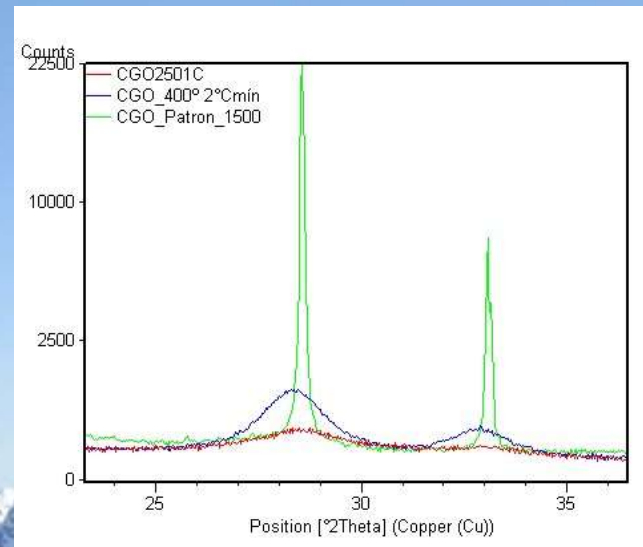
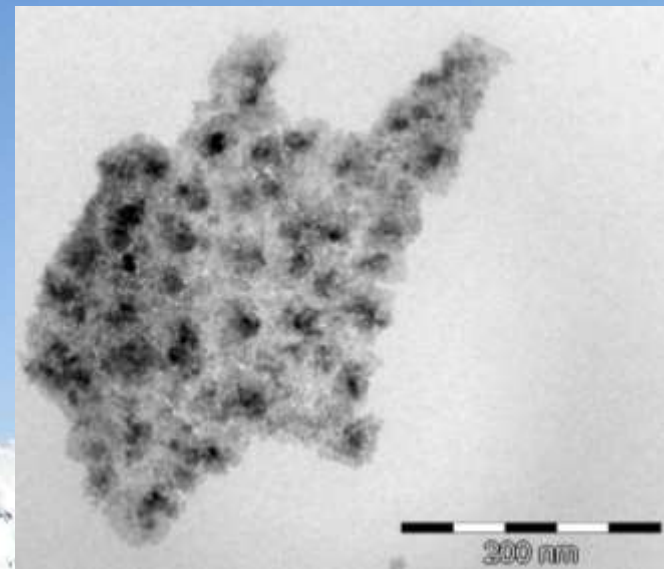
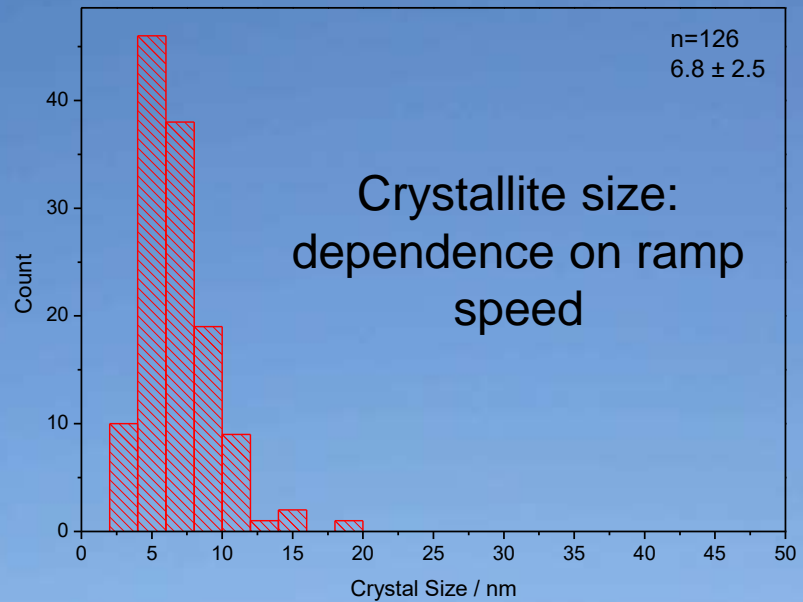


- Stability: both in the oxidizing atmosphere (cathode) and reducing (anode)
- Chemical compatibility and coefficient of expansion: with those of the electrodes to avoid degradation
- High Ion Conductivity (negligible electronic conductivity)

CGO (electrolyte) new synthesis method



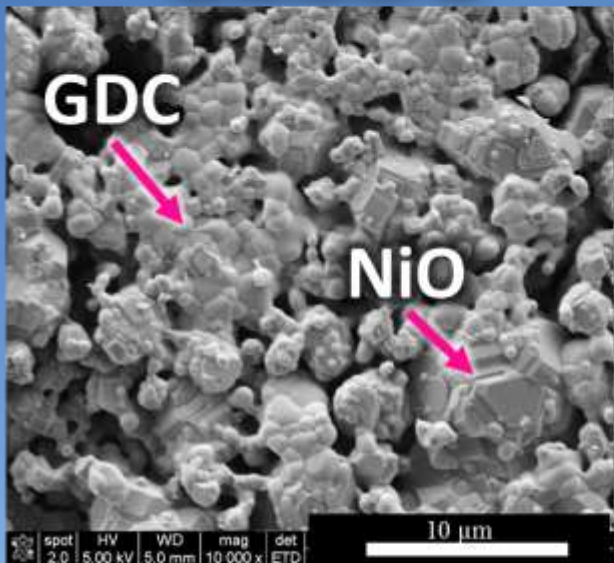
T
250 °C
Ramp
2 °C/min



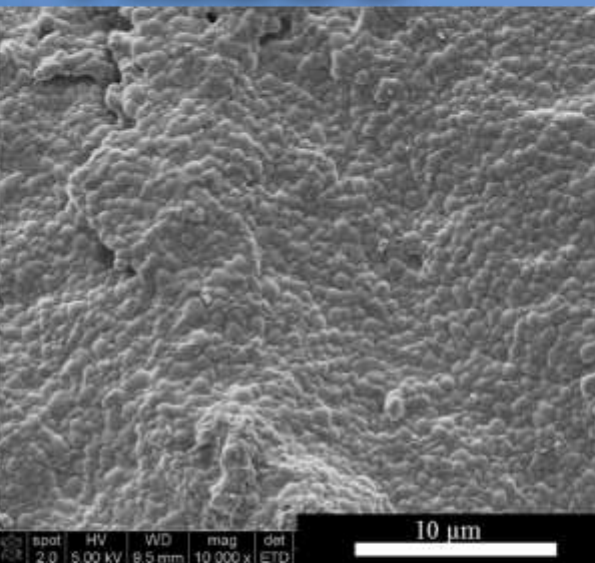
Modified Sol-gel
method
(patent in
progress)

Cermet: CGO/NiO (anodes) SEM/TEM

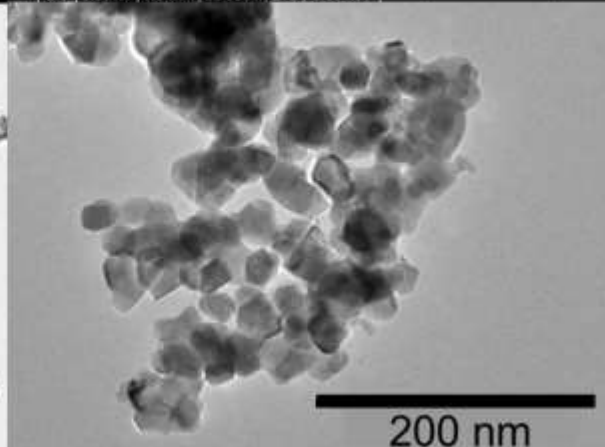
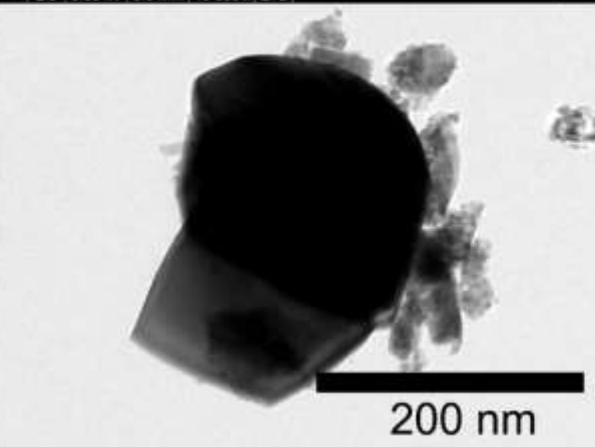
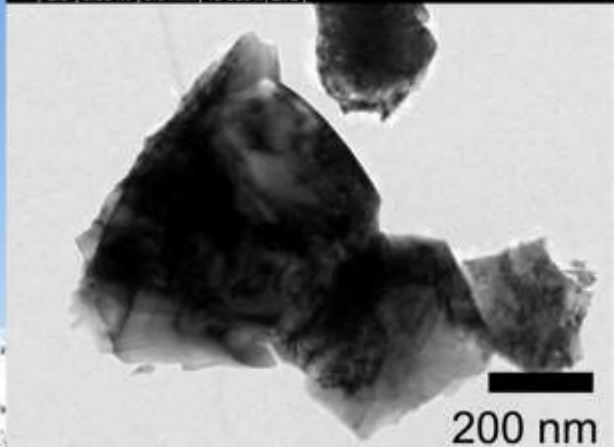
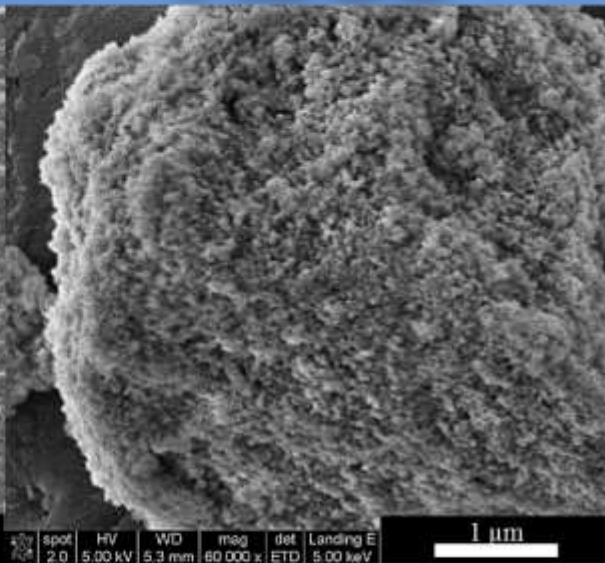
C1350



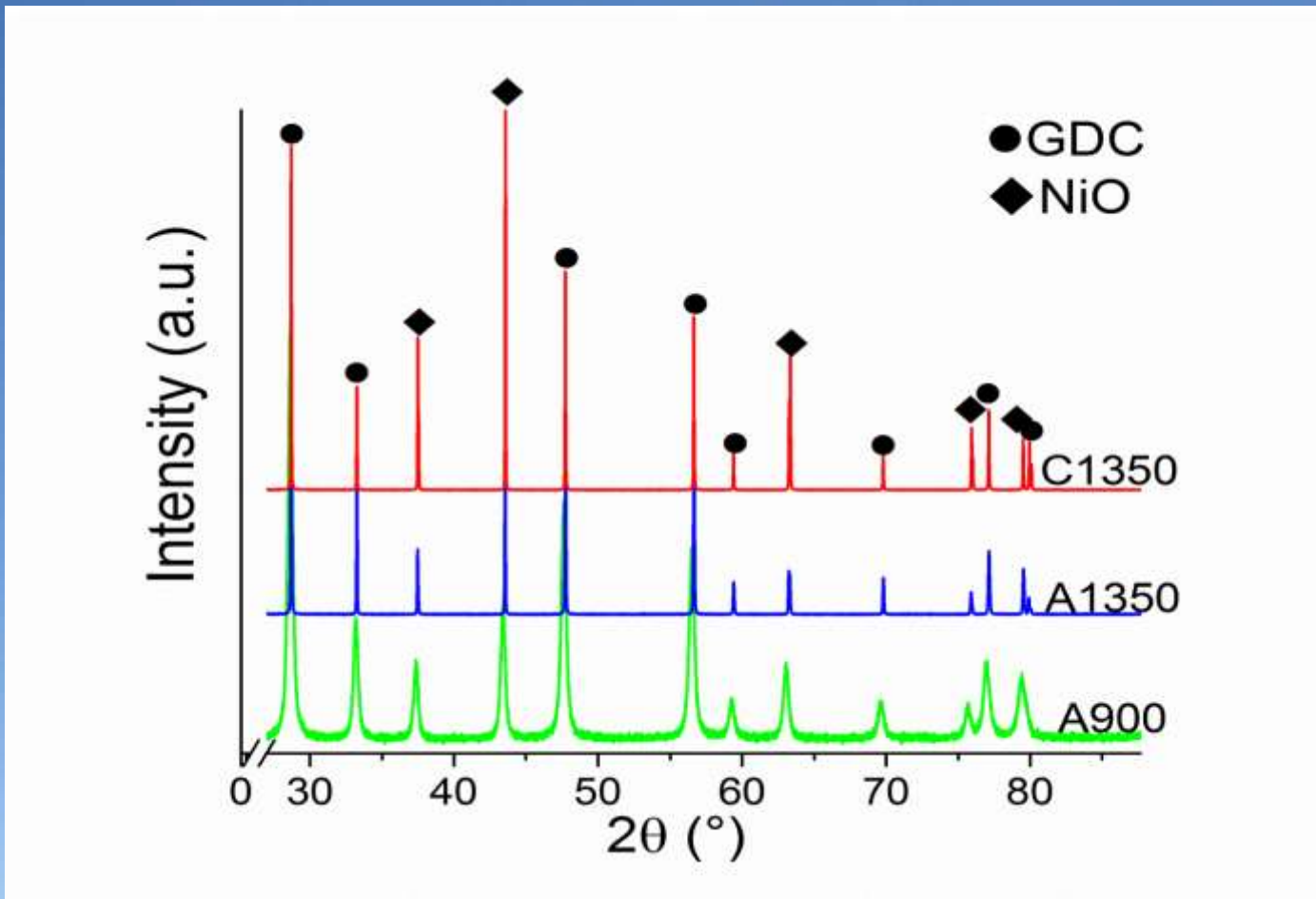
A1350



A900



Cermet: CGO/NiO (anodes) XRD

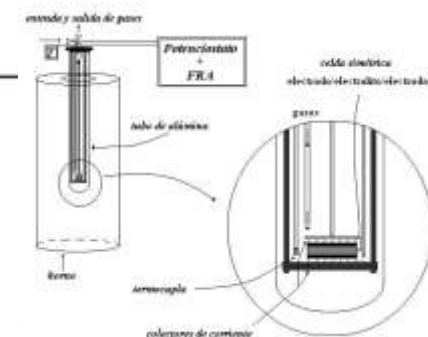
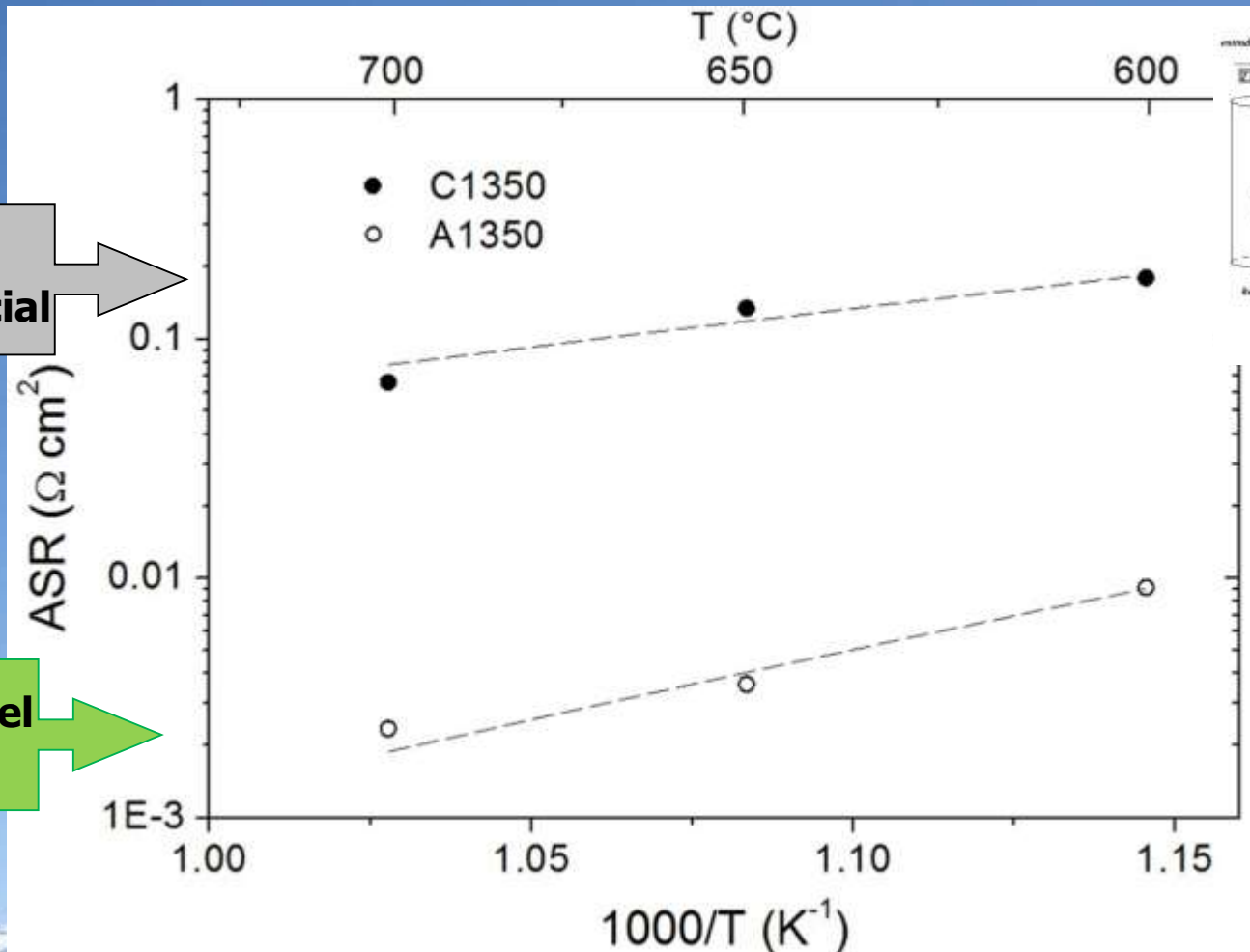


All samples have two separated phases NiO and GDC with cubic crystal phase (Fm3m space group) and initially present crystallite sizes in the nanometric range, depending on the sintering temperature.

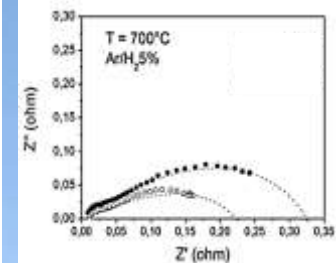
Cermet: CGO/NiO (anodes) EIS

C1350
commercial

New Sol Gel
A1350



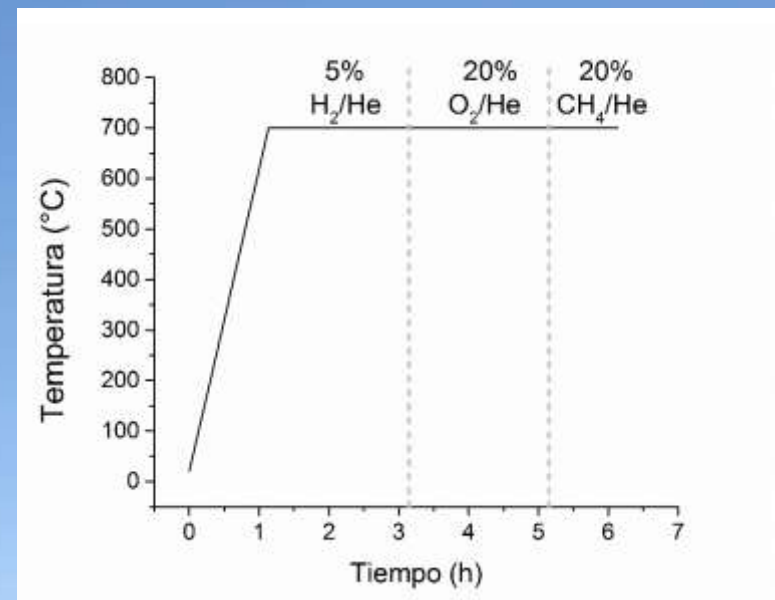
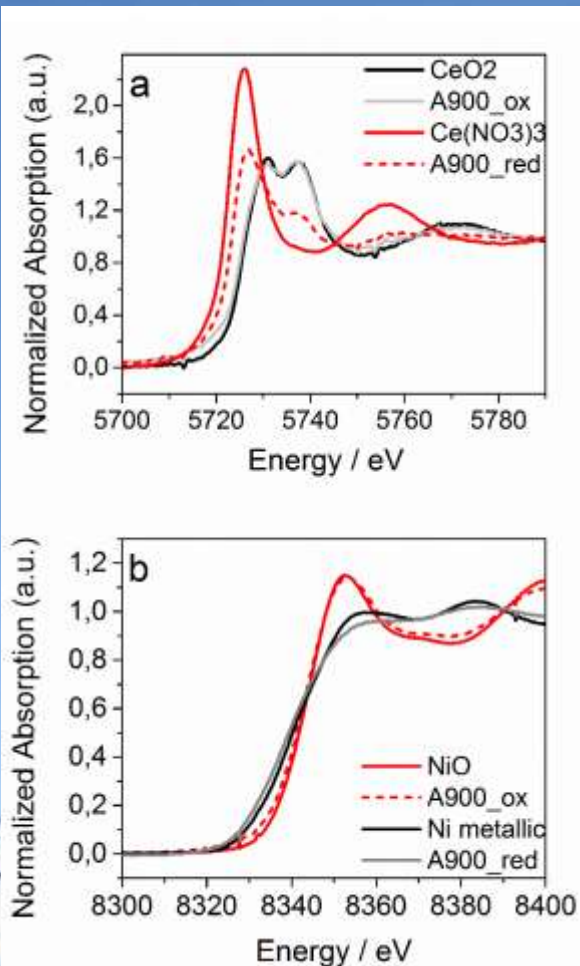
Symmetric cell



Area Specific Resistance
EIS

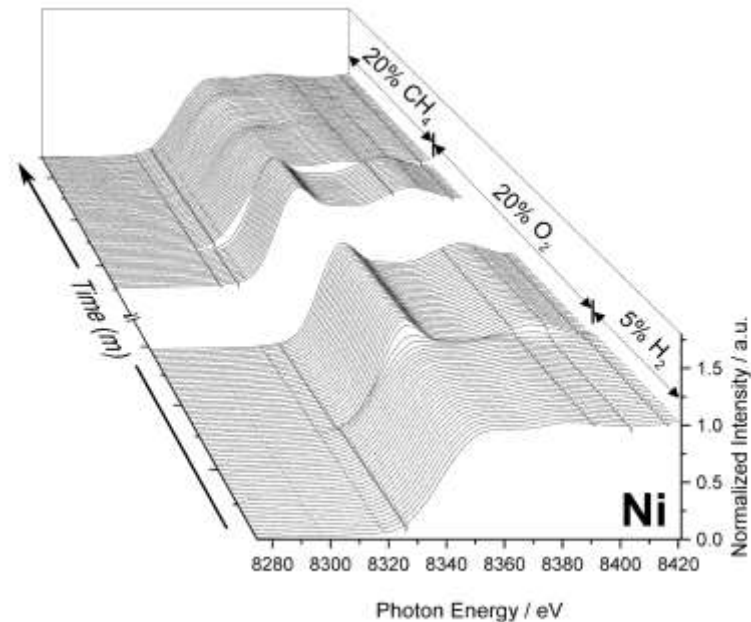
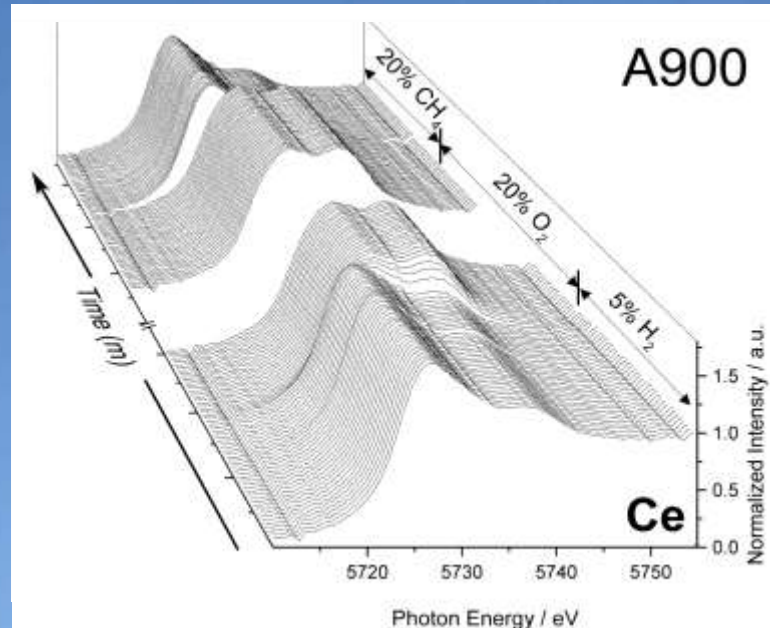
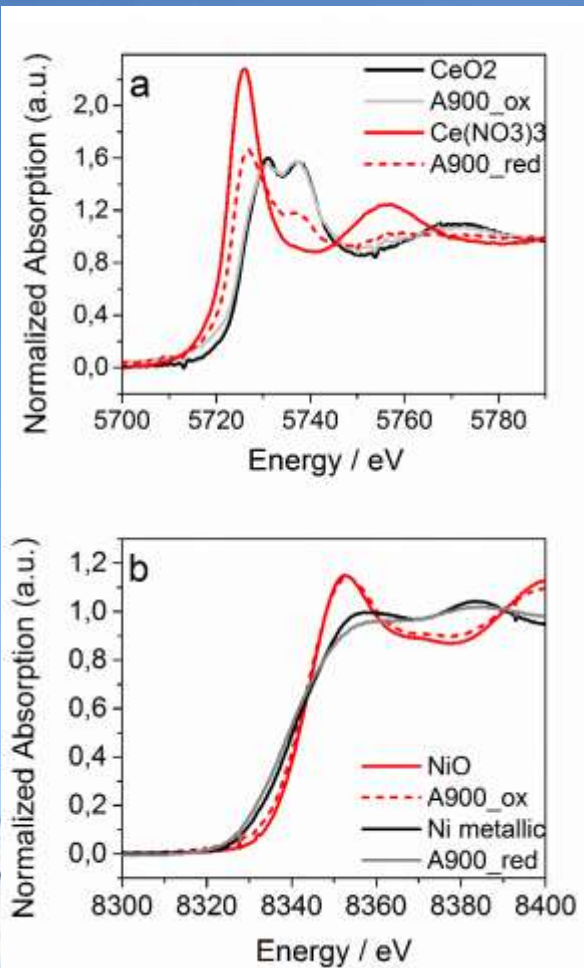
Cermet: CGO/NiO (anodes) DXAS

DXAS (Dispersive X-ray Absorption Spectroscopy)

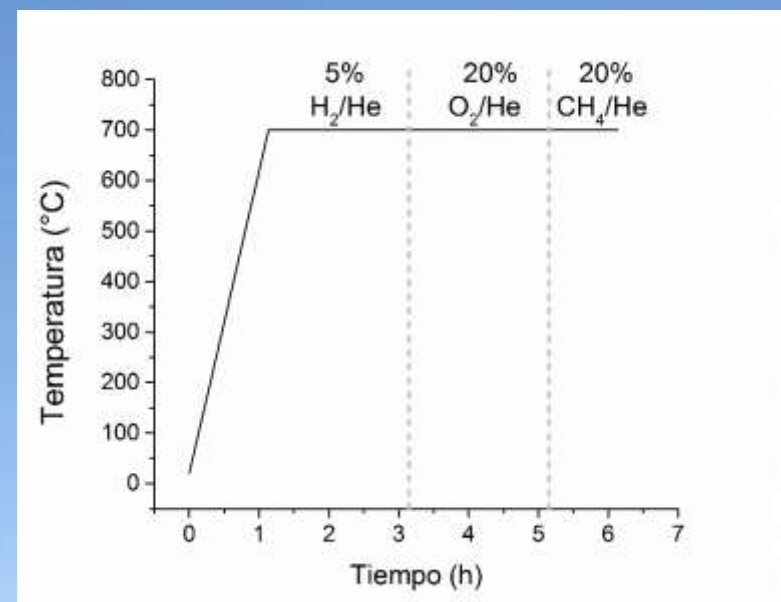
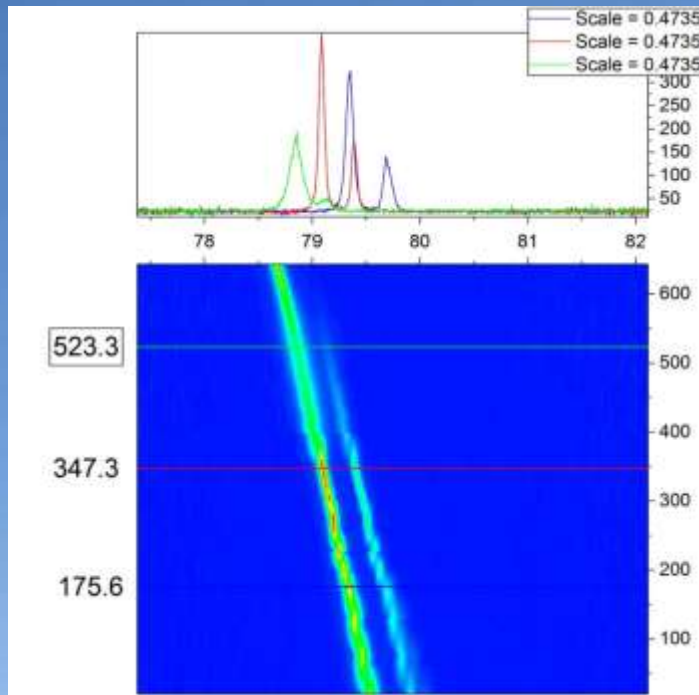


Cermet: CGO/NiO (anodes) DXAS

DXAS (Dispersive X-ray Absorption Spectroscopy)



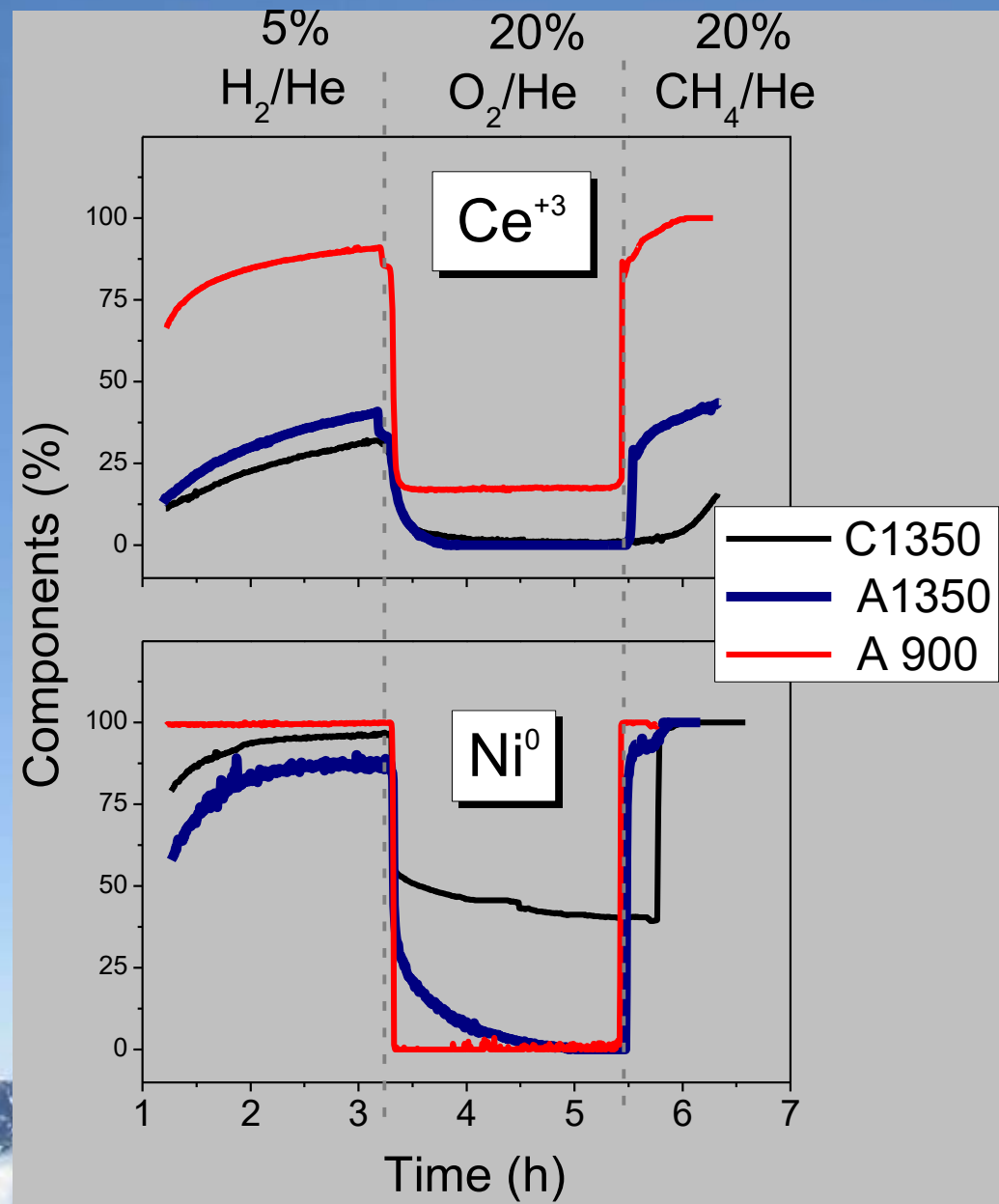
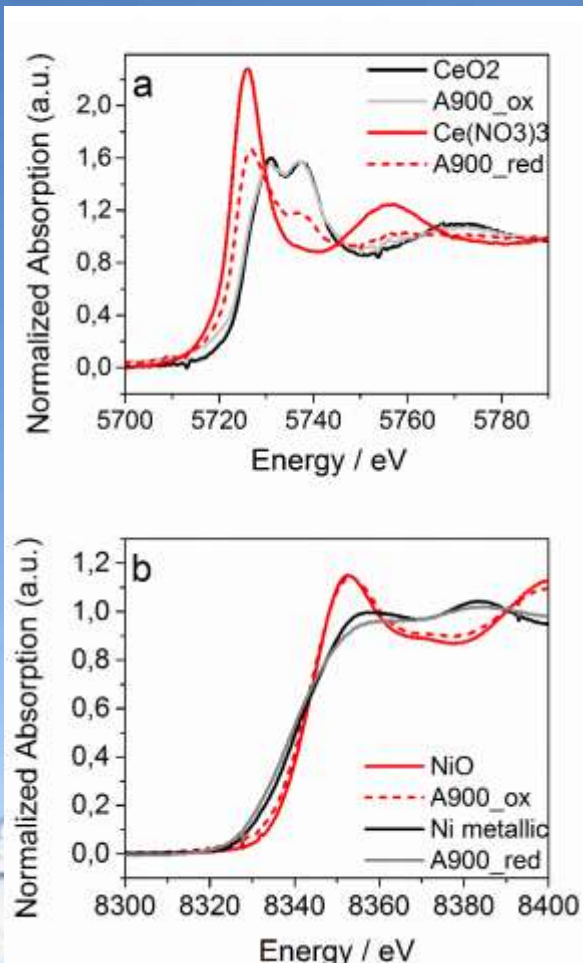
Cermet: CGO/NiO (anodes) XPD



New Sol Gel
A1350

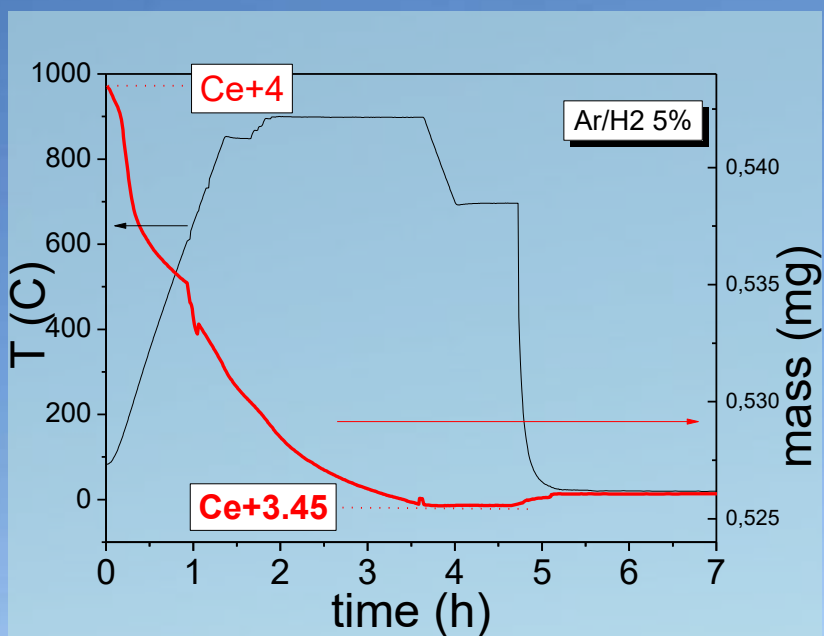
Cermet: CGO/NiO (anodes) DXAS

DXAS (Dispersive X-ray Absorption Spectroscopy)

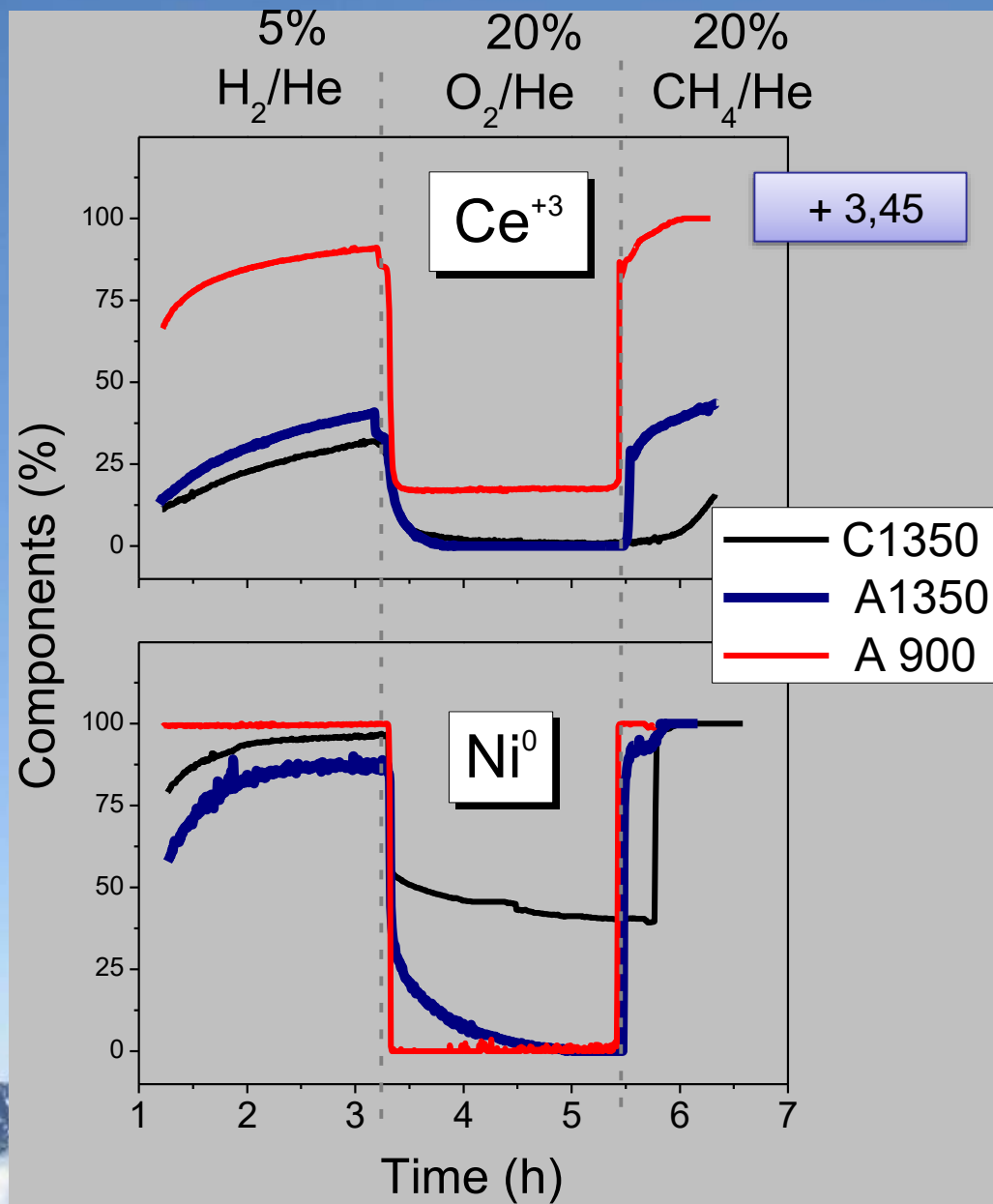


Cermet: CGO/NiO (anodes) DXAS

TG of CeO₂



100% ≡ 3,45

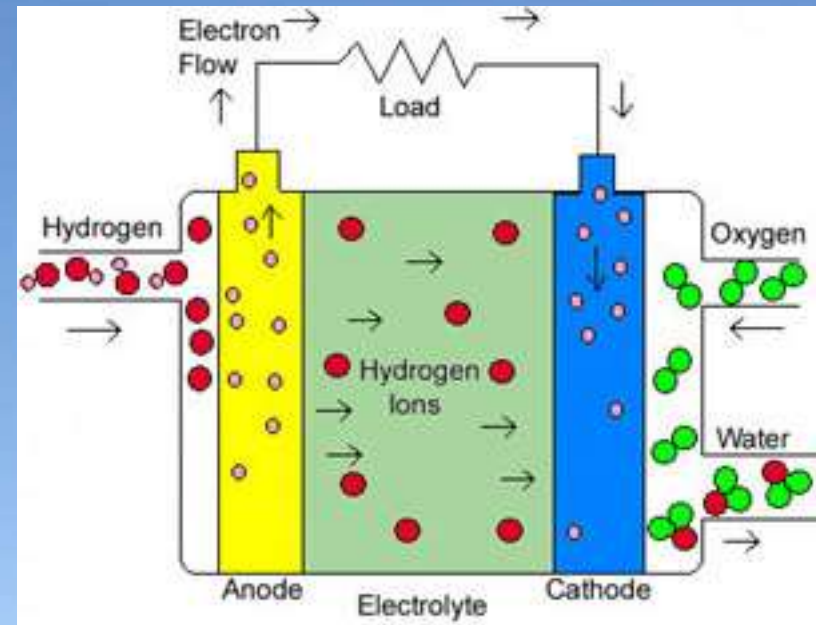
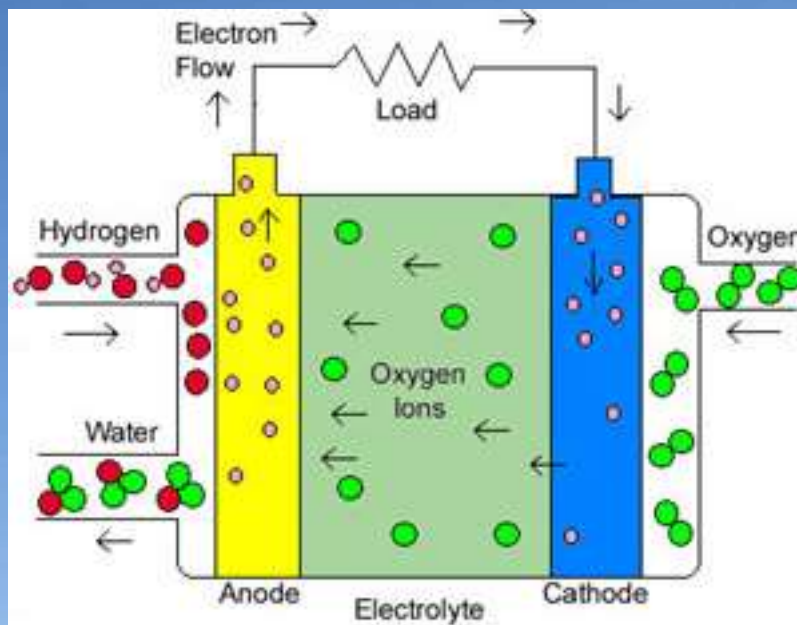


In-operando: proton conductivity

Conductor-O vs Conductor-H

SOFC: O⁻² ion/V_O

PC-SOFC H⁺ ion /H₂O



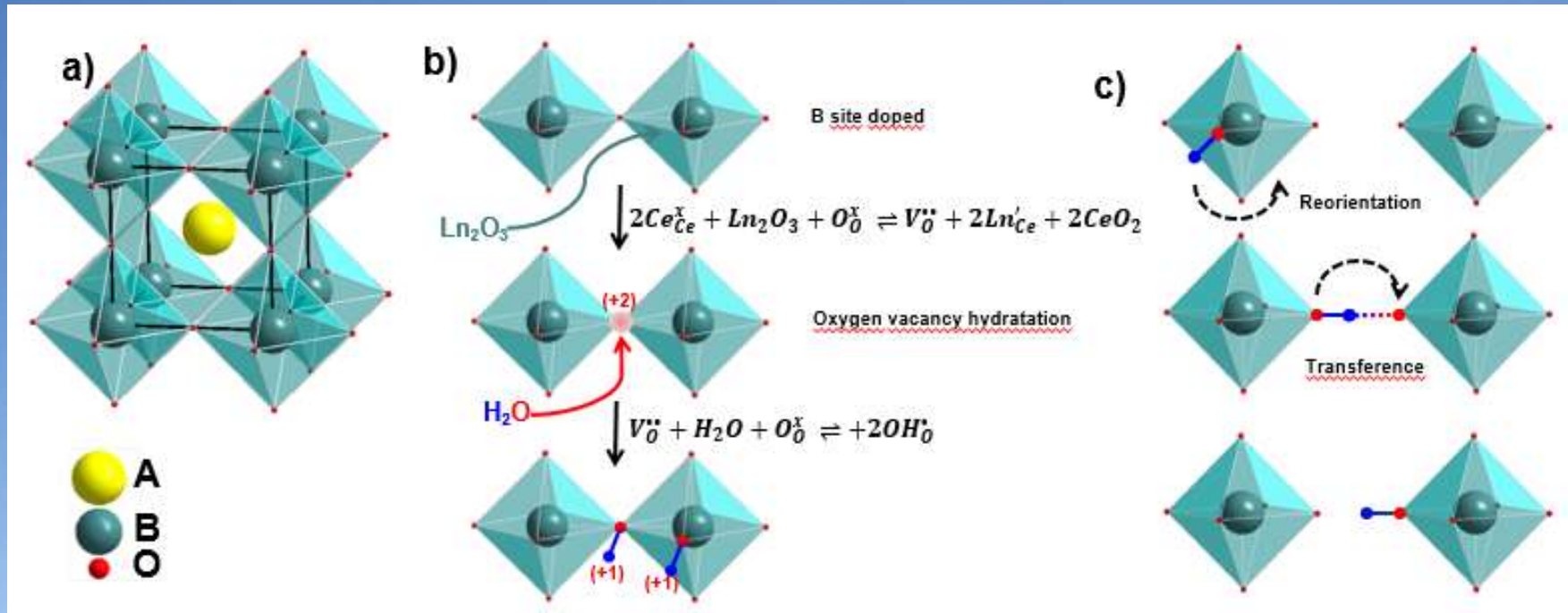
J. Basbus, PhD Thesis 2017

$BaCe_{0.8}Pr_{0.2}O_{3-\delta}$

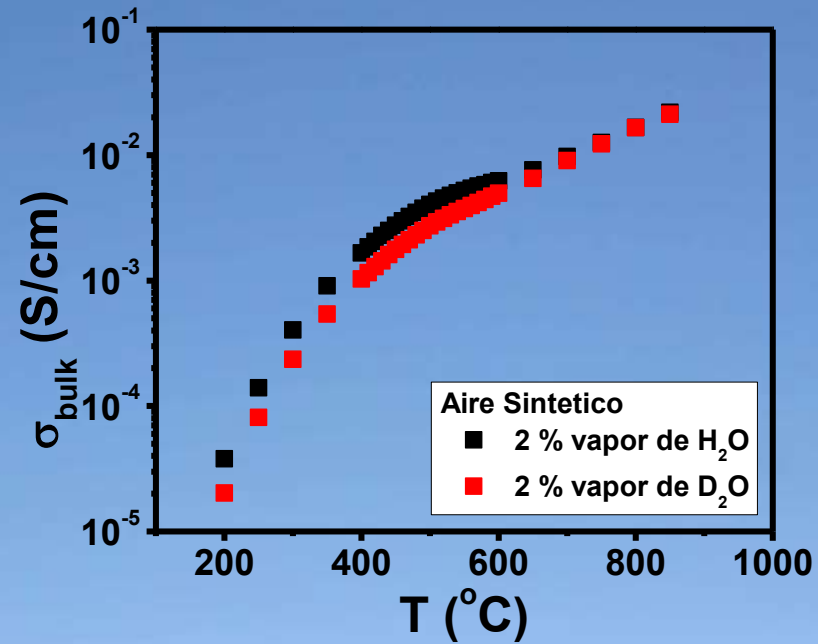
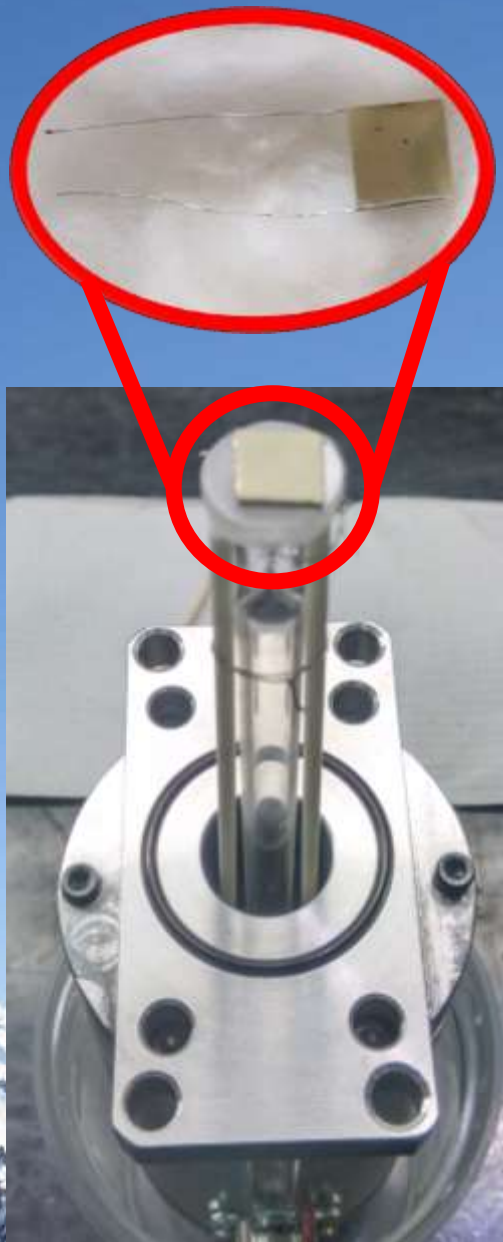
$BaCe_{0.4}Zr_{0.4}Y_{0.2}O_{3-\delta}$

J. Basbus *et al* *J. Electrochem Soc.* **161** (2014) F969
J. Basbus *et al*, *J. Power Sources* **329** (2016) 262

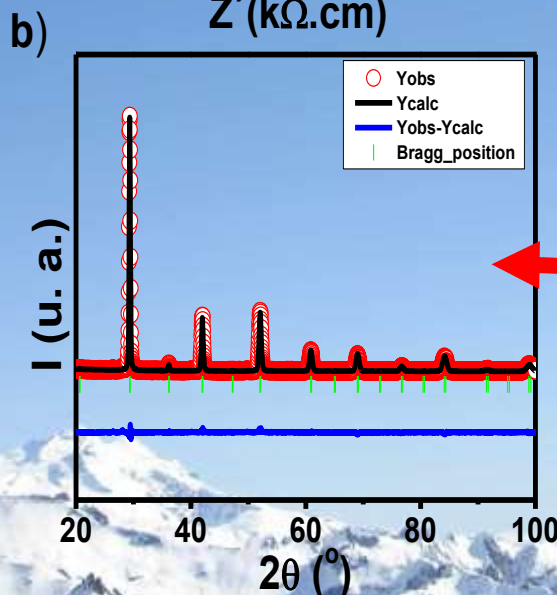
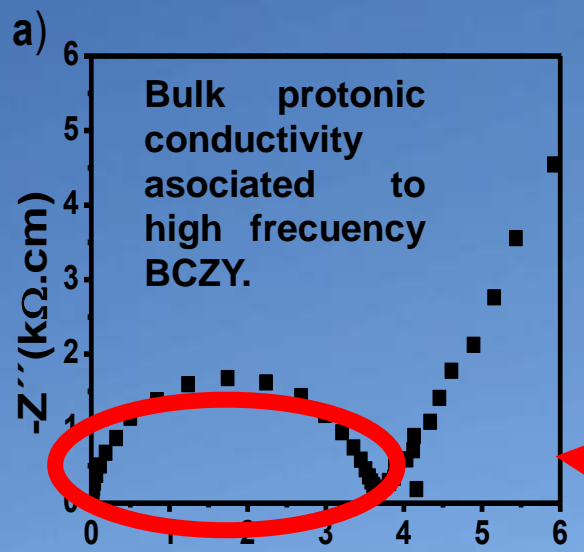
Proton conductivity



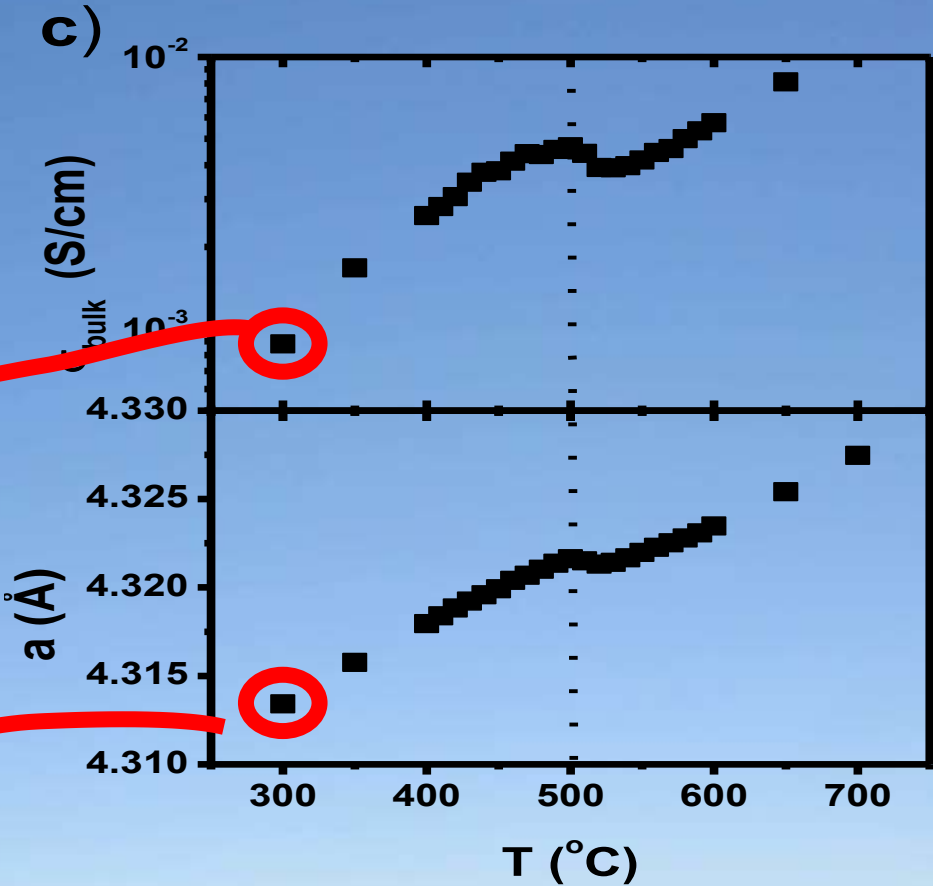
In-operando: proton conductivity



In-operando: proton conductivity



BCZY XPD (8 keV) cubic ($Pm-3m$)

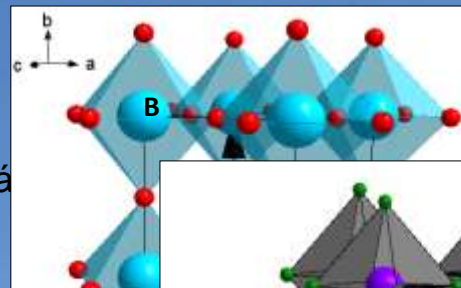


Cell parameter by Rietveld correlates with proton conductivity

Other studied compounds

Perovskites

$\text{La}_{0.6}\text{Sr}_{0.4}\text{Fe}_{0.8}\text{Cu}_{0.2}\text{O}_{3-\delta}$ (S. Vá



stry 228 (2015) 208–213)

Double perovskites

$\text{LnBaCo}_2\text{O}_{6-\delta}$ ($\text{Ln} = \text{La, Nd, Pr}$)

$\text{La}_{0.75}\text{Sr}_{0.25}\text{Cr}_{0.5}\text{Mn}_{0.5}\text{O}_{3-\delta}$ (STO, monolayer)

$\text{Sr}_2\text{MgMoO}_6$

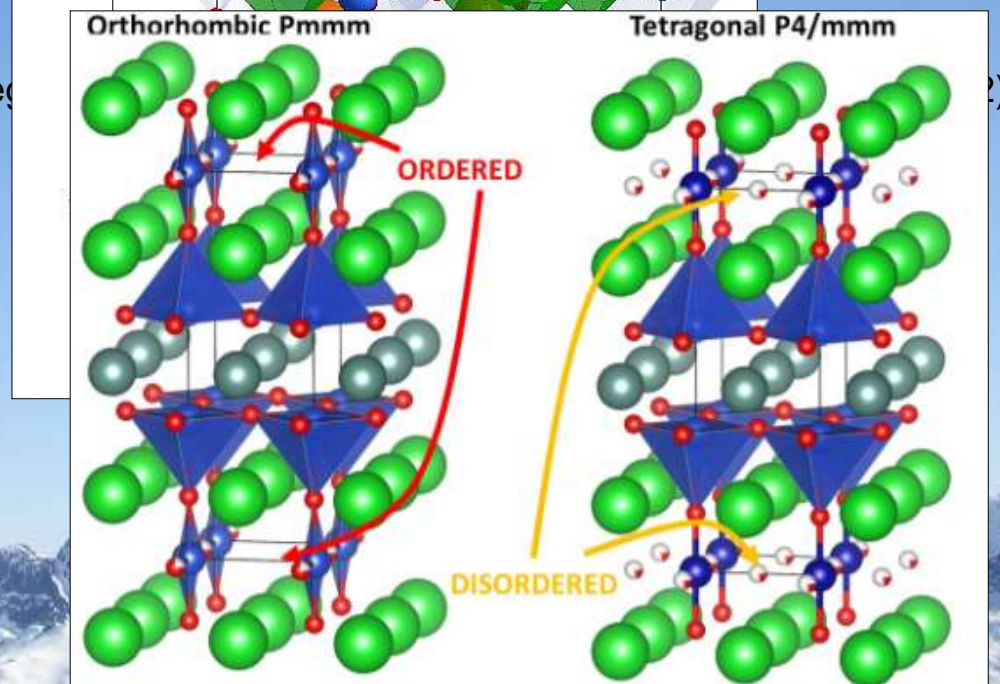


allography 47 (2014) 325

014) 377-388

Ruddlesden-Popper

$\text{Ln}_2\text{NiO}_{4+\delta}$ ($\text{Ln} = \text{La, Nd, Pr}$) Montene



YBCO and REBCO

$\text{Ln}_2\text{NiO}_{4+\delta}$ ($\text{Ln} = \text{La, Nd, Pr}$)

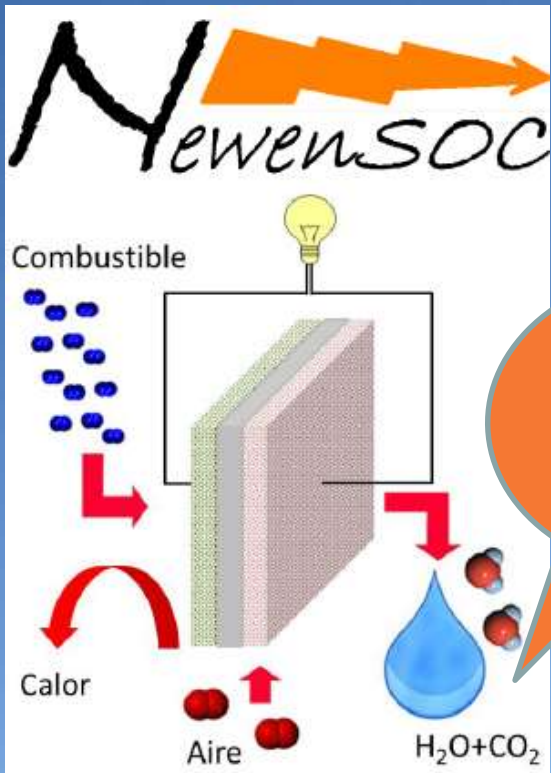
(Poster 812)



Algunas conclusiones

- Las celdas de combustible son dispositivos que permiten transformar energía química en eléctrica de manera muy eficiente, mientras que los superconductores permiten almacenar energía
- El desarrollo de materiales deberá permitir resolver los desafíos planteados para su comercialización masiva:
 - Costo
 - Confiabilidad
 - Durabilidad
- Para comprender los efectos es necesario una variedad de técnicas de caracterización tanto estructural (XRD, microscopías) como su correlación con propiedades electrónicas y de transporte (EIS, XANES, etc)

Resumen: materiales SOFC



Prototipo propuesto con los mejores materiales

3- Electrolitos

- Reactividad con electrodos
- Estudio de tamaño de grano en conductors iónicos
- Conductor protónico (in-operando)

1- Cátodo (air electrode)

- Eficiente reacción de reducción de O₂ y estabilidad a largo plazo para el nuevo método de preparación de LSCF
- Estudio de nuevos compuestos (experimentos in situ de XRD)

2- Electrodos para SSOC

- Nuevo LSTC propuesto: correlación de propiedades con varios experimentos in situ

Gracias

(aserquis@cab.cnea.gov.ar)



ACKNOWLEDGEMENT Projects and Funds



POR LA MUJER EN LA CIENCIA



L'ORÉAL
ARGENTINA

